

การวิเคราะห์ข้อมูล และ วิธีดำเนินการทดลอง

1. วิธีทดสอบพอลิเมอร์โดยการหลอมละลาย

การทดสอบพอลิเมอร์โดยการหลอมละลายเป็นวิธีที่ง่ายที่สุด แม้กันยมใช้ในโรงงานอุตสาหกรรม หลักการคือการหลอมพอลิเมอร์ให้เหลวและกวนผสมกันในขณะที่ยังร้อน วิธีนี้มีขั้นตอนที่ง่ายที่สุด สารที่ได้จะมีความบริสุทธิ์สูงเนื่องจากไม่จำเป็นต้องเพิ่มสารอื่นใดเป็นพิเศษ แต่ข้อเสียคืออาจไม่เกิดการผสมในระดับโมเลกุล และอาจเกิดการแยกเฟสทั้งที่สามารถตรวจพบได้และในระดับไม่ชัดเจน การทดสอบจะทำได้ยากเมื่อสารทั้งสองมีความหนืดในขณะหลอมเหลวที่ต่างกันมาก ขั้นตอนการทดสอบมีดังนี้

- 1.1 หลอมละลายพอลิเมอร์ที่มีอุณหภูมิหลอมละลายสูงก่อน ในที่นี่ใช้อุณหภูมิ 300°C
- 1.2 ค่อยๆ ผสมพอลิเมอร์ที่มีอุณหภูมิหลอมละลายต่ำกว่าที่ลงทะเบียน
- 1.3 กวนผสมให้เข้ากันอย่างทั่วถึง
- 1.4 ใช้วิธีพับทบและกดให้บางสลับไปมา
- 1.5 ทำซ้ำจนพอลิเมอร์ที่มีอุณหภูมิหลอมละลายต่ำกว่าหมุดตามจำนวนที่ต้องการ
- 1.6 ลดอุณหภูมิลงเหลือ 200°C และคงอุณหภูมิไว้ประมาณ 10 นาที เพื่อให้ชินดิโอะแทคติกพอลิสไตรีนมีอุณหภูมิคงที่ในการเกิดผลึก (isothermal crystallization)
- 1.7 ลดอุณหภูมิลงจนพอลิเมอร์แข็งตัวทั้งหมดที่อุณหภูมิห้อง

2. วิธีทดสอบพอลิเมอร์โดยการละลายในตัวทำละลายเดียวกัน

วิธีนี้มักใช้ในห้องปฏิบัติการวิจัยเมื่อมีสารจำนวนน้อยและสามารถหาตัวทำละลายร่วมกันได้ หลักการคือการละลายพอลิเมอร์ในตัวทำละลายเดียวกัน และทิ้งให้ตัวทำละลายระเหยออกจนหมดเหลือพอลิเมอร์ที่ผสมกันในระดับโมเลกุล วิธีนี้เป็นวิธีที่ต้องใช้หลักขั้นตอน แต่จะให้ผลการผสมที่ดี แต่อย่างไรก็ตามวิธีนี้ข้อเสียคือ จะมีผลกระทบของตัวทำละลายต่อพอลิเมอร์ผสม ทั้งเนื่องจากการระเหยออกไม่หมดและการเข้ากันได้จะขึ้นกับตัวทำละลายร่วมด้วย คือพอลิเมอร์จะผสมได้ดีในตัวทำละลายหนึ่งและอาจผสมเข้ากันไม่ได้ในตัวทำละลายอีกชนิดหนึ่ง นอกจากนี้ยังพบว่าอุณหภูมิการแยกเฟสของพอลิเมอร์ผสมแตกต่างจากวิธีหลอมเหลวผสมทั้งที่ระเหยตัวทำละลายออกจนหมดแล้ว ขั้นตอนต่างๆ ดังนี้

- 2.1 ละลายพอลิเมอร์ที่มีจำนวนน้อยก่อน เนื่องจากสารละลายจะหนืดขึ้นเมื่อมีพอลิเมอร์ผสมอยู่ในปริมาณมากและจะทำให้การกวนผสมลำบากขึ้นหรือในบางกรณีไม่สามารถทำได้เลย วิธีแก้ไขคือการลดความหนืดโดยการเติมตัวทำละลายเพิ่ม แต่จะประสบปัญหาการระเหยตัวทำละลายที่มีปริมาณมากแทน

- 2.2 ค่าอยาเติมพอลิเมอร์อีกนิดลงไป กวนตัวทำละลายจนพอลิเมอร์ทั้งสองชนิดละลายเป็นเนื้อเดียวกัน ทั้งนี้จะสามารถสังเกตได้คือสารละลายจะใสเสมอ กันทั้งหมด ถ้ามีการแยกเฟส หรือสารละลายขุ่นจำเป็นต้องเปลี่ยนตัวทำละลายร่วม
- 2.3 นำสารละลายใส่หยดลงบนแผ่นกระดาษเต้มแผ่น
- 2.4 ทิ้งให้สารละลายแห้งที่อุณหภูมิห้อง
- 2.5 นำแผ่นกระดาษที่มีพอลิเมอร์แห้งติดค้าง เข้าในเตาอบสูญญากาศ ตั้งอุณหภูมิไว้ประมาณ 50 องศาเซลเซียส ทิ้งไว้ 24 ชั่วโมง
- 2.6 นำพอลิเมอร์ผสมบนแผ่นกระดาษไปหลอมละลายที่อุณหภูมิ 300 เซลเซียส ในขันตอนนี้จะสังเกตได้ว่าตัวทำละลายถูกกระทะของกานนมหดหรือเหลืออยู่ โดยสังเกตฟองอากาศในเนื้อพอลิเมอร์ ถ้าตราชพองอากาศจะต้องน้ำกัดบ้านไปอบในเตาอบสูญญากาศอีกจนกว่าจะแห้ง
- 2.7 ลดอุณหภูมิลงอย่างรวดเร็วมาที่ 200 องศาเซลเซียส และทิ้งให้พอลิเมอร์ผสมเกิดผลึกที่อุณหภูมิคงที่ (Isothermal Crystallization)
- 2.8 ลดอุณหภูมิลงจนถึงอุณหภูมิห้องเพื่อให้พอลิเมอร์ผสมแข็งตัวทั้งหมด
- 2.9 พอลิเมอร์ผสมที่ได้จะมีลักษณะเป็นพิล์มบางๆ เกาะอยู่บนผิวกระดาษ

3. การเตรียมพอลิเมอร์เพื่อตรวจวัดสมบัติทางความร้อนด้วย DSC

- 3.1 นำพอลิเมอร์ผสมมาตัดเป็นชิ้นเล็กๆ ยิ่งเป็นแผ่นบางหรือเป็นผงจะเหมาะสมที่สุด เนื่องจากจะสามารถรับความร้อนจากฐานเตาของ DSC ได้อย่างรวดเร็วและทั่วถึง ซึ่งจะทำให้การวัดค่าทาง สมบัติทางความร้อนมีความแม่นยำสูง
- 3.2 ใส่พอลิเมอร์ลงในเบ้ารองรับอุณหภูมิเนียน
- 3.3 ปิดฝาอุณหภูมิเนียน และใช้เครื่องผนึกฝาปิดฝาจนแน่น
- 3.4 นำตัวอย่างที่ได้ไปใส่ในเบ้า DSC คู่กับตัวอย่างเปล่าพร้อมกับปิดฝา
- 3.5 ทำการเพิ่มอุณหภูมิที่ความเร็ว 20 องศาเซลเซียส/นาที จากอุณหภูมิ -60 องศาเซลเซียสถึงอุณหภูมิ 300 องศาเซลเซียส บันทึกค่าความร้อนที่เปลี่ยนแปลงของตัวอย่างเมื่อเทียบกับตัวอย่างเปล่า และเรียกข้อมูลที่ได้ว่าเป็นการให้ความร้อนครั้งที่หนึ่ง
- 3.6 ลดอุณหภูมิลงด้วยความเร็ว 20 องศาเซลเซียส/นาที จาก 300 ถึง -60 องศาเซลเซียส บันทึกค่าความร้อนที่เปลี่ยนแปลงของตัวอย่างเมื่อเทียบกับตัวอย่างเปล่า
- 3.7 ทำการเพิ่มอุณหภูมิที่ความเร็ว 20 องศาเซลเซียส/นาที จากอุณหภูมิ -60 องศาเซลเซียสถึงอุณหภูมิ 300 องศาเซลเซียส บันทึกค่าความร้อนที่เปลี่ยนแปลงของตัวอย่างเมื่อเทียบกับตัวอย่างเปล่า และเรียกข้อมูลที่ได้ว่าเป็นการให้ความร้อนครั้งที่สอง
- 3.8 วิเคราะห์ข้อมูลโดยใช้โปรแกรมสำเร็จรูป

4. การเตรียมตัวอย่างสำหรับ XRD

การกระเจิงแสงจะหันจาก XRD สามารถบอกถึงโครงสร้างที่เรียงตัวเป็นระเบียบของผลึกในเนื้อพอลิเมอร์ได้และถ้ามีขั้นตอนจะสามารถบอกถึงชนิดของผลึกในเนื้อพอลิเมอร์ได้ เนื่องจากแสง X-Ray จะสะท้อนเนื่องจากความแตกต่างของความหนาแน่นของอิเลคตรอน

4.1 เตรียมฟิล์มบางๆของสาร โดยการใช้วิธีขึ้นรูปด้วยสารละลาย หรือนำตัวอย่างจาก การขึ้นรูปด้วยการหลอมผสมมากดทับให้เป็นฟิล์มแล้วนำไปหลอมและคงอุณหภูมิที่ 200 องศาเซลเซียสก่อนนำมาใช้

4.2 นำฟิล์มที่ได้ไปติดกับแท่นตัวอย่างของ XRD โดยให้จุดตugaloph ของลำแสงอยู่ในส่วนที่เป็นฟิล์ม

4.3 ทำการวัดค่าความเข้มของแสงที่มุ่งตugaloph ต่างๆ โดยตั้งค่า XRD เครื่องดังนี้ 30 KV, 30 aM โดยใช้การวัดค่าที่มุ่งต่างๆกันทุก 0.04 องศา/วินาที และใช้มุ่งในระหว่าง 10-40 องศา

5. การหาค่าปริมาณการเป็นผลึก

โดยปกติแล้วจะสามารถหาความเป็นผลึกได้จากทั้ง DSC และ XRD โดยที่การหาค่าจาก XRD จะให้ผลที่แม่นยำกว่า เนื่องจากการวัดค่าพลังงานการหลอมละลายใน DSC มีค่าเปลี่ยนอย่างมาก เมื่อเลือกค่าตั้งต้นและค่าสุดท้ายที่ใช้ในการหาพื้นที่ได้กราฟของการหลอมเหลวผลึก ในขณะที่ XRD ใช้การวัดความแตกต่างในการกระเจิงแสงซึ่งมีความคลาดเคลื่อนได้น้อยกว่ามาก ในที่นี้จะขอกล่าวแต่การหาค่าความเป็นผลึกของ XRD เท่านั้น

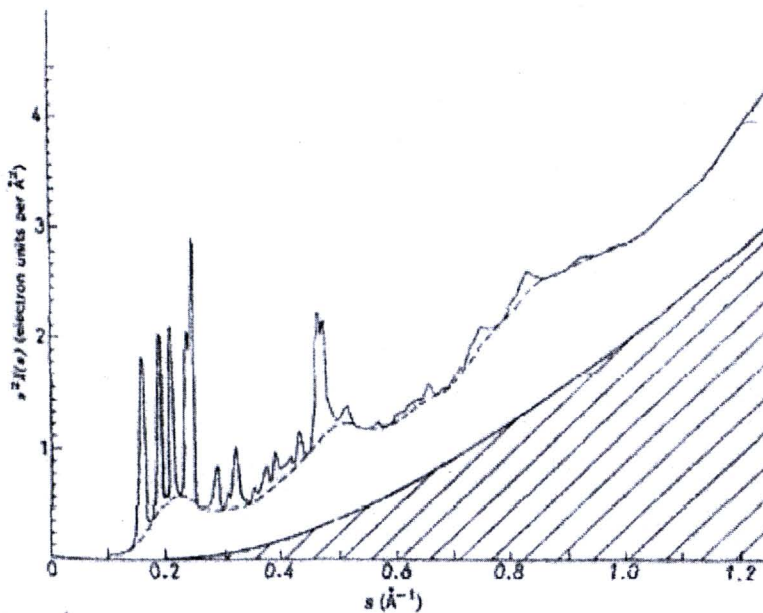
การหาค่าปริมาณการเป็นผลึกใช้วิธีของ Ruland โดยปรับปูงให้เหมาะสมกับองค์ที่ใช้ในการวัด โดยประมาณให้ความเข้มแสงที่ปรับปูงโดยดัชนีองค์เป็นค่าสมบูรณ์ และค่าการกระเจิงแสง เนื่องจากความไม่สมบูรณ์ของผลึกมีค่าเปลี่ยนแปลงในช่วงที่ทำการวัดมีปริมาณไม่แตกต่างจากผลึกสมบูรณ์ ($K=1$) จึงไม่ส่งผลต่อค่าของผลึกที่ได้ ค่าดัชนีองค์ (s) สามารถคำนวณได้จากสมการ (1)

$$s = \frac{2 \sin(\theta)}{\lambda} \quad (1)$$

และสามารถหาความเป็นผลึกได้จากพื้นที่ได้กราฟรูปที่ 1 ระหว่าง θ^2 โดยที่ I เป็นความเข้มของแสงรังสีเอกซ์ โดยเป็นอัตราส่วนระหว่างพื้นที่ได้กราฟของ θ^2 , I_c คือความเข้มแสงที่กระเจิงโดยผลึก อัตราความเป็นผลึกสามารถคำนวณได้โดยสมการ (2)

$$x_c = \frac{\int_{s_0}^{s_p} s^2 I_c ds}{\int_{s_0}^{s_p} s^2 I ds} \times K \quad (2)$$

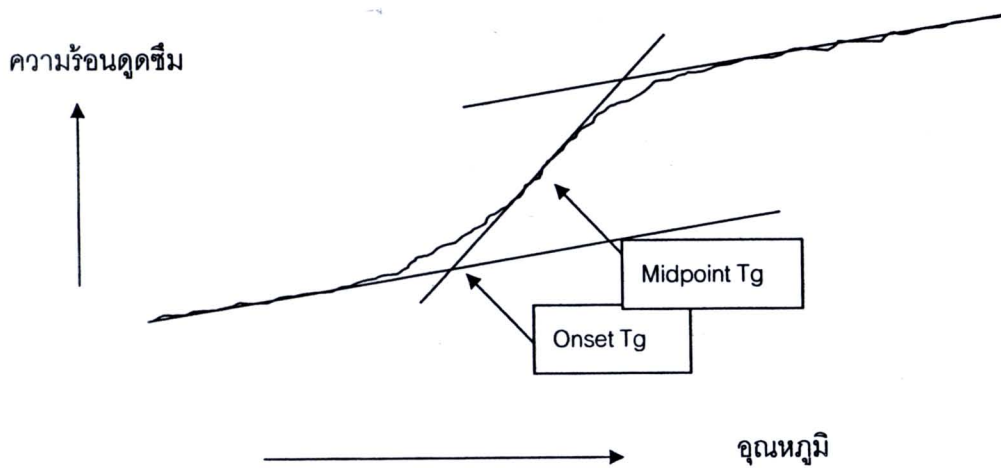
โดยที่สมมุติให้ค่า K มีค่าเป็นหนึ่งดังที่ได้กล่าวมา ค่าพื้นที่ได้กราฟของความเป็นผลึกสามารถหาได้มาจาก พื้นที่ได้กราฟรวมลบด้วยพื้นที่ได้กราฟของส่วนที่เป็นอสันฐานที่สามารถหาได้จาก I_a ซึ่งทำการวัดค่าการกระเจิงแสงของสารเดียวกันกับผลึก แต่อยู่ในสภาพอสันฐานที่คงคาเดียวกันกับการวัดค่าการกระเจิงแสงของผลึก นอกจากนี้ยังสมมุติให้ค่า s^2 มีค่าน้อยมากจนไม่ต้องหักลบจากพื้นที่ได้กราฟดังกล่าวในช่วงของศักการกระเจิงแสงที่พิจารณา



รูปที่ 0.1 กราฟของ การคำนวณค่าพื้นที่ได้กราฟของความเป็นผลึก

6. การอ่านค่าอุณหภูมิคล้ายแก้ว (T_g) อุณหภูมิก่อผลลัพธ์ (T_c) และอุณหภูมิหลอมผลลัพธ์ (T_m) จาก DSC

โดยปกติแล้วมีวิธีอ่านค่า T_g อยู่สองวิธี คือการหาค่าเชิงร้าบ (onset) และการหาค่าจุดกึ่งกลาง (midpoint) ซึ่งทั้งสองวิธีนี้จะให้ค่าที่แตกต่างกันดังรูปที่ 2



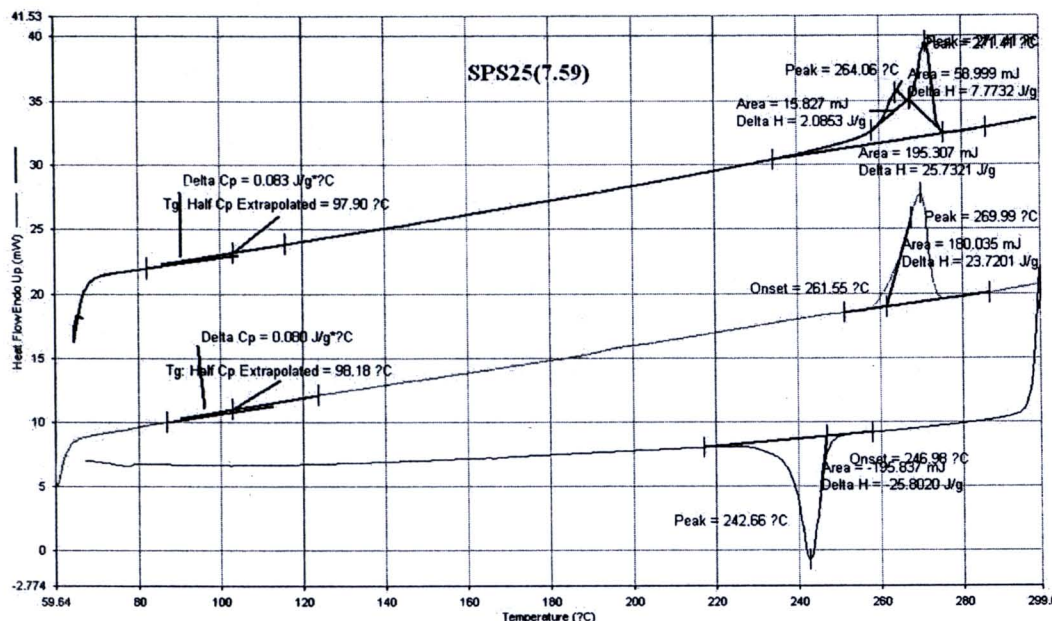
รูปที่ 0.2 แสดงค่า T_g ตามการหาค่าเชิงร้าบ (onset) และการหาค่าจุดกึ่งกลาง (midpoint)

7. การอ่านค่าอุณหภูมิหลอม plastick (T_m) และอุณหภูมิก่อผลึก (T_c)

โดยปกติแล้วการอ่านค่าอุณหภูมิหลอมผลึก (T_m) และอุณหภูมิก่อผลึก (T_c) มีอยู่ด้วยกันสองวิธีเช่นเดียวกัน คือการอ่านค่าเริ่มงาน (onset) และการอ่านค่าสูงสุด (peak) โดยวิธีเริ่มงานมีวิธีการอ่านค่าเช่นเดียวกับ T_g แต่เนื่องจากกระบวนการหลอมผลึกจะให้ค่าที่เป็นค่าสูงสุด จึงใช้ค่าที่ไม่เหมือนกับ T_g แต่จะใช้ค่ายอดสุดของจุดสูงสุดแทน

การอ่านค่าโดยใช้ค่าเริ่มงานจะให้ประโยชน์ในการดูอุณหภูมิก่อนหลอมเหลวของผลึกซึ่งสัมพันธ์โดยตรงกับค่าอุณหภูมิสูงสุดที่สามารถใช้งานพอลิเมอร์ได้ ส่วนการอ่านค่าสูงสุดจะแสดงถึงการที่ผลึกส่วนใหญ่หลอมละลาย ซึ่งเป็นค่าโดยเฉพาะของผลึกชนิดนั้น และการที่มีผลึกหลายชนิดหลอมละลายอาจทำให้เกิดค่าสูงสุดมากกว่าหนึ่งได้ ซึ่งการอ่านค่าเริ่มงานไม่สามารถแสดงตำแหน่งที่ขึ้นกันอยู่ของค่าสูงสุดได้ ในกรณีนี้การอ่านค่าสูงสุดจึงเป็นวิธีที่เหมาะสมกว่า

ตัวอย่างการอ่านค่าอุณหภูมิจาก DSC



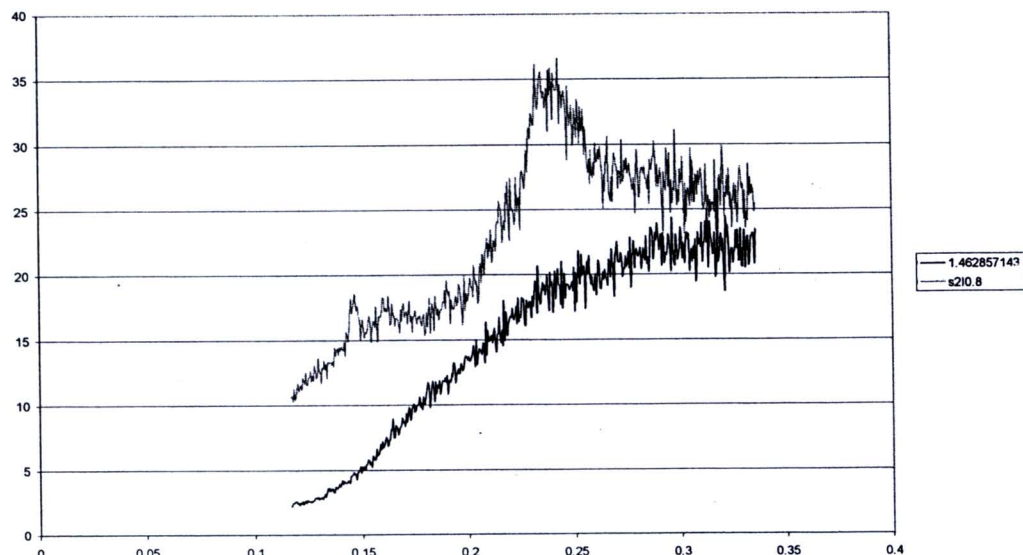
รูปที่ 0.3 ผลจากเครื่อง DSC

8. การหาค่าปริมาณ SPS ในส่วนที่เป็นอสัณฐาน

เนื่องจากพอลิเมอร์ชนิดกึ่งผลึก (Semicrystalline) จะมีทั้งส่วนที่เป็นอสัณฐานและส่วนที่เป็นผลึก ซึ่งจะสามารถหาเปอร์เซ็นต์ของผลึกได้โดยการใช้ XRD ดังที่ได้กล่าวมาแล้ว และส่วนที่นอกเหนือจากเปอร์เซ็นต์ของผลึกจะเป็นส่วนที่เป็นอสัณฐาน การทดสอบพอลิเมอร์ที่เป็นอสัณฐาน เป็นการเพิ่มเนื้อสัณฐานเท่านั้นแต่อาจส่งผลกระทบกับผลลัพธ์ของผลึกโดยจะทำให้เปอร์เซ็นต์การเป็นผลึกมีค่า 낮อย่าง

จากค่าเปอร์เซ็นต์ความเป็นผลึกจะสามารถหาปริมาณเปอร์เซ็นต์อสัณฐานทั้งหมดได้ และจากปริมาณการเติมสารเติมแต่งชนิดอสัณฐานจะทำให้สามารถคำนวณปริมาณ SPS ที่ปั่นอยู่ ใน อสัณฐานได้ แต่อย่างไรก็ตามอาจเกิดความคลาดเคลื่อนที่ทำให้เปอร์เซ็นต์การเป็นผลึกมีค่าสูง กว่าเปอร์เซ็นต์ SPS ที่อยู่ในพอลิเมอร์ผสมได้ซึ่งไม่เป็นความจริง ทั้งนี้อาจเนื่องมาจากการสูญเสีย พอลิเมอร์อสัณฐานที่เติมลงใน SPS ในขั้นตอนการกวนผสม ซึ่งพอลิเมอร์ดังกล่าวจะมีอุณหภูมิในการหลอมเหลวต่ำกว่า SPS มากทำให้ละลายติดกับแผ่นกวน หรือเกิดการเสื่อมสภาพในขณะที่ผสมได้ ทั้งนี้จากการทดลองเท่าที่พบจะปรากฏเหตุการณ์นี้ขึ้นเมื่อปริมาณ SPS ลดลงเหลือ 20%W เท่านั้น

ตัวอย่างข้อมูลดิบของ XRD ตามรูปที่ 4 แสดงกราฟการกระเจิงแสงของตัวอย่างที่มีผลึก (เส้นบน) และ การกระเจิงแสงของตัวอย่างเดียวกันที่เป็นโครงสร้างอสัณฐาน (เส้นล่าง) แกน X แสดงด้วยหน่วยเวลา (s) แกน Y แสดงค่าของ s^{-1} โดยที่พื้นที่ใต้กราฟระหว่างเส้นทั้งสองแสดงถึง ปริมาณส่วนที่เป็นผลึก และพื้นที่ใต้กราฟบนแสดงถึงการกระเจิงแสงทั้งหมด



รูปที่ 0.4 ตัวอย่างข้อมูลดิบของ XRD เป็นกราฟการกระเจิงแสง

ตารางที่ 0.1 ตัวอย่างการแสดงค่าปะมวลผลจาก XRD

%sPS total	%Crystal	%sPS amorphous in blend	%sPS in amorphous
50	0.27	22.98	0.31
60	0.26	34.12	0.46
70	0.31	38.97	0.57
80	0.35	45.22	0.69
90	0.39	50.95	0.84
100	0.42	57.79	1.00

ในคอลัมน์แรกแสดงถึงปริมาณเปอร์เซ็นต์โดยน้ำหนักของ SPS ในพอลิเมอร์ผสม ซึ่งมีส่วนผสมพอลิเมอร์อสัณฐานอื่นรวมอยู่ด้วย ในคอลัมน์ที่สองเป็นอัตราส่วนของผลึกในเนื้อพอลิเมอร์ผสมทั้งหมดที่สามารถหาได้จาก XRD ในคอลัมน์ที่สามเป็นปริมาณโดยน้ำหนักของ SPS ที่ไม่ได้ก่อตัวเป็นผลึก และในคอลัมน์สุดท้ายแสดงปริมาณ SPS ในส่วนที่เป็นอสัณฐานเมื่อคิดรวมกับพอลิเมอร์ชนิดที่สองซึ่งก็ไม่ได้ก่อตัวเป็นผลึก ทั้งนี้เพื่อประโยชน์ในการคำนวณค่า T_g ของส่วนที่เป็นอสัณฐาน

ตารางที่ 0.2 ตัวอย่างการแสดงค่าปะมวลผลจาก DSC

sPS1 (weight fraction)	T_g 1 (°C)	T_g 2 (°C)	T_c (°C)	T_m 1 (°C)	T_m 2.1 (°C)	T_m 2.2 (°C)
0.5	63.61	64.14	n.d.	n.d.	n.d.	n.d.
0.6	69.52	72.02	223.84	261.90	261.49	n.d.
0.7	72.99	74.26	226.74	262.70	262.33	n.d.
0.8	76.18	77.42	230.97	261.89	261.92	n.d.
0.9	78.65	81.09	239.64	268.52	262.73	n.d.
1.0	97.28	97.41	243.25	268.88	263.53	271.21

T_g 1 คือค่า T_g ที่ได้จากการให้ความร้อนครั้งแรก โดยจะแสดงถึงสภาพการก่อผลึกที่อุณหภูมิคงที่โดยผลสืบเนื่องมาจากการทึ้งให้เกิดผลึกจากการหลอมละลายที่อุณหภูมิ 200°C และ T_m 1 คือจุดยอดสุดของกระบวนการหลอมละลายผลึกที่ได้จากการให้ความร้อนครั้งที่หนึ่ง เช่นกัน ค่า T_c คือค่าอุณหภูมิการก่อผลึกที่ตรวจจาก การเย็นตัวลงที่อัตรา 20°C ต่อนาที และ T_g 2, T_m 2 แสดงค่าที่ได้จากการให้ความร้อนครั้งที่สอง โดยผลึกจะมีประวัติการก่อผลึกที่อัตรา 20°C ต่อนาที เหมือนกันในทุกค่า

9. การสังเคราะชินดิโอเทคติกพอลิสไตรีน

9.1 การเตรียมตัวเร่งปฏิกิริยา

Cp^*TiCl_3 น้ำหนัก 0.014 กรัม ละลายใน 35 ml ของโกลูอิน ภายใต้บรรยากาศออกซิเจน (Ar) ใน Glove Box โดยทำการผสมจนกระทั้งละลายโดยสมบูรณ์ และจะใช้เป็นตัวเร่งปฏิกิริยาร่วมกับ MMAO (Modified-Methylaluminoxane) ซึ่งจะทำหน้าที่เป็นตัวเร่งปฏิกิริยา.r่วมในการสังเคราะห์ชินดิโอเทคติกพอลิสไตรีน

9.2 การเตรียมสไตรีนโนโนเมอร์

จะทำการสกัดสไตรีนโนโนเมอร์ด้วยสารละลาย NaOH 5% w/w ในน้ำกลั่น และนำไปกลั่นภายใต้ไขเดี่ยมที่ 50°C ภายใต้สภาพวัสดุญญาติ ก่อนการนำไปสังเคราะห์

9.3 การสังเคราะห์พอลิสไตรีน

การสังเคราะห์พอลิสไตรีนทำในขวดแก้วทรงกลมขนาด 250 ml ที่มีแห่งกวนแม่เหล็กที่อุณหภูมิที่กำหนดภายใต้บรรยากาศออกซิเจน โดยทำการผสม 46 ml ของโกลูอิน, 32 ml ของสารละลายตัวเร่งปฏิกิริยา, 13.6 ml ของ MMAO และ 28.4 ml ของสไตรีนโนโนเมอร์ที่กลั่นแล้ว สารผสมจะทำปฏิกิริยาจนกระทั้งครบตามกำหนดเวลาและจะหยุดปฏิกิริยาโดยการเติมสารละลายเมธานอลที่มีกรด HCl ผสมอยู่ 10% พอลิสไตรีนที่ได้จะตกละกอนออกจากสารละลาย จะถูกกรองและล้างตะกอนด้วยเมธานอลและทำการซั่นน้ำหนัก

9.4 การหาปริมาณชินดิโอเทคติก

พอลิสไตรีนที่ไม่ใช่การต่อสายโซ่ที่เป็นชินดิโอเทคติกจะสามารถละลายในตัวทำละลาย MEK (เมธิล เอ็ธิล คีโตน) พอลิเมอร์ที่ได้จากการสังเคราะห์จะถูกล้างโดยการละลายในสารละลายควบแน่นเป็นเวลา 12 ชั่วโมง น้ำหนักพอลิสไตรีนที่เหลืออยู่จากการสกัดหารด้วยน้ำหนักเริ่มต้นและคำนวนเป็นเปอร์เซ็นต์จะเป็นค่าดัชนีชินดิโอเทคติกของพอลิเมอร์ที่ได้มาจาก การสังเคราะห์สภาพในการทำปฏิกิริยาจะสามารถสรุปได้ดังนี้

[Cp [*] TiCl ₃]	=	3.68×10 ⁻⁴ M
[MMAO]	=	1.83 M
[Styrene]	=	2.06 M
Al _{MMAO} /Ti mole ratio	=	563
Toluene	=	46 ml
Polymerization Time (t _p)	=	6 h, 1 h and 6 min
Polymerization Temperature (T _p)	=	0, 10 and 20°C

9.5 การทำเจลเพอร์มิເອ້ນໂຄຣມາໂດກຮາຟີ (Gel Permeation Chromatography)

การทำเจลเพอร์ມີເອ້ນໂຄຣມາໂດກຮາຟີດໍາເນີນການໂດຍ ບໍລິສັດໄທຍປີໂຕຣເຄີມືຄອດ ອີນດັບຕົວໄດ້ໃຫ້ເຄື່ອງ PL-GPC 220 ໂດຍການໃໝ່ອອໂຣ-ໄດ້ຄລອໂຣເບັນເຊີນເປັນຕົວທໍາລະລາຍໂດຍການ ຜ່ານໄປໃນຄອລັມນ් PL-SP 260 ທີ່ອຸນຫກມີ 150°C ເປັນເວລາ 3 ຊົ່ວໂມງ ໂດຍໃຫ້ພອລິສໄຕຣິນອສັງສູນ ເປັນຕົວເທິຍບ ຈາກການເຫັນເວລາທີ່ໃໝ່ໃນການຜ່ານຄອລັມນ්ຈະທຳໃຫ້ກວາມມວລໂມເລກຸດເລື່ອໂດຍ ນໍ້ານັກແລະໂດຍຈຳນວນ (M_w, M_n) ແລະຄ່າກາງກະຈາຍຕົວຂອງມວລໂມເລກຸດ ຂອງພອລິມີໂຮງທີ່ ສັງເຄຣະໜີໄຕ້ (M_w/M_n)

เครื่องมือที่ใช้ในการวิจัย

1. ชุดสังเคราะห์ Syndiotactic Polystyrene (sPS): ใช้เครื่องมือของศูนย์เชี่ยวชาญทางตัวเร่งปฏิกิริยา ภาควิชาวิศวกรรมเคมี, คณะวิศวกรรมศาสตร์, จุฬาลงกรณ์มหาวิทยาลัย

- 1.1 Schelenk Line
- 1.2 Schelenk Tube
- 1.3 Glove Box
- 1.4 Vacuum Pump
- 1.5 Inert Gas Supply
- 1.6 Glass Reactor, Syringe and Needle
- 1.7 Magnetic Stirrer and Hot plate
- 1.8 Soxhlet Extractor

2. ชุดวิเคราะห์พอลิเมอร์

- 2.1 Digital hot plate Stirrer
- 2.2 Small angle light scattering (SALS): เครื่องมือประกอบในประเทศ
ห้องปฏิบัติการวิจัยพอลิเมอร์,
ภาควิชาวิศวกรรมเคมี, จุฬาลงกรณ์มหาวิทยาลัย

2.3 Differential Scanning Calorimeter (DSC): Perkin-Elmer DSC7,
ศูนย์เครื่องมือ, มหาวิทยาลัยมหิดล

2.4 Scanning Electron Microscope (SEM): JSM-5410LV
ศูนย์เครื่องมือ, จุฬาลงกรณ์มหาวิทยาลัย

2.5 Wide Angle X-Ray Diffraction (WAXD):

Philips Expert PW3710 BASED HT10

สถาบันวิจัยโลหะและวัสดุ, จุฬาลงกรณ์มหาวิทยาลัย

2.6 เครื่องมือของศูนย์เชี่ยวชาญทางตัวเร่งปฏิกิริยา ภาควิชาวิศวกรรมเคมี,
คณะวิศวกรรมศาสตร์, จุฬาลงกรณ์มหาวิทยาลัย

2.6.1 DSC, Perkin-Elmer, Diamond DSC

2.6.2 DMA, Dynamic Mechanical Analysis, Perkin-Elmer

2.6.3 WAXD

ผลการทดลอง ตอนที่หนึ่ง

1.1 ผลกระทบของอุณหภูมิต่อความว่องไวของตัวเร่งปฏิกิริยา

การสังเคราะห์ชินดิโอเทคติกโพลิสไตรีนทำในสภาวะอุณหภูมิกันที่ 0°C เพื่อที่จะได้มวลไม่เลกลุกที่มีขนาดต่างกัน การสังเคราะห์จะทำที่อุณหภูมิที่แตกต่างกันสามค่าคือ $0,10$ และ 20°C การทำปฏิกิริยาที่อุณหภูมิต่างๆ นั้นจะทำให้ความว่องไวของตัวเร่งปฏิกิริยามีค่าแตกต่างกันออกไปดังจะสามารถสรุปได้ดังตารางที่ 1.1

ตารางที่ 1.1 ตารางร้อยละผลได้และค่า catalytic activity ของการสังเคราะห์โพลิสไตรีนในสภาวะอุณหภูมิกันที่ต่างๆ (Percent Yield and catalytic activity of polystyrene produced at various polymerization temperatures)^a

Polymerization Temperature ($^{\circ}\text{C}$)	Yield (%)	Catalytic Activity (g PS / mmol Ti-hr)
0 ^b	11.47	11.13
10 ^c	13.95	79.48
20 ^d	15.22	885.42

^a Polymerization conditions : $[\text{Cp}^*\text{TiCl}_3] = 3.68 \times 10^{-4}$ M, $[\text{MMAO}] = 1.83$ M, $[\text{Styrene}] = 2.06$, $\text{Al/Ti} = 563$

^{b, c, d} Polymerization time = 6 h, 1 h and 6 min, respectively.

โดยจะเห็นได้ว่าความว่องไวของตัวเร่งปฏิกิริยาจะเพิ่มขึ้นเมื่ออุณหภูมิเพิ่มเดียวกับการเพิ่มร้อยละผลได้ (Yield) ซึ่งตรงกับผลการทดลองที่มีการศึกษามาก่อนหน้า

1.2 ผลของอุณหภูมิต่อความเป็นชินดิโอเทคติก

โดยการวัดเบอร์เจ้นต์น้ำหนักที่คงเหลือจากการสกัดด้วยตัวทำละลายเดือด (Soxhlet Extraction) โดยใช้ MEK เป็นตัวทำละลายในเวลา 12 ชั่วโมงจะทำให้สามารถประมาณดัชนีความเป็นชินดิโอเทคติกได้ดังตารางที่ 1.2

ตารางที่ 1.2 ร้อยละดัชนีของความเป็นซินดิโอเทคติก (% S.I.) ของการสังเคราะห์โพลิสไตรีนในสภาวะอุณหภูมิคงที่ต่างๆ (Percent Syndiotactic index (% S.I.) of polystyrene products at various polymerization temperatures)^a

Polymerization Temperature (°C)	Weight of Polystyrene Product		% Syndiotactic Index (% S.I.)
	Before Extracted (g)	After Extracted (g)	
0 ^b	2.9506	2.7589	93.50
10 ^c	3.5132	3.3148	94.35
20 ^d	3.9164	3.7209	95.01

^a Polymerization conditions : $[Cp^*TiCl_3] = 3.68 \times 10^{-4}$ M, [MMAO] = 1.83 M, [Styrene] = 2.06, Al/Ti = 563

^{b, c, d} Polymerization time = 6 h, 1 h and 6 min, respectively.

ซึ่งจะเห็นได้ว่าปริมาณดัชนีซินดิโอเทคติกจะเพิ่มขึ้นเล็กน้อยตามอุณหภูมิที่ใช้ในการดำเนินปฏิกริยา โดยจะมีค่าอยู่ที่ประมาณ 94 เปอร์เซ็นต์

1.3 ผลของอุณหภูมิของปฏิกริยาต่อมวลโมเลกุลของชินดิโอเทคติกโพลิสไตรีน ดังจะสามารถแสดงได้ดังตารางที่ 5

ตารางที่ 1.3 แสดงค่ามวลโมเลกุลและมวลโมเลกุลตามจำนวนของการสังเคราะห์ซินดิโอเทคติกโพลิสไตรีนในสภาวะอุณหภูมิคงที่ต่างๆ (Molecular weights and molecular weight distributions of syndiotactic polystyrene at various polymerization temperatures)^a

Polymerization Temperature (°C)	M _n	M _w	M _w /M _n
0 ^b (sPS3)	372,900	1,083,300	2.9
10 ^c (sPS1)	636,400	1,663,000	2.6
20 ^d (sPS2)	379,300	1,040,500	2.8

^a Polymerization conditions : $[Cp^*TiCl_3] = 3.68 \times 10^{-4}$ M, [MMAO] = 1.83 M, [Styrene] = 2.06, Al/Ti = 563

^{b, c, d} Polymerization time = 6 h, 1 h and 6 min, respectively.

ผลของอุณหภูมิของปฏิกิริยาต่อมวลไม่เลกูลของชินดิโอลีโคเทคติกพอลิสไดร์นจะแตกต่างกันออกไปเป็นอยู่กับทั้งอุณหภูมิที่ทำปฏิกิริยาและเวลาที่ใช้ในการทำปฏิกิริยา ในที่นี้จะเรียกชินดิโอลีโคเทคติกพอลิสไดร์นที่ได้จากอุณหภูมิต่างๆเรียงลำดับตามปริมาณมวลไม่เลกูลตามจำนวน (Mn) ว่า sPS1, sPS2, และ sPS3 ตามลำดับดังจะสามารถแสดงได้ดังตารางข้างต้น

1.4 ผลการทดลองโดยเครื่อง DSC (Differential Scanning Calorimetry)

ดังที่ได้กล่าวในช่วงการวิเคราะห์ข้อมูลแล้ววิธีดำเนินการทดลอง จากการทดลองตรวจวัดด้วย DSC จะสามารถทำให้ทราบอุณหภูมิคล้ายแก้ว, Tg (Glass Transition Temperature) อุณหภูมิหลอมเหลวตัวของพลีก, Tm (Crystalline Melting Point Temperature) และอุณหภูมิก่อตัวของพลีก, Tc (Crystallization Temperature) ของพอลิเมอร์ก่อนการผสานและหลังจากการผสานโดยจะสังเกตความเข้ากันได้ในทางความร้อนโดยที่ ถ้าค่าอุณหภูมิ Tg ของพอลิเมอร์ผสานจะมีอยู่เพียงค่าเดียวและมีค่าอยู่ระหว่างอุณหภูมิ Tg ของ พอลิเมอร์บริสุทธิ์ทั้งสองจะแสดงถึงความเข้ากันเป็นเนื้อเดียวกัน (Miscibility) และถ้าอุณหภูมิ Tg ของพอลิเมอร์ผสานมีสองค่าอยู่ระหว่างอุณหภูมิ Tg ของพอลิเมอร์บริสุทธิ์ทั้งสองจะแสดงถึงการเข้ากันได้เพียงบางส่วน (Partial Miscibility) และถ้าค่า Tg ของพอลิเมอร์ผสานมีสองค่าและไม่เปลี่ยนไปจากอุณหภูมิ Tg ของ พอลิเมอร์บริสุทธิ์ทั้งสองจะถือได้ว่าพอลิเมอร์ทั้งสองไม่สามารถผสานเป็นเนื้อเดียวกันได้ (Immiscible) แต่อย่างไรก็ได้การคาดเดาการเข้ากันได้จากอุณหภูมิคล้ายแก้ว ยังมีอุปสรรคจากการที่การเปลี่ยนแปลงที่สามารถตรวจวัดได้สามารถสังเกตได้โดยยาก ทั้งนี้เนื่องจากลักษณะของชนิดของพอลิเมอร์ที่ไม่ผสานและความเข้มข้นของพอลิเมอร์บริสุทธิ์ในพอลิเมอร์ผสานที่มีค่าต่ำ การยืนยันความเป็นเนื้อเดียวกันจึงควรทดสอบคล้องกันไม่แต่เฉพาะการตรวจวัดโดย DSC เท่านั้นแต่ควรใช้เครื่องมือชนิดอื่นๆเพื่อยืนยันการเป็นเนื้อเดียวกันของพอลิเมอร์อีกด้วย

ในการทดลองนี้จะทำการตรวจวัดโดย DSC ในช่วงอุณหภูมิระหว่าง 50 – 300 °C โดยใช้อัตราการให้ความร้อน 20 °C ต่อนาที ตัวอย่างจะถูกทำให้หลอมเหลวที่ 300 °C และนำไปพักเพื่อให้เกิดพลีกที่ 200 °C ก่อนการนำเข้าเครื่อง DSC เพื่อทำการเพิ่มอุณหภูมิและตรวจวัดเป็นครั้งที่หนึ่ง หลังจากตรวจวัดและอุณหภูมิขึ้นสูงถึง 300 °C DSC จะลดอุณหภูมิลงด้วยอัตรา 20 °C ต่อนาทีพร้อมทำการตรวจวัดอุณหภูมิก่อพลีกในที่นี้มีอัตราการเย็นตัวลงคงที่ จนอุณหภูมิลดลงเหลือ 50 °C และจึงทำการให้ความร้อนและตรวจวัดครั้งที่สองด้วยอัตราการให้ความร้อนเช่นเดียวกันกับในการตรวจวัดครั้งที่หนึ่ง ระหว่างการให้ความร้อนค่าอุณหภูมิคล้ายแก้วและอุณหภูมิหลอมละลายพลีกจะถูกบันทึก ตารางสรุปของอุณหภูมิที่เป็นจุดเปลี่ยนทั้งสามจะสามารถแสดงได้โดยตารางที่ 6 ริ่มจากการตรวจวัดชินดิโอลีโคเทคติกพอลิสไดร์นบริสุทธิ์ทั้งสามตัวดังนี้

ตารางที่ 1.4 แสดงค่าอุณหภูมิقل้ายแก้ว (T_g) อุณหภูมิก่อตัวของผลึก (T_c) และค่าอุณหภูมิหลอมเหลวตัวผลึก (T_m) ของชินดิโอเทคติกโพลิสไตรีนบิสทรีฟฟ์ (Glass transition temperature (T_g), crystalline temperature (T_c) and crystalline melting temperature (T_m) of pure syndiotactic polystyrenes)

Sample	T_g 1 (°C)	T_g 2 (°C)	T_c (°C)	T_m 1 (°C)	T_m 2.1 (°C)	T_m 2.2 (°C)
sPS1	97.28	97.41	243.25	268.88	263.53	271.21
sPS2	94.00	95.34	242.57	268.73	263.55	270.57
sPS3	93.48	94.19	240.78	268.69	263.14	270.17

จากตารางจะเห็นได้ว่าค่าอุณหภูมิคล้ายแก้ว (T_g) และอุณหภูมิหลอมละลายของผลึก TM จะมีค่าเพิ่มขึ้นเล็กน้อยเมื่อเพิ่มขนาดมวลไม่เลกุล (มวลไม่เลกุล sPS1>sPS2>sPS3) แต่อย่างไรก็ตามการที่อุณหภูมิทั้งสองมีค่าใกล้เคียงกันอาจมองได้ว่าอิทธิพลเนื่องจากมวลไม่เลกุลต่อ T_g , T_m ของพอลิเมอร์มวลไม่เลกุลใหญ่ระดับแสนจะมีน้อยกว่าในพอลิเมอร์ที่มีมวลไม่เลกุลต่ำกว่านี้

จากการศึกษาสมบัติของสัญญาณพอลิสไตรีนซึ่งสามารถเข้าเป็นเนื้อเดียวกันได้กับ PBMA, PCHA, PEMA, Poly(α -methyl-Styrene), Polyisoprene และ PVME จึงเกิดแนวคิดที่จะผสมพอลิเมอร์ดังกล่าวกับชินดิโอเทคติกโพลิสไตรีน เพื่อเปิดช่องทางการใช้พอลิเมอร์ผสม ดังกล่าวที่มีโอกาสเป็นเนื้อเดียวกับชินดิโอเทคติกโพลิสไตรีนเพื่อการใช้งานทางอุตสาหกรรมอีกด้วย

ตารางที่ 1.5 Glass transition temperature (T_g), crystalline temperature (T_c) and crystalline melting temperature (T_m) of sPS1/PBMA blends at various compositions (T_g of pure PBMA = 31.85 °C)

sPS1 (weight fraction)	T_g 1 (°C)	T_g 2 (°C)	T_c (°C)	T_m 1 (°C)	T_m 2.1 (°C)	T_m 2.2 (°C)
0.5	67.83	64.80	n.d.	n.d.	n.d.	n.d.
0.6	68.27	n.d.	210.10	254.43	249.58	n.d.
0.7	68.94	n.d.	213.69	255.21	250.34	n.d.
0.8	69.37	n.d.	214.77	255.58	251.07	n.d.
0.9	70.83	n.d.	234.25	265.30	262.90	n.d.
1.0	97.28	97.41	243.25	268.88	263.53	271.21

ตารางที่ 1.6 Glass transition temperature (T_g), crystalline temperature (T_c) and crystalline melting temperature (T_m) of sPS2/PBMA blends at various compositions (T_g of pure PBMA = 31.85°C)

sPS2 (weight fraction)	T_g 1 ($^{\circ}\text{C}$)	T_g 2 ($^{\circ}\text{C}$)	T_c ($^{\circ}\text{C}$)	T_m 1 ($^{\circ}\text{C}$)	T_m 2.1 ($^{\circ}\text{C}$)	T_m 2.2 ($^{\circ}\text{C}$)
0.5	66.67	63.41	n.d.	n.d.	n.d.	n.d.
0.6	67.60	n.d.	n.d.	n.d.	n.d.	n.d.
0.7	67.73	n.d.	n.d.	n.d.	n.d.	n.d.
0.8	68.19	n.d.	n.d.	n.d.	n.d.	n.d.
0.9	69.29	n.d.	233.28	263.26	262.61	n.d.
1.0	94.00	95.34	242.57	268.73	263.55	270.57

ตารางที่ 1.7 Glass transition temperature (T_g), crystalline temperature (T_c) and crystalline melting temperature (T_m) of sPS3/PBMA blends at various compositions (T_g of pure PBMA = 31.85°C)

sPS3 (weight fraction)	T_g 1 ($^{\circ}\text{C}$)	T_g 2 ($^{\circ}\text{C}$)	T_c ($^{\circ}\text{C}$)	T_m 1 ($^{\circ}\text{C}$)	T_m 2.1 ($^{\circ}\text{C}$)	T_m 2.2 ($^{\circ}\text{C}$)
0.5	64.56	61.72	n.d.	n.d.	n.d.	n.d.
0.6	65.75	n.d.	197.51	238.31	236.71	n.d.
0.7	66.12	n.d.	206.30	247.48	244.82	n.d.
0.8	66.98	n.d.	201.71	247.74	241.16	n.d.
0.9	67.64	n.d.	214.85	251.61	248.70	n.d.
1.0	93.48	94.19	240.78	268.69	263.14	270.17

จากตารางที่ 7-9 จะเห็นได้ว่า พอลิเมอร์ผสมที่มีความเข้มข้นเปลี่ยนไป จะยังคงมีค่าอุณหภูมิคล้ายแก้วเพียงค่าเดียว ซึ่งจะทำให้สามารถนำมายield ว่าพอลิเมอร์ PBMA สามารถเข้าเป็นเนื้อเดียวกับ ชินดิโอเทคติกพอลิสไตรีนทั้งสาม นอกจากนี้ถ้าอุณหภูมิคล้ายแก้วมีค่าสูงขึ้น เมื่อความเข้มข้นของ ชินดิโอเทคติกพอลิสไตรีนมีค่าสูงขึ้น จะตรงกับทฤษฎีของ Flory-Fox ที่อธิบายการเปลี่ยนแปลงของอุณหภูมิคล้ายแก้วเมื่อบริมาณอัตราส่วนของสารที่มีอุณหภูมิคล้ายแก้วที่สูงกว่าได้ออกตัวย



ตารางที่ 1.8 Glass transition temperature (T_g), crystalline temperature (T_c) and crystalline melting temperature (T_m) of sPS1/PCHA blends at various compositions (T_g of pure PCHA = 25.81°C)

sPS1 (weight fraction)	T_g 1 ($^\circ\text{C}$)	T_g 2 ($^\circ\text{C}$)	T_c ($^\circ\text{C}$)	T_m 1 ($^\circ\text{C}$)	T_m 2.1 ($^\circ\text{C}$)	T_m 2.2 ($^\circ\text{C}$)
0.5	63.61	64.14	n.d.	n.d.	n.d.	n.d.
0.6	69.52	72.02	223.84	261.90	261.49	n.d.
0.7	72.99	74.26	226.74	262.70	262.33	n.d.
0.8	76.18	77.42	230.97	261.89	261.92	n.d.
0.9	78.65	81.09	239.64	268.52	262.73	n.d.
1.0	97.28	97.41	243.25	268.88	263.53	271.21

ตารางที่ 1.9 Glass transition temperature (T_g), crystalline temperature (T_c) and crystalline melting temperature (T_m) of sPS2/PCHA blends at various compositions (T_g of pure PCHA = 25.81°C)

sPS2 (weight fraction)	T_g 1 ($^\circ\text{C}$)	T_g 2 ($^\circ\text{C}$)	T_c ($^\circ\text{C}$)	T_m 1 ($^\circ\text{C}$)	T_m 2.1 ($^\circ\text{C}$)	T_m 2.2 ($^\circ\text{C}$)
0.5	59.05	60.89	n.d.	n.d.	n.d.	n.d.
0.6	60.64	63.08	223.94	263.88	263.48	n.d.
0.7	61.31	64.05	215.61	255.59	253.08	n.d.
0.8	62.12	65.15	215.39	262.69	249.87	n.d.
0.9	66.50	68.72	234.32	261.10	255.27	n.d.
1.0	94.00	95.34	242.57	268.73	263.55	270.57

ตารางที่ 1.10 Glass transition temperature (T_g), crystalline temperature (T_c) and crystalline melting temperature (T_m) of sPS3/PCHA blends at various compositions (T_g of pure PCHA = 25.81°C)

sPS3 (weight fraction)	T_g 1 ($^{\circ}\text{C}$)	T_g 2 ($^{\circ}\text{C}$)	T_c ($^{\circ}\text{C}$)	T_m 1 ($^{\circ}\text{C}$)	T_m 2.1 ($^{\circ}\text{C}$)	T_m 2.2 ($^{\circ}\text{C}$)
0.5	53.68	56.69	n.d.	n.d.	n.d.	n.d.
0.6	55.18	58.80	223.87	261.09	261.5	n.d.
0.7	56.91	61.00	220.10	257.73	258.14	n.d.
0.8	58.57	61.96	216.89	258.70	255.76	n.d.
0.9	61.40	62.37	220.64	253.94	253.52	n.d.
1.0	93.48	94.19	240.78	268.69	263.14	270.17

จากตารางที่ 10-12 จะสามารถคาดเดาได้ว่า PCHA จะสามารถเข้าเป็นเนื้อเดียวกับชินดิโอลูเทคติกพอลิสไตรีนหั้งสาม โดยมีค่าคุณภูมิคล้ายแก้วเพียงค่าเดียวและเพิ่มขึ้นตามอัตราส่วนของชินดิโอลูเทคติกพอลิสไตรีนที่เพิ่มขึ้น

ตารางที่ 1.11 Glass transition temperature (T_g), crystalline temperature (T_c) and crystalline melting temperature (T_m) of sPS1/PEMA blends at various compositions (T_g of pure PEMA = 65.54°C)

sPS1 (weight fraction)	T_g 1 ($^{\circ}\text{C}$)	T_g 2 ($^{\circ}\text{C}$)	T_c ($^{\circ}\text{C}$)	T_m 1 ($^{\circ}\text{C}$)	T_m 2.1 ($^{\circ}\text{C}$)	T_m 2.2 ($^{\circ}\text{C}$)
0.5	73.12	73.90	216.60	255.05	256.48	n.d.
0.6	74.96	n.d.	203.94	228.19	245.44	n.d.
0.7	75.83	n.d.	203.23	247.16	243.70	n.d.
0.8	76.01	n.d.	207.10	246.83	246.52	n.d.
0.9	78.76	n.d.	225.79	260.77	258.13	n.d.
1.0	97.28	97.41	243.25	268.88	263.53	271.21

ตารางที่ 1.12 Glass transition temperature (T_g), crystalline temperature (T_c) and crystalline melting temperature (T_m) of sPS2/PEMA blends at various compositions (T_g of pure PEMA = 65.54°C)

sPS2 (weight fraction)	T_g 1 ($^{\circ}\text{C}$)	T_g 2 ($^{\circ}\text{C}$)	T_c ($^{\circ}\text{C}$)	T_m 1 ($^{\circ}\text{C}$)	T_m 2.1 ($^{\circ}\text{C}$)	T_m 2.2 ($^{\circ}\text{C}$)
0.5	67.94	69.63	n.d.	n.d.	n.d.	n.d.
0.6	68.65	n.d.	195.46	228.12	235.55	n.d.
0.7	69.79	n.d.	199.36	245.38	240.51	n.d.
0.8	70.53	n.d.	213.94	249.86	247.81	n.d.
0.9	71.76	n.d.	212.97	252.02	247.86	n.d.
1.0	94.00	95.34	242.57	268.73	263.55	270.57

ตารางที่ 1.13 Glass transition temperature (T_g), crystalline temperature (T_c) and crystalline melting temperature (T_m) of sPS3/PEMA blends at various compositions (T_g of pure PEMA = 65.54°C)

sPS3 (weight fraction)	T_g 1 ($^{\circ}\text{C}$)	T_g 2 ($^{\circ}\text{C}$)	T_c ($^{\circ}\text{C}$)	T_m 1 ($^{\circ}\text{C}$)	T_m 2.1 ($^{\circ}\text{C}$)	T_m 2.2 ($^{\circ}\text{C}$)
0.5	66.70	66.96	n.d.	n.d.	n.d.	n.d.
0.6	67.87	n.d.	204.01	250.44	246.31	n.d.
0.7	68.81	n.d.	199.66	240.62	238.66	n.d.
0.8	69.60	n.d.	216.81	255.53	251.02	n.d.
0.9	70.32	n.d.	199.21	245.61	236.55	n.d.
1.0	93.48	94.19	240.78	268.69	263.14	270.17

จากตารางที่ 13-15 จะสามารถคาดเดาได้ว่า PEMA จะสามารถเข้าเป็นเนื้อเดียวได้กับชิโนดิโอลิสติกพอลิสไตรีนทั้งสาม โดยมีค่าอุณหภูมิคล้ายแก้วเพียงค่าเดียวและเพิ่มขึ้นตามอัตราส่วนของชิโนดิโอลิสติกพอลิสไตรีนที่เพิ่มขึ้น

ตารางที่ 1.14 Glass transition temperature (T_g), crystalline temperature (T_c) and crystalline melting temperature (T_m) of sPS1/Poly(α -methylstyrene) blends at various compositions (T_g of pure Poly(α -methylstyrene) = 87.33 °C)

sPS1 (weight fraction)	T_g 1 (°C)	T_g 2 (°C)	T_c (°C)	T_m 1 (°C)	T_m 2.1 (°C)	T_m 2.2 (°C)
0.5	84.27	85.37	223.79	258.38	243.36	257.24
0.6	89.06	92.48	229.79	262.58	251.75	263.67
0.7	92.59	94.89	233.43	263.02	256.81	266.63
0.8	93.56	95.79	236.68	267.01	260.75	268.82
0.9	95.35	96.11	238.13	268.81	263.25	270.26
1.0	97.28	97.41	243.25	268.88	263.53	271.21

ตารางที่ 1.15 Glass transition temperature (T_g), crystalline temperature (T_c) and crystalline melting temperature (T_m) of sPS2/Poly(α -methylstyrene) blends at various compositions (T_g of pure Poly(α -methylstyrene) = 87.33 °C)

sPS2 (weight fraction)	T_g 1 (°C)	T_g 2 (°C)	T_c (°C)	T_m 1 (°C)	T_m 2.1 (°C)	T_m 2.2 (°C)
0.5	83.79	84.97	217.73	250.90	237.80	252.40
0.6	87.27	91.05	226.49	261.72	249.88	261.46
0.7	88.63	92.39	235.75	266.43	258.06	267.54
0.8	90.51	93.31	237.86	267.13	259.81	268.57
0.9	92.86	94.92	240.86	268.43	262.87	269.90
1.0	94.00	95.34	242.57	268.73	263.55	270.57

ตารางที่ 1.16 Glass transition temperature (T_g), crystalline temperature (T_c) and crystalline melting temperature (T_m) of sPS3/Poly(α -methylstyrene) blends at various compositions (T_g of pure Poly(α -methylstyrene) = 87.33°C)

sPS3 (weight fraction)	T_g 1 ($^{\circ}\text{C}$)	T_g 2 ($^{\circ}\text{C}$)	T_c ($^{\circ}\text{C}$)	T_m 1 ($^{\circ}\text{C}$)	T_m 2.1 ($^{\circ}\text{C}$)	T_m 2.2 ($^{\circ}\text{C}$)
0.5	77.26	79.17	207.31	241.54	229.59	246.80
0.6	80.01	83.75	221.43	253.57	240.74	255.84
0.7	85.08	86.55	215.80	252.60	235.14	250.93
0.8	89.46	92.23	224.18	257.68	241.30	256.39
0.9	91.31	93.67	225.53	256.56	242.24	257.67
1.0	93.48	94.19	240.78	268.69	263.14	270.17

จากตารางที่ 15-18 จะสามารถคาดเดาได้ว่า Poly(α -methyl-Styrene) จะสามารถเข้าเป็นเนื้อเดียวกับชินดิโอเทคติกพอลิสไตรีนทั้งสาม โดยมีค่าอุณหภูมิคล้ายแก้วเพียงค่าเดียวและเพิ่มขึ้นตามอัตราส่วนของชินดิโอเทคติกพอลิสไตรีนที่เพิ่มขึ้น

ตารางที่ 1.17 Glass transition temperature (T_g), crystalline temperature (T_c) and crystalline melting temperature (T_m) of sPS1/Polyisoprene blends at various compositions (T_g of pure Polyisoprene = -47.02°C)

sPS1 (weight fraction)	T_g 1 ($^{\circ}\text{C}$)	T_g 2 ($^{\circ}\text{C}$)	T_c ($^{\circ}\text{C}$)	T_m 1 ($^{\circ}\text{C}$)	T_m 2.1 ($^{\circ}\text{C}$)	T_m 2.2 ($^{\circ}\text{C}$)
0.5	70.17	63.51	n.d.	n.d.	n.d.	n.d.
0.6	74.66	71.15	217.20	259.04	261.54	n.d.
0.7	76.85	73.10	221.37	263.16	264.87	n.d.
0.8	77.90	80.45	220.94	260.68	259.44	n.d.
0.9	78.83	82.23	225.12	258.83	257.51	n.d.
1.0	97.28	97.41	243.25	268.88	263.53	271.21

ตารางที่ 1.18 Glass transition temperature (T_g), crystalline temperature (T_c) and crystalline melting temperature (T_m) of sPS2/Polyisoprene blends at various compositions (T_g of pure Polyisoprene = -47.02°C)

sPS2 (weight fraction)	T_g 1 ($^{\circ}\text{C}$)	T_g 2 ($^{\circ}\text{C}$)	T_c ($^{\circ}\text{C}$)	T_m 1 ($^{\circ}\text{C}$)	T_m 2.1 ($^{\circ}\text{C}$)	T_m 2.2 ($^{\circ}\text{C}$)
0.5	45.12	49.73	217.76	250.60	253.22	n.d.
0.6	58.83	63.28	217.16	259.82	263.96	n.d.
0.7	60.03	64.57	221.72	261.45	265.23	n.d.
0.8	70.14	71.12	223.84	262.27	262.67	n.d.
0.9	73.43	73.64	236.72	265.45	265.90	n.d.
1.0	94.00	95.34	242.57	268.73	263.55	270.57

ตารางที่ 1.19 Glass transition temperature (T_g), crystalline temperature (T_c) and crystalline melting temperature (T_m) of sPS3/Polyisoprene blends at various compositions (T_g of pure Polyisoprene = -47.02°C)

sPS3 (weight fraction)	T_g 1 ($^{\circ}\text{C}$)	T_g 2 ($^{\circ}\text{C}$)	T_c ($^{\circ}\text{C}$)	T_m 1 ($^{\circ}\text{C}$)	T_m 2.1 ($^{\circ}\text{C}$)	T_m 2.2 ($^{\circ}\text{C}$)
0.5	44.18	45.75	220.94	255.86	257.91	n.d.
0.6	48.16	52.16	215.97	259.04	261.51	n.d.
0.7	56.82	53.38	218.90	261.53	262.38	n.d.
0.8	61.22	57.67	225.99	263.60	264.00	n.d.
0.9	69.28	73.99	225.95	256.89	256.91	n.d.
1.0	93.48	94.19	240.78	268.69	263.14	270.17

จากตารางที่ 1.19-21 จะสามารถคาดเดาได้ว่า Polyisoprene จะสามารถเข้าเป็นเนื้อเดียวได้กับชนิดไออกติกพอลิสไตรีนทั้งสาม โดยมีค่าอุณหภูมิคล้ายแก้วเพียงค่าเดียวและเพิ่มขึ้นตามอัตราส่วนของชนิดไออกติกพอลิสไตรีนที่เพิ่มขึ้น

ตารางที่ 1.20 Glass transition temperature (T_g), crystalline temperature (T_c) and crystalline melting temperature (T_m) of sPS1/PVME blends at various compositions (T_g of pure PVME = -27.10 °C)

sPS1 (weight fraction)	T_g 1.1 (°C)	T_g 1.2 (°C)	T_g 2 (°C)	T_c (°C)	T_m 1 (°C)	T_m 2.1 (°C)	T_m 2.2 (°C)
0.5	-24.19	46.13	-20.10	218.15	265.00	267.19	n.d.
0.6	-23.73	47.84	-18.47	227.16	266.26	267.81	n.d.
0.7	-22.31	50.29	-17.82	223.49	262.08	264.66	n.d.
0.8	56.91	56.91	57.02	234.85	265.16	265.69	n.d.
0.9	57.14	57.14	57.51	237.13	268.19	268.17	n.d.
1.0	97.28	97.28	97.41	243.25	268.88	263.53	271.21

ตารางที่ 1.21 Glass transition temperature (T_g), crystalline temperature (T_c) and crystalline melting temperature (T_m) of sPS2/PVME blends at various compositions (T_g of pure PVME = -27.10 °C)

sPS2 (weight fraction)	T_g 1.1 (°C)	T_g 1.2 (°C)	T_g 2 (°C)	T_c (°C)	T_m 1 (°C)	T_m 2.1 (°C)	T_m 2.2 (°C)
0.5	-22.80	50.37	-17.13	215.86	262.69	267.12	n.d.
0.6	-22.10	53.49	-16.11	219.36	264.67	266.70	n.d.
0.7	-21.72	55.32	-15.97	223.96	263.58	266.71	n.d.
0.8	57.76	57.76	57.98	221.90	259.44	261.53	n.d.
0.9	58.22	58.22	58.90	236.32	269.70	269.73	n.d.
1.0	94.00	94.00	95.34	242.57	268.73	263.55	270.57

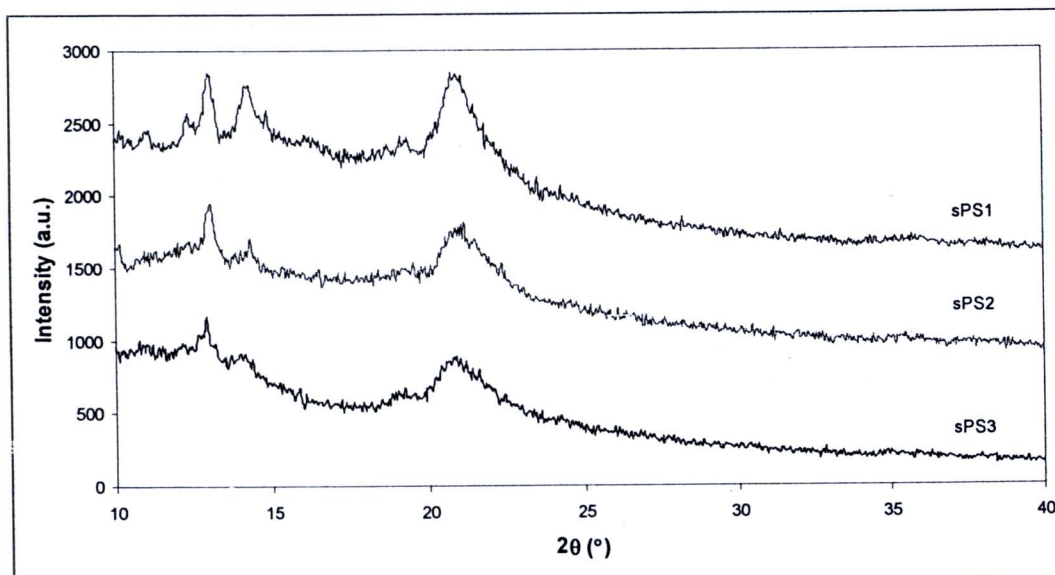
ตารางที่ 1.22 Glass transition temperature (T_g), crystalline temperature (T_c) and crystalline melting temperature (T_m) of sPS3/PVME blends at various compositions (T_g of pure PVME = -27.10 °C)

sPS3 (weight fraction)	T_g 1.1 (°C)	T_g 1.2 (°C)	T_g 2 (°C)	T_c (°C)	T_m 1 (°C)	T_m 2.1 (°C)	T_m 2.2 (°C)
0.5	-22.23	52.19	-15.79	228.63	265.13	265.64	n.d.
0.6	-21.53	56.60	-14.90	219.83	263.59	266.17	n.d.
0.7	-21.01	57.43	-14.26	221.36	262.53	265.12	n.d.
0.8	58.86	58.86	59.54	220.81	262.00	263.36	n.d.
0.9	59.37	59.37	60.15	228.63	265.13	265.64	n.d.
1.0	93.48	93.48	94.19	240.78	268.69	263.14	270.17

จากตารางที่ 22-24 จะสามารถสรุปได้ว่า การที่พอลิเมอร์สมูชของ PVME มีค่าอุณหภูมิคล้ายแก้วสองค่าที่อยู่ระหว่าง T_g ของชนิดโบทกติกพอลิสไตรีนและ PVME แสดงถึงการเข้ากันได้เพียงบางส่วน (Partial miscibility) และเกิดการแยกเฟสขึ้นในสภาพที่ทำการวัดโดย DSC

1.5 ผลการทดลองโดยเครื่อง XRD

กราฟการกระเจิงแสงเอ็กซ์เรย์และปริมาณส่วนที่เป็นผลลัพธ์ที่คำนวนจากวิธีของ Ruland สามารถแสดงได้ตามรูปที่ 5 และตารางที่ 25



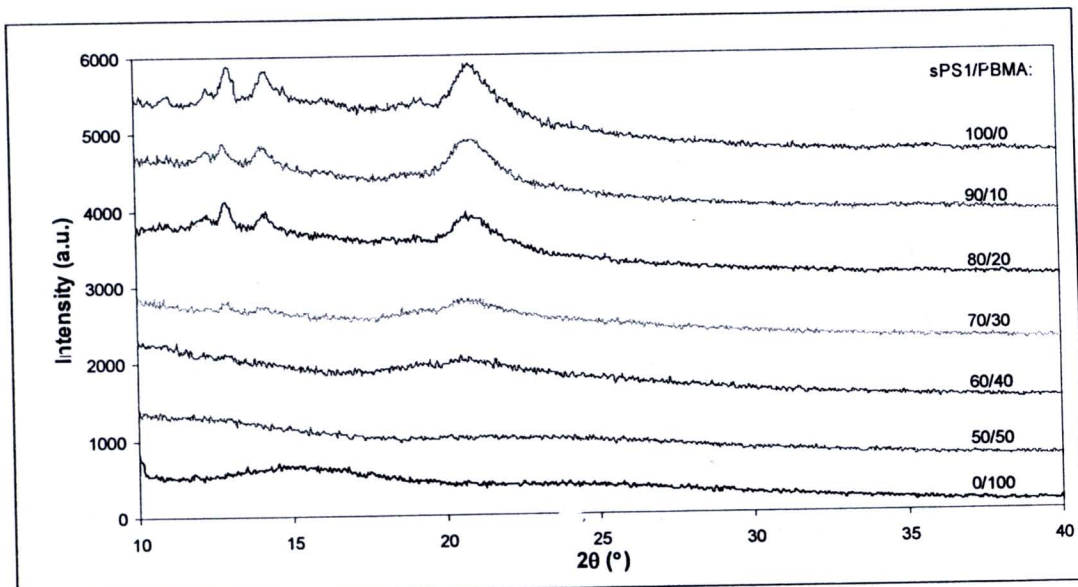
รูปที่ 1.1 X-ray diffractogram of syndiotactic polystyrenes

ตารางที่ 1.23 แสดงปริมาณส่วนที่เป็นผลึกของชินดิโடีเกติกโพลิสไตรีน (% Crystallinity of syndiotactic polystyrenes)

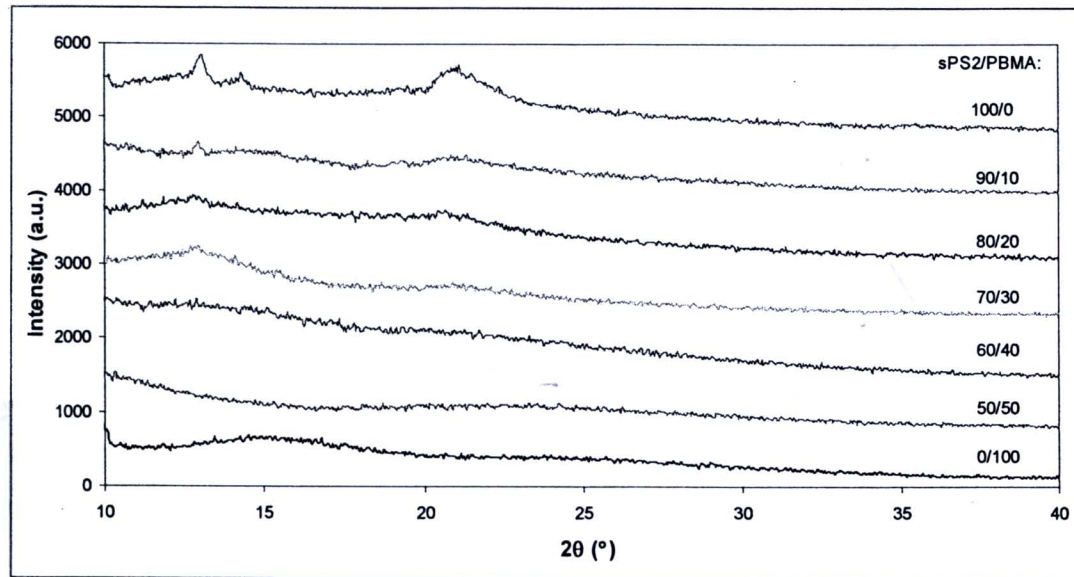
Sample	% Crystallinity
sPS1	52.38
sPS2	36.72
sPS3	42.21

จากการคำนวณเปอร์เซนต์ความเป็นผลึก แสดงว่า sPS1 มีปริมาณผลึกมากที่สุด กราฟการกระเจิงแสงของชินดิโດเกติกโพลิสไตรีนทั้งสามสามารถแสดงได้ตามรูปที่ 5

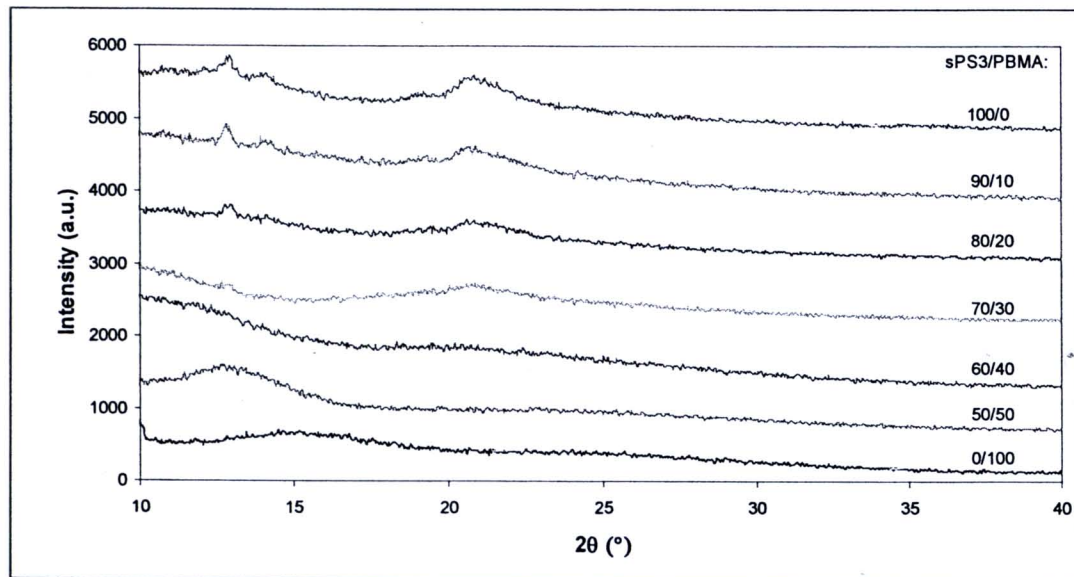
การกระเจิงแสงของโพลิเมอร์สม PBMA



รูปที่ 1.2 X-ray diffractogram of sPS1/PBMA blends at various compositions



รูปที่ 1.3 X-ray diffractogram of sPS2/PBMA blends at various compositions

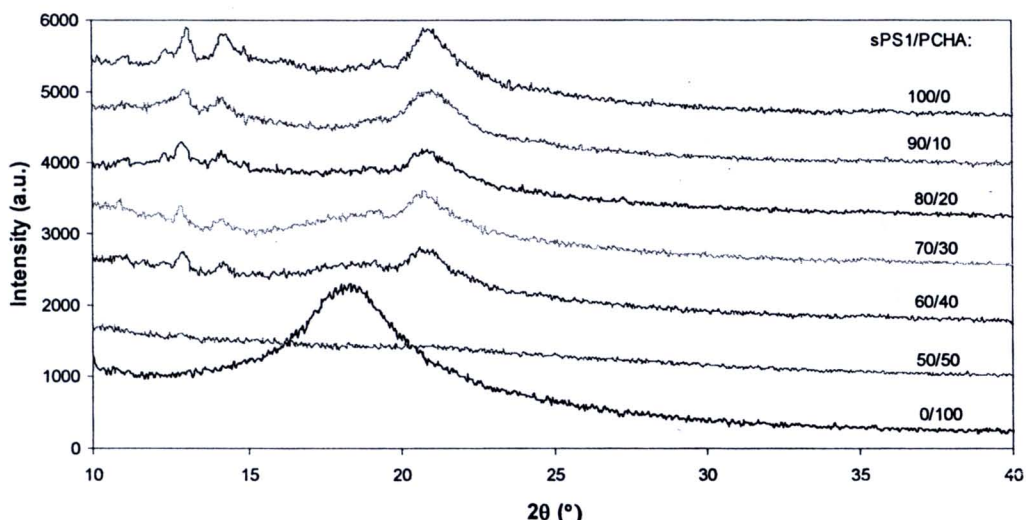


รูปที่ 1.4 X-ray diffractogram of sPS3/PBMA blends at various compositions

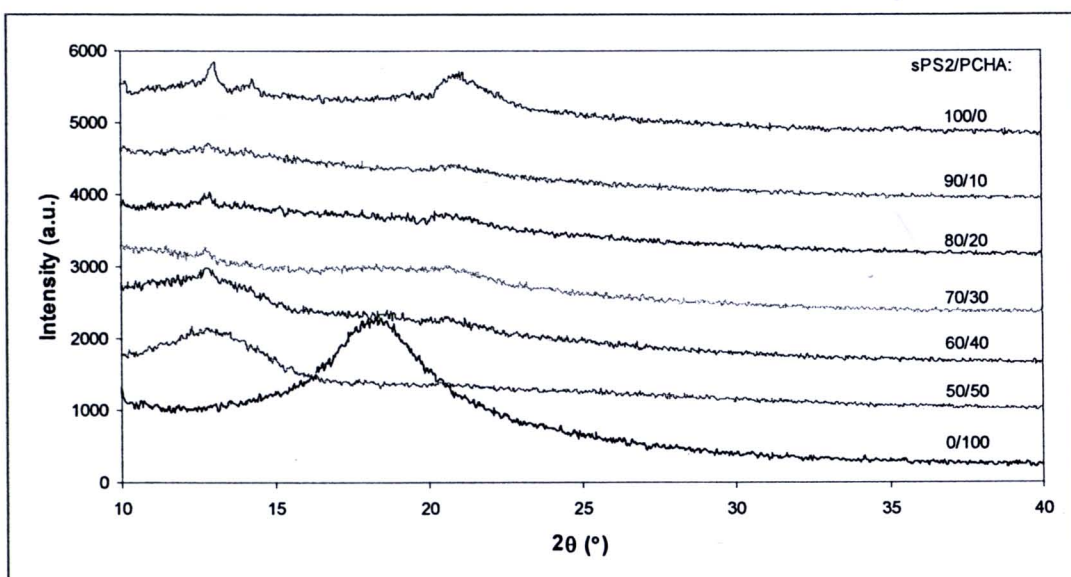
ตารางที่ 1.24 ค่าปริมาณความเป็นผลึกของ sPS/PBMA ที่องค์ประกอบต่างๆ (% Crystallinity of sPS/PBMA blends at various compositions)

sPS (weight fraction)	% Crystallinity		
	sPS1/PBMA	sPS2/PBMA	sPS3/PBMA
0.5	24.29	32.96	27.02
0.6	24.85	27.31	25.88
0.7	27.08	35.63	31.03
0.8	44.21	34.59	34.78
0.9	44.22	28.05	39.05
1.0	52.38	36.72	42.21

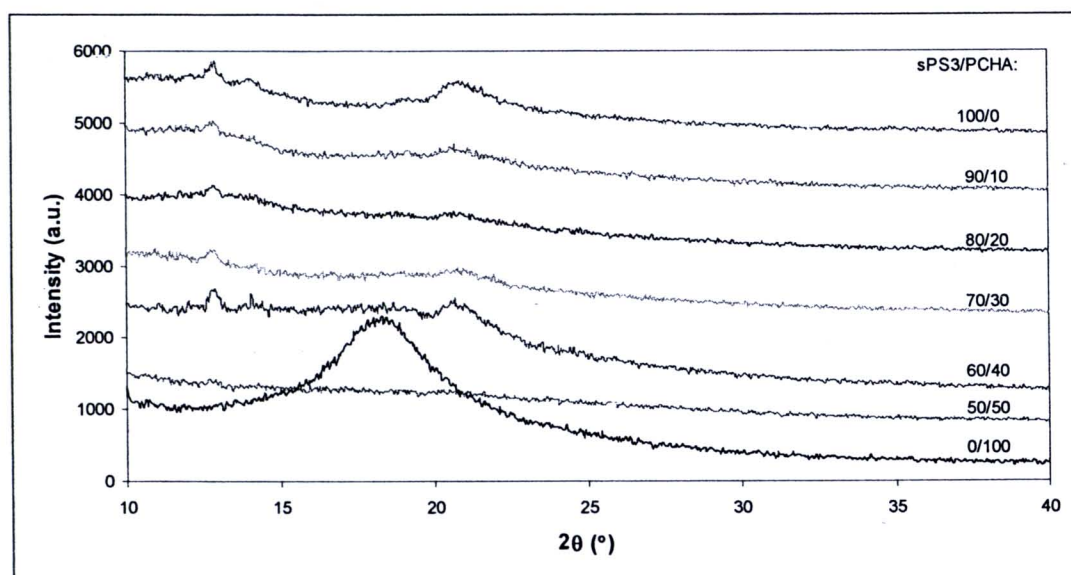
กราฟการกระเจิงแสงของพอลิเมอร์สูง PCHA



รูปที่ 1.5 X-ray diffractogram of sPS1/PCHA blends at various compositions



รูปที่ 1.6 X-ray diffractogram of sPS2/PCHA blends at various compositions

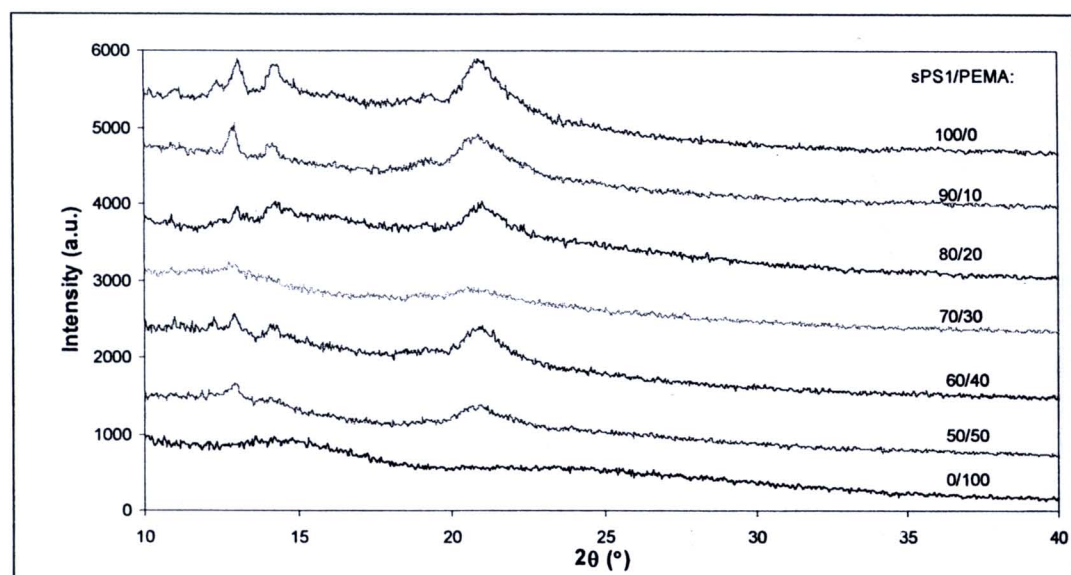


รูปที่ 1.7 X-ray diffractogram of sPS3/PCHA blends at various compositions

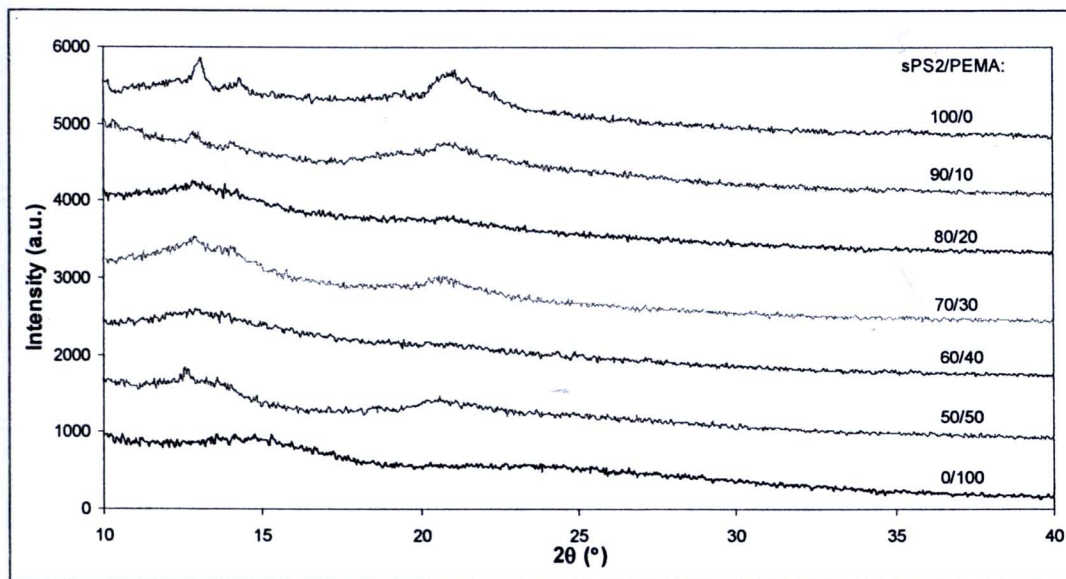
ตารางที่ 1.25 ค่าปริมาณความเป็นผลึกของ sPS/PCHA ท่องค์ประกอบต่างๆ (% Crystallinity of sPS/PCHA blends at various compositions)

sPS (weight fraction)	% Crystallinity		
	sPS1/PCHA	sPS2/PCHA	sPS3/PCHA
0.5	42.21	35.01	41.93
0.6	35.87	34.94	36.36
0.7	40.77	35.16	40.36
0.8	37.52	34.59	40.42
0.9	38.88	34.80	36.30
1.0	52.38	36.72	42.21

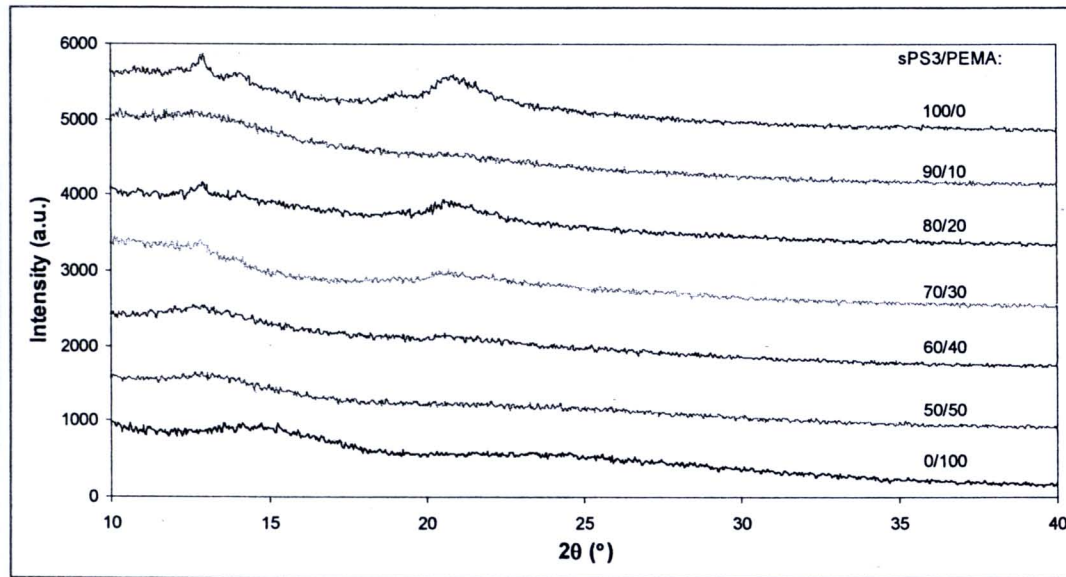
กราฟการกระเจิงแสงของพอลิเมอร์สูตร PEMA



รูปที่ 1.8 X-ray diffractogram of sPS1/PEMA blends at various compositions



รูปที่ 1.9 X-ray diffractogram of sPS2/PEMA blends at various compositions

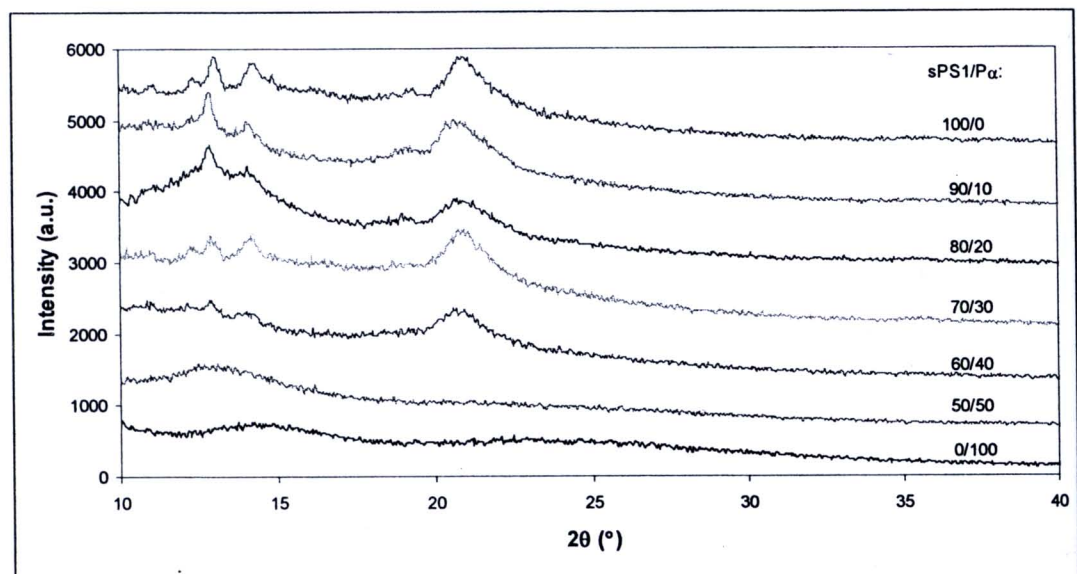


รูปที่ 1.10 X-ray diffractogram of sPS3/PEMA blends at various compositions

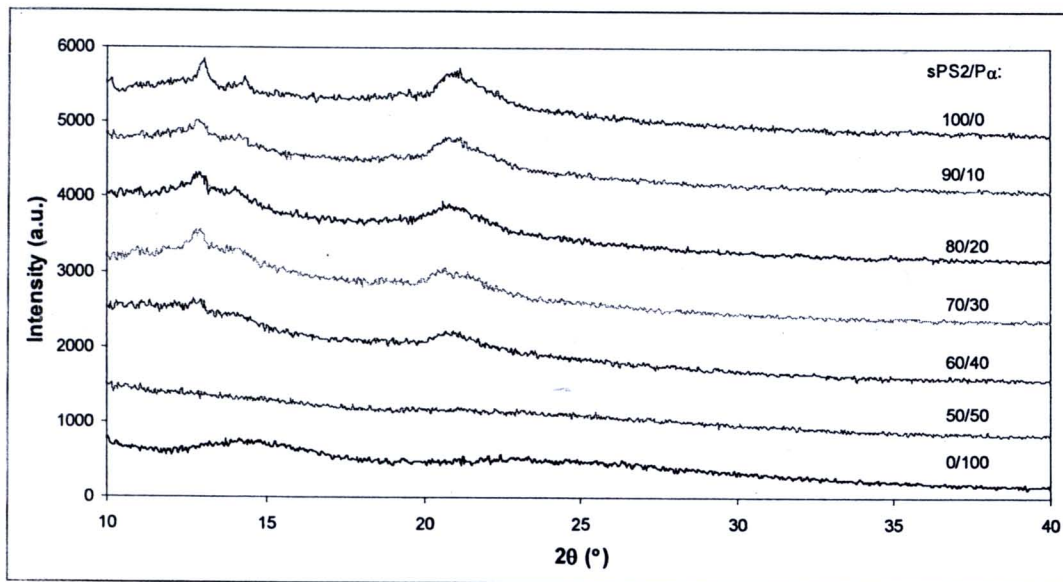
ตารางที่ 1.26 ค่าปริมาณความเป็นผลึกของ sPS/PEMA ท่องค์ประกอบต่างๆ (% Crystallinity of sPS/PEMA blends at various compositions)

sPS (weight fraction)	% Crystallinity		
	sPS1/PEMA	sPS2/PEMA	sPS3/PEMA
0.5	27.79	29.20	32.72
0.6	32.19	31.55	33.53
0.7	33.58	32.40	32.68
0.8	31.78	34.01	33.01
0.9	42.51	34.87	37.17
1.0	52.38	36.72	42.21

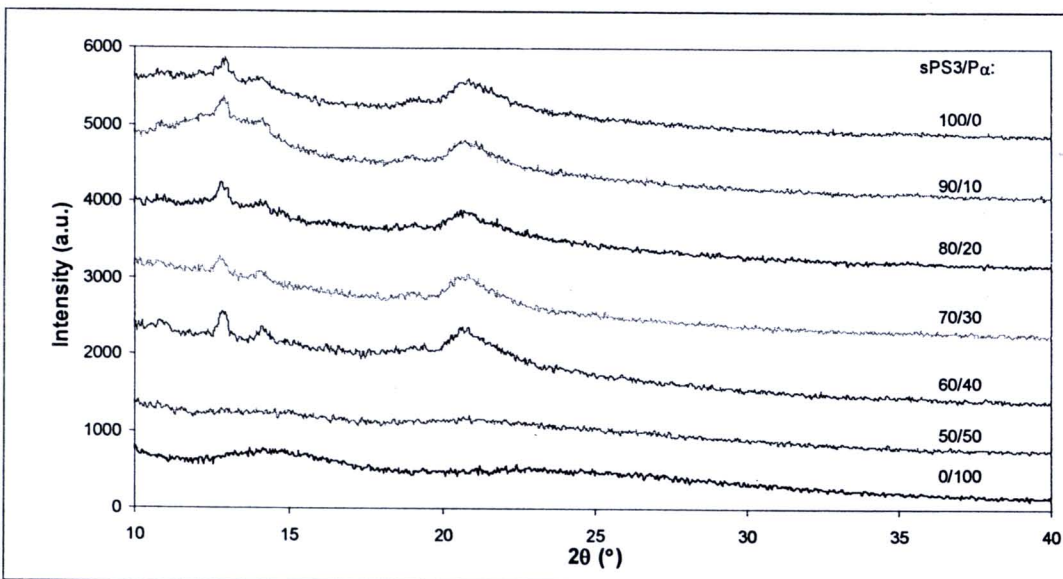
กราฟการกระเจิงแสงของพอลิเมอร์ฟัลส์ Poly(α -methyl-Styrene)



รูปที่ 1.11 X-ray diffractogram of sPS1/Poly(α -methylstyrene) blends at various compositions



รูปที่ 1.12 X-ray diffractogram of sPS2/Poly(α -methylstyrene) blends at various compositions

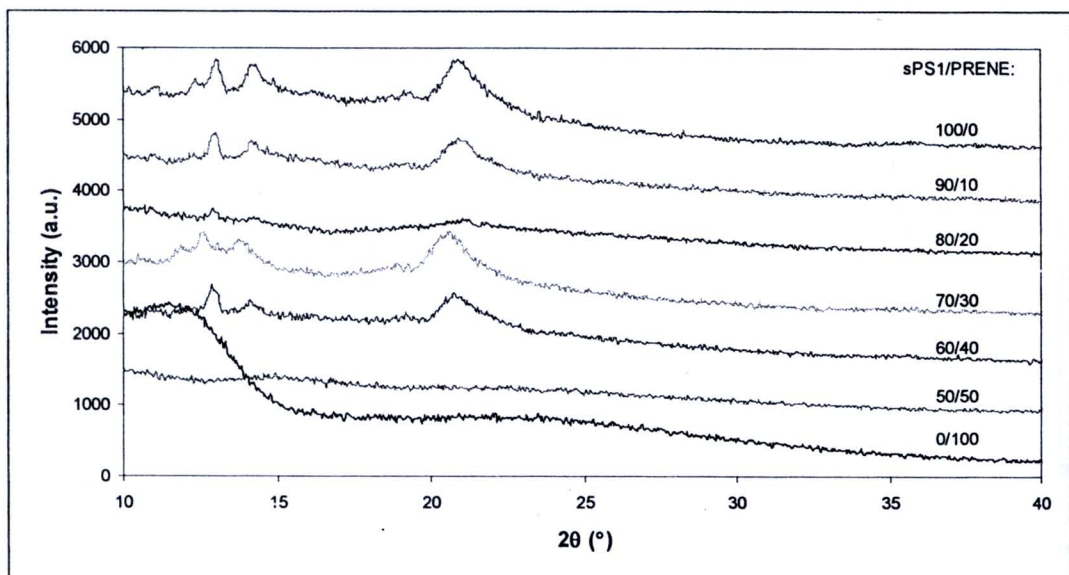


รูปที่ 1.13 X-ray diffractogram of sPS3/Poly(α -methylstyrene) blends at various compositions

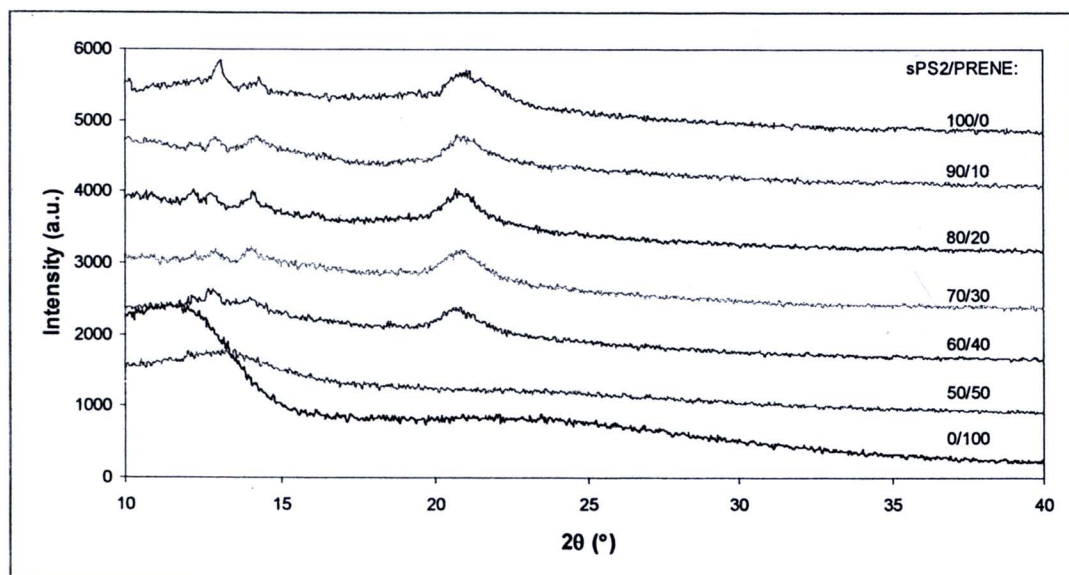
ตารางที่ 1.27 ค่าปริมาณความเป็นผลึกของ sPS/Poly(α -methylstyrene) ท่องค์ประกอบต่างๆ
 (% Crystallinity of sPS/Poly(α -methylstyrene) blends at various compositions)

sPS (weight fraction)	% Crystallinity		
	sPS1/P α	sPS2/P α	sPS3/P α
0.5	34.54	24.78	21.01
0.6	41.83	34.10	40.16
0.7	43.91	35.80	39.55
0.8	49.00	36.29	39.71
0.9	49.69	36.44	39.33
1.0	52.38	36.72	42.21

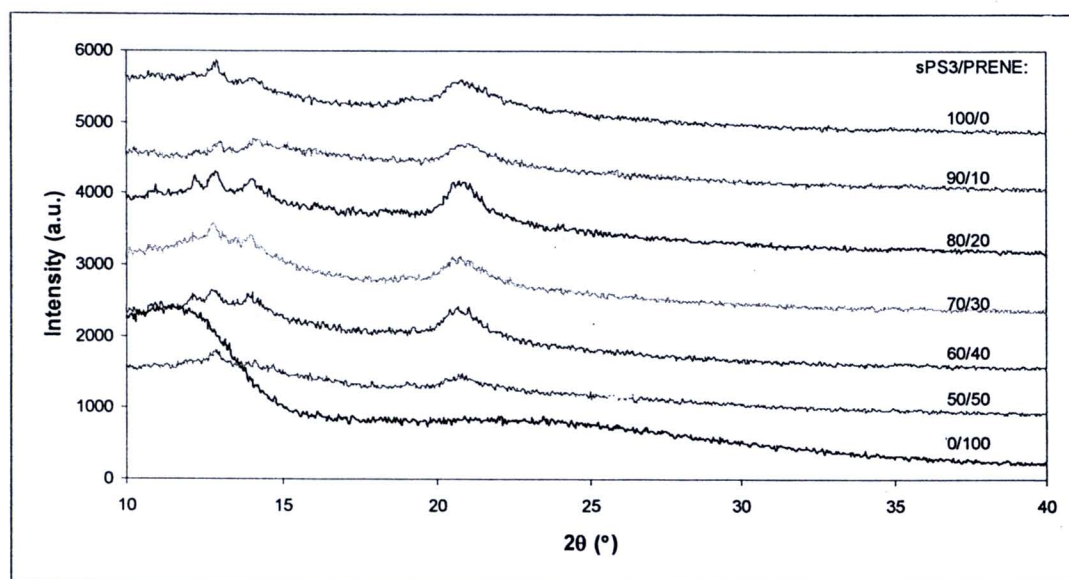
กราฟการกระเจิงแสงของพอลิเมอร์ชน Polyisoprene



รูปที่ 1.14 X-ray diffractogram of sPS1/Polyisoprene blends at various compositions



รูปที่ 1.15 X-ray diffractogram of sPS2/Polyisoprene blends at various compositions



รูปที่ 1.16 X-ray diffractogram of sPS3/Polyisoprene blends at various compositions



ตารางที่ 1.28 ค่าปริมาณความเป็นผลึกของ sPS/Polyisoprene ที่องค์ประกอบต่างๆ (%)
 Crystallinity of sPS/Polyisoprene blends at various compositions)

sPS (weight fraction)	% Crystallinity		
	sPS1/Prene	sPS2/Prene	sPS3/Prene
0.5	46.75	28.82	34.60
0.6	42.34	32.64	34.94
0.7	34.19	34.64	35.01
0.8	30.92	35.94	35.11
0.9	33.94	29.48	33.25
1.0	52.38	36.72	42.21

1.6 การแปรผลข้อมูล DSC และ XRD

1.6.1 ความสอดคล้องกันในด้านเบอร์เร็นต์ความเป็นผลึกของผล DSC และ XRD

เบอร์เร็นต์ความเป็นผลึกของชินดิโอเทคติกโพลิสไตรีนจะมีค่าลดลงเป็นล้มดับเมื่อเติมพอลิเมอร์ผสมในอัตราที่มากขึ้นซึ่งสอดคล้องกับผลการลดลงของอุณหภูมิหลอมผลึกใน การวัดครั้งแรก, T_m1 โดยจะมีค่าลดลงเรื่อยๆ เมื่อเพิ่มปริมาณพอลิเมอร์ผสมให้มากขึ้น ทั้งนี้อาจเนื่องจากพอลิเมอร์ผสมมีส่วนที่เป็นอสัญญาณมากขึ้นจากการเพิ่มพอลิเมอร์ที่สามารถเข้ากันได้ลงไป การวัดครั้งแรกของ DSC แสดงปริมาณและคุณภาพของผลึกที่สมดุลที่อุณหภูมิ 200°C แต่การวัดครั้งที่สองแสดงปริมาณและคุณภาพของผลึกที่มาจากการลดอุณหภูมิด้วยอัตราคงที่ ซึ่งจะให้ค่าที่อาจไม่เหมือนการวัดในครั้งแรก

นอกจากนี้เนื่องจากพอลิเมอร์ผสมจะเข้ากันได้ในส่วนที่เป็นอสัญญาณ การเพิ่มปริมาณพอลิเมอร์ที่มากสมกับชินดิโอเทคติกโพลิสไตรีน จะเป็นการเพิ่มปริมาณส่วนที่เป็นอสัญญาณโดยตรงซึ่งจะส่งผลถึงการลดลงของค่าอุณหภูมิคล้ายแก้วของพอลิเมอร์ผสม และการที่ต้องแบ่งปริมาณชินดิโอเทคติกโพลิสไตรีนลงเจือจางในส่วนที่เป็นอสัญญาณ จะทำให้ปริมาณความเป็นผลึกโดยรวมของชินดิโอเทคติกโพลิสไตรีนมีปริมาณลดลง ความสอดคล้องกันนี้จะสามารถเห็นได้จากการลดลงของอุณหภูมิคล้ายแก้วเมื่อเพิ่มปริมาณพอลิเมอร์ที่มากสม และการลดลงของความเป็นผลึกเมื่อเพิ่มปริมาณของพอลิเมอร์ที่มากสมอีกด้วย

1.6.2 ความสอดคล้องกันของอุณหภูมิคล้ายแก้วและความเป็นผลึกของส่วนอสัญญาณ จากสมการการทำงานค่าอุณหภูมิคล้ายแก้วของพอลิเมอร์ผสมของ Flory-Fox ดังจะสามารถแสดงได้โดยสมการ (1.1)

$$\text{Flory-Fox equation : } \frac{1}{T_g} = w_1 \frac{1}{T_{g1}} + w_2 \frac{1}{T_{g2}} \quad (1.1)$$

ซึ่งส่วนกลับของอุณหภูมิคล้ายแก้วของพอลิเมอร์ผสม จะเป็นสัดส่วนกับอุณหภูมิคล้ายแก้วขององค์ประกอบของพอลิเมอร์ผสมที่ถ่วงน้ำหนักตามปริมาณอัตราส่วนโดยน้ำหนักของพอลิเมอร์ที่เป็นองค์ประกอบทั้งสอง (w_1, w_2) ทั้งนี้เมื่อทราบค่าอุณหภูมิคล้ายแก้วของพอลิเมอร์ผสม (T_g) และของพอลิเมอร์บิสุทธิ์ทั้งสอง (T_{g1}, T_{g2}) และค่าอัตราส่วนน้ำหนักของพอลิเมอร์ที่มาผสม (w_2) ก็จะสามารถประมาณคร่าวๆ ได้ถึงปริมาณอัตราส่วนของชินดิโอเทคติกพอลิสไตรีนที่เป็นองค์ประกอบในส่วนที่เป็นสัญญาณ (w_1) ได้โดยคร่าวๆ ซึ่งจากปริมาณพอลิสไตรีนที่เป็นสัญญาณ จะสามารถประมาณเปอร์เซ็นต์ความเป็นผลึกของชินดิโอเทคติกพอลิสไตรีนได้ซึ่งเมื่อนำมาเทียบกับค่าที่วัดได้จาก XRD จะสามารถเบรี่ยนเทียบความเป็นผลึกของชินดิโอเทคติกพอลิสไตรีนได้ ดังจะสามารถแสดงได้ดังตารางดังต่อไปนี้

ตารางที่ 1.29 Weight fraction of sPS in amorphous from XRD and Flory-Fox equation of sPS/PBMA blends at various compositions

sPS (weight fraction)	sPS1/PBMA		sPS2/PBMA		sPS3/PBMA	
	XRD	Fox	XRD	Fox	XRD	Fox
0.5	0.3396	0.5974	0.2542	0.6053	0.3149	0.5762
0.6	0.4677	0.6039	0.4497	0.6198	0.4603	0.5951
0.7	0.5886	0.6138	0.5340	0.6218	0.5650	0.6009
0.8	0.6415	0.6202	0.6942	0.6289	0.6933	0.6144
0.9	0.8207	0.6416	0.8610	0.6459	0.8359	0.6248
1.0	1.0000	1.0000	1.0000	1.0000	1.0000	1.0000

ตารางที่ 1.30 Weight fraction of sPS in amorphous from XRD and Flory-Fox equation of sPS/PCHA blends at various compositions

sPS (weight fraction)	sPS1/PCHA		sPS2/PCHA		sPS3/PCHA	
	XRD	Fox	XRD	Fox	XRD	Fox
0.5	0.1348	0.5841	0.2306	0.5414	0.1389	0.4651
0.6	0.3763	0.6630	0.3852	0.5643	0.3715	0.4876
0.7	0.4935	0.7081	0.5373	0.5740	0.4970	0.5133
0.8	0.6799	0.7487	0.6942	0.5855	0.6643	0.5377
0.9	0.8364	0.7797	0.8466	0.6471	0.8430	0.5788
1.0	1.0000	1.0000	1.0000	1.0000	1.0000	1.0000

ตารางที่ 1.31 Weight fraction of sPS in amorphous from XRD and Flory-Fox equation of sPS/PEMA blends at various compositions

sPS (weight fraction)	sPS1/PEMA		sPS2/PEMA		sPS3/PEMA	
	XRD	Fox	XRD	Fox	XRD	Fox
0.5	0.3076	0.2555	0.2938	0.0908	0.2568	0.0448
0.6	0.4101	0.3158	0.4156	0.1174	0.3982	0.0897
0.7	0.5483	0.3441	0.5562	0.1599	0.5544	0.1255
0.8	0.7068	0.3500	0.6969	0.1873	0.7014	0.1554
0.9	0.8260	0.4384	0.8465	0.2326	0.8408	0.1826
1.0	1.0000	1.0000	1.0000	1.0000	1.0000	1.0000

ตารางที่ 1.32 Weight fraction of sPS in amorphous from XRD and Flory-Fox equation of sPS/Poly(α -methylstyrene) blends at various compositions

sPS (weight fraction)	sPS1/P α		sPS2/P α		sPS3/P α	
	XRD	Fox	XRD	Fox	XRD	Fox
0.5	0.2362	-0.3187	0.3353	-0.5459	0.3670	-1.7132
0.6	0.3123	0.1778	0.3930	-0.0092	0.3316	-1.2356
0.7	0.4652	0.5354	0.5327	0.1978	0.5037	-0.3744
0.8	0.6079	0.6325	0.6861	0.4813	0.6683	0.3502
0.9	0.8012	0.8103	0.8427	0.8317	0.8352	0.6510
1.0	1.0000	1.0000	1.0000	1.0000	1.0000	1.0000

ตารางที่ 1.33 Weight fraction of sPS in amorphous from XRD and Flory-Fox equation of sPS/Polyisoprene blends at various compositions

sPS (weight fraction)	sPS1/Prene		sPS2/Prene		sPS3/Prene	
	XRD	Fox	XRD	Fox	XRD	Fox
0.5	0.0611	0.8543	0.2976	0.7093	0.2354	0.7048
0.6	0.3063	0.8800	0.4062	0.7995	0.3852	0.7320
0.7	0.5441	0.8923	0.5410	0.8070	0.5384	0.7889
0.8	0.7105	0.8982	0.6878	0.8685	0.6918	0.8167
0.9	0.8486	0.9033	0.8582	0.8877	0.8502	0.8657
1.0	1.0000	1.0000	1.0000	1.0000	1.0000	1.0000

ทั้งนี้จะเห็นได้ว่ามีความสอดคล้องกันในทิศทางของปริมาณชินดิโอเทคติกพอยลิสไตรีนที่เป็นองค์ประกอบของสัญญาณซึ่งจะมีค่าลดลงเมื่อปริมาณพอลิเมอร์ที่มาผสมมีปริมาณโดยน้ำหนักมากขึ้น แต่อย่างไรก็ตามสมการของ Fox เป็นเพียงสมการที่แสดงแนวโน้มของทิศทางของอุณหภูมิคล้ายแก้วเท่านั้น ค่าที่คำนวณได้จึงมีค่าผิดไปจากค่าที่ได้รับจาก XRD ซึ่งจะมีความแม่นยำกว่า

นอกจากนี้ในการคำนวณปริมาณความเป็นผลลัพธ์จาก Fox จะเห็นได้อย่างชัดเจนว่าไม่สามารถประมาณความเป็นผลลัพธ์ของพอลิเมอร์ผสมของ Poly(α -methyl-Styrene) ได้ทั้งนี้เนื่องจากสมการของ Fox ไม่สามารถประมาณความเสริมแรง (Synergistic) ของพอลิเมอร์ผสมที่

มีค่าอุณหภูมิคล้ายแก้วที่เปลี่ยนไปจากค่าเฉลี่ยโดยน้ำหนักของสารบริสุทธิ์ได้ ซึ่งอาจให้ค่าการประมวลที่เป็นลบได้ดังแสดง และทั้งนี้อาจเนื่องมาจากการที่ Poly(α -methyl-Styrene) มีอุณหภูมิคล้ายแก้วใกล้เคียงกับชนิดไฮเดรติกโพลิสไตรีนอีกส่วนหนึ่งด้วย

1.6.3 ลักษณะความเป็นผลึกของชินดิไฮเดรติกโพลิสไตรีน

โดยปกติแล้วผลึกของชินดิไฮเดรติกโพลิสไตรีนสามารถอยู่ในรูปแบบต่างๆได้ ซึ่งขึ้นกับการจัดเรียงตัวของโมเลกุล ซึ่งโดยทั่วไปแล้วจะสามารถตรวจหาลักษณะของผลึกได้จากการทำ XRD ดังเช่น ผลึกชนิด α จะมีการกระเจิงแสงที่ 2θ เท่ากับ 11.6 และ 12.2 องศา ซึ่งจากข้อมูลที่ได้ จะแสดงให้เห็นว่าผลึกส่วนใหญ่ที่ตรวจพบไม่ใช่ผลึกชนิด α เนื่องจากการกระเจิงแสงที่มุ่งดังกล่าวมีค่าน้อยมาก

ผลการทดลอง ตอนที่สอง

2.1 การสังเคราะห์ชินดิโอเทคติกพอลิสไตรีน

ในที่นี้จะใช้ตัวเร่งปฏิกิริยา เพนตะเมธิลไซโคเลเพนตะไดอินิลไทเกเนียมไทรคลอไรด์ (Penta methyl cyclopentadienyl titanium trichloride (Cp^*TiCl_3)) โดยมีตัวเร่งปฏิกิริยาร่วมคือ เมธิลอลูминออกเซนที่ผ่านการดัดแปลง (modified-methylaluminoxane (MMAO)) สามารถในการสังเคราะห์สามารถสรุปได้ดังตารางที่

ตารางที่ 2.1 Polymerization of Styrene using Cp^*TiCl_3 with MMAO^a

% Yield ^b	72.67 wt %
Catalytic Activity	5,084.67 g PS/mmole Ti·hr
% Syndiotactic Index	93.38 %
M_w^c	1,943,500 g/mole
M_n^c	592,300 g/mole
Molecular weight distribution (MWD) ^c	3.3
T_g^d	97.90 °C
T_m^d	271.41 °C

^aConditions; $[Cp^*TiCl_3] = 3.68 \times 10^{-4}$ M, [MMAO] = 1.83 M, [Styrene] = 2.06, Al/Ti = 563, 25 °C

^bCalculated from (weight of synthesized polymer/weight of monomer) × 100

^cObtained from GPC and MWD was calculated from M_w/M_n

^dObtained from DSC

2.2 การเข้าเป็นเนื้อดียวกันของชินดิโอเทคติกพอลิสไตรีน

การเข้าเป็นเนื้อดียวกันของชินดิโอเทคติกพอลิสไตรีนสามารถตรวจวัดได้ โดยใช้การพิจารณาอุณหภูมิคล้ายแก้วของพอลิเมอร์ผสม นอกจากนี้ในการทดลองนี้ชินดิโอเทคติกพอลิสไตรีนผสมจะทำการผสมแบบหลอมเหลว (ซึ่งในการทดลองตอนที่แล้วใช้การผสมโดยใช้ตัวทำละลายร่วม) และมีการผสมผลึกเหลวมวลไม่เกินครึ่ง (LCC) หรือสารหล่อลื่น (Lubricant) ซึ่งในที่นี้จะใช้กลีเซอรอลโมโนสเตอเริฟท์ (GMS) ในปริมาณที่เท่ากับ LCC เพื่อเป็นการเปรียบเทียบอีกด้วย

ในการทดลองนี้จะใช้พอลิเมอร์ทั้งหมดหกชนิดเพื่อนำมาผสานกับชิบดิโอดีคติกพอลิสไตร์น (sPS) ดังจะสามารถสรุปได้ดังนี้

ระบบที่ 1: SPS และ poly(α -methyl styrene), (PaMS)

ระบบที่ 2: SPS และ poly (ethyl methacrylate), (PEMA)

ระบบที่ 3: SPS และ poly(*n*-butyl methacrylate), (PBMA)

ระบบที่ 4: SPS และ poly(cyclohexyl acrylate), (PCHA)

ระบบที่ 5: SPS และ poly(*cis*-isoprene), (PIP)

ระบบที่ 6: SPS และ poly(vinyl methyl ether), (PVME)

ในขั้นนี้การทดลองจะใช้ Differential Scanning Calorimeter (DSC) เพื่อตรวจวัด อุณหภูมิคล้ายแก้ว (Tg) , อุณหภูมิหลอมละลายผลึก (Tm) , และอุณหภูมิก่อตัวของผลึก (Tc) ซึ่ง จะตรวจวัดในช่วงอุณหภูมิระหว่าง 50°C ถึง 300°C ด้วยอัตราความเร็ว 20°C/min โดยจะทำการตรวจวัดในช่วงเพิ่มอุณหภูมิสองครั้ง คือทำการตรวจวัดในช่วงเพิ่มอุณหภูมิครั้งที่หนึ่ง และทำการตรวจวัดในช่วงลดอุณหภูมิ จากนั้นจะทำการตรวจวัดในช่วงเพิ่มอุณหภูมิครั้งที่สอง นอกจากนี้ ก่อนการตรวจวัดโดย DSC ตัวอย่างจะถูกทำให้หลอมละลายอีกครั้งที่อุณหภูมิ 300°C แล้วนำมา พักอบไว้ที่อุณหภูมิ 200°C เป็นเวลา 10 นาที ทั้งนี้เพื่อที่จะลบความทรงจำของพอลิเมอร์โดยการ หลอมละลาย และทำให้เกิดการก่อตัวที่อุณหภูมิคงที่ (200°C) เพื่อทำการตรวจวัดอุณหภูมิต่างๆ จากพอลิเมอร์ที่มีประวัติการให้ความร้อนที่เป็นไปในทางเดียวกัน

จากภาพโดยรวมจะเห็นได้ว่าค่า Tg ของการให้ความร้อนต่อพอลิเมอร์ผสมในครั้งที่หนึ่ง จะมีสองค่าซึ่งแสดงถึงการแยกเฟสของพอลิเมอร์ผสมสองชนิด ทั้งนี้อาจเนื่องจากการผสมโดยวิธี หลอมละลายยังไม่สามารถผสมพอลิเมอร์ทั้งสอง (sPS และพอลิเมอร์อีกชนิดดังที่ได้กล่าวมาแล้ว) ให้เป็นเนื้อเดียวกันได้โดยสมบูรณ์ แต่อย่างไรก็ได้มีอพอลิเมอร์ผสมผ่านการหลอมละลายภายใน DSC แล้ว จากการตรวจวัดครั้งที่สองจะพบว่าค่า Tg ของพอลิเมอร์ผสมจะมีเพียงค่าเดียว ทั้งนี้ อาจเนื่องจากการเข้าเป็นเนื้อเดียวกันของพอลิเมอร์ทั้งสอง ทำให้ค่า Tg ที่ตรวจวัดได้มีปรากฏ เพียงค่าเดียว การผสมโดยการให้ความร้อนหลอมละลายอาจไม่เหมาะสมกับการผสมพอลิเมอร์ จำนวนน้อยๆ แต่อย่างไรก็ตามนี้เป็นวิธีที่ใช้ในการผสมพอลิเมอร์ในอุตสาหกรรม การทดสอบบึง ส่งผลต่อการผลิตในทางอุตสาหกรรมโดยตรง

2.3 การผสมกับ PaMS

การวัดโดย DSC สามารถแสดงได้ดังในตาราง ซึ่งจะเห็นได้ว่าในการวัดระหว่างการเพิ่มอุณหภูมิครั้งแรก (T_g1) จะสามารถตรวจพบสอง T_g ดังแสดงได้โดย ($T_g1.1$, $T_g1.2$) แต่อย่างไรก็ดีในการตรวจวัดโดยการเพิ่มอุณหภูมิครั้งที่สอง จะสามารถตรวจพบได้ค่า T_g2 เพียงค่าเดียวจากที่ได้กล่าวมาแล้ว วิธีในการผสมจะมีผลต่อลักษณะของโพลิเมอร์ที่ได้ นอกจากนี้การเพิ่มอัตราส่วนของ sPS ยังจะทำให้ค่า T_g2 เปลี่ยนแปลงไปโดยจะเพิ่มจาก T_g ของ PaMS บริสุทธิ์จนกระทั่งมีค่าสูงถึง T_g ของ sPS บริสุทธิ์ นอกจากนี้ ค่าความร้อนในการหลอมละลายผลึก (ΔH_m) จะมีค่าเพิ่มขึ้นเมื่อเพิ่มปริมาณ sPS ในโพลิเมอร์ผสม และถึงการลดความเป็นผลึกของโพลิเมอร์ผสมเมื่อมีปริมาณ PaMS เพิ่มขึ้นอีกด้วย

ตารางที่ 2.2 Glass transition temperature (T_g), melting temperature (T_m), crystallization temperature (T_c) and melting enthalpy of SPS/PaMS blends

%SPS	$T_g1.1$ (°C)	$T_g1.2$ (°C)	T_g2 (°C)	T_m1 (°C)	$T_m2.1$ (°C)	$T_m2.2$ (°C)	T_c (°C)	ΔH_m (J/g)
100	n.a.	98.18	97.90	269.99	271.41	264.06	242.66	25.73
80	78.29	96.54	94.03	266.06	266.34	n.a	237.91	22.54
60	77.68	92.29	87.90	263.13	263.87	n.a	233.35	20.33
40	76.32	92.45	86.95	260.85	261.05	n.a	232.46	11.74
20	76.98	98.53	85.61	259.26	260.59	n.a	230.78	10.90
0	87.33	n.a.	87.33	n.a	n.a	n.a	n.a	n.a

n.a. = not available

ผลการตรวจวัดพอลิเมอร์สมที่เติม LCC และ GMS สามารถแสดงได้ดังตาราง ซึ่งจะเห็นได้ว่าการเพิ่ม LCC หรือ GMS ไม่ส่งผลต่อการเปลี่ยนแปลง T_g , T_m ได้โดยเด่นชัด แนวโน้มโดยรวมจะเหมือนกับพอลิเมอร์สมดังที่ได้กล่าวมาแล้ว ทั้งนี้อาจเนื่องจากปริมาณ LCC หรือ GMS มีปริมาณน้อยมากและไม่สามารถผนวกส่วนได้อย่างดีในที่มีสารตัวอย่างน้อย

ตารางที่ 2.3 Glass transition temperature (T_g), melting temperature (T_m), crystallization temperature (T_c) and melting enthalpy of SPS/PaMS/LCC blends

%SPS	T_g 1.1 (°C)	T_g 1.2 (°C)	T_g 2 (°C)	T_m 1 (°C)	T_m 2 (°C)	T_m 2.2 (°C)	T_c (°C)	ΔH_m (J/g)
100	n.a	97.84	97.73	269.13	270.57	262.51	239.06	23.91
80	78.39	94.83	93.59	266.85	267.12	n.a	239.47	21.62
60	78.12	93.59	88.48	264.95	265.63	n.a	235.92	20.10
40	77.79	95.09	87.74	263.65	263.61	n.a	235.38	19.14
20	77.94	96.74	84.81	263.45	263.54	n.a	234.11	15.68
0	89.81	n.a	89.81	n.a	n.a	n.a	n.a	n.a

n.a. = not available

ตารางที่ 2.4 Glass transition temperature (T_g), melting temperature (T_m), crystallization temperature (T_c) and melting enthalpy of SPS/PaMS/GMS blends

%SPS	T_g 1.1 (°C)	T_g 1.2 (°C)	T_g 2 (°C)	T_m 1 (°C)	T_m 2.1 (°C)	T_m 2.2 (°C)	T_c (°C)	ΔH_m (J/g)
100	n.a	99.66	99.25	270.62	271.01	263.30	240.64	24.60
80	79.44	94.82	93.26	267.82	268.57	n.a	236.41	22.94
60	78.36	92.12	88.25	265.25	265.60	n.a	232.46	20.57
40	79.53	94.89	87.36	263.18	262.90	n.a	229.66	16.54
20	77.69	95.69	86.04	260.76	261.87	n.a	225.71	11.49
0	89.89	n.a	89.89	n.a	n.a	n.a	n.a	n.a

n.a. = not available

2.4 การผสมกับ PEMA

การผสมเป็นเนื้อเดียวกันได้กับ PEMA สามารถแสดงได้ดังตาราง โดยจะสามารถสังเกตได้จากการเพิ่มขึ้นของ T_g ของพอลิเมอร์ผสมเมื่อเพิ่มปริมาณ sPS และ การมี T_g เพียงค่าเดียว การเพิ่มอุณหภูมิครั้งแรก (T_g1) จะสามารถตรวจพบสอง T_g ดังแสดงได้โดย ($T_{g1.1}$, $T_{g1.2}$) แต่อย่างไรก็ได้ในการตรวจวัดโดยการเพิ่มอุณหภูมิครั้งที่สอง จะสามารถตรวจพบได้ค่า T_{g2} เพียงค่าเดียว จากที่ได้กล่าวมาแล้ว วิธีในการผสมจะมีผลต่อลักษณะของพอลิเมอร์ที่ได้ นอกจากนี้การเพิ่มอัตราส่วนของ sPS ยังจะทำให้ค่า T_{g2} เปลี่ยนแปลงไปโดยจะเพิ่มจาก T_g ของ PEMA บริสุทธิ์จนกระทั่งมีค่าสูงถึง T_g ของ sPS บริสุทธิ์ นอกจากนี้ ค่าความร้อนในการลดคลาดผลึก (ΔH_m) จะมีค่าเพิ่มขึ้นเมื่อเพิ่มปริมาณ sPS ในพอลิเมอร์ผสม แสดงถึงการลดความเป็นผลึกของพอลิเมอร์ผสมเมื่อมีปริมาณ PEMA เพิ่มขึ้นอีกด้วย

ตารางที่ 2.5 Glass transition temperature (T_g), melting temperature (T_m), crystallization temperature (T_c) and melting enthalpy of SPS/PEMA blends

%SPS	$T_{g1.1}$ (°C)	$T_{g1.2}$ (°C)	T_{g2} (°C)	T_m1 (°C)	$T_m2.1$ (°C)	$T_m2.2$ (°C)	T_c (°C)	ΔH_m (J/g)
100	n.a.	98.18	97.90	269.99	271.41	264.06	242.66	25.72
80	75.63	95.95	95.43	269.70	270.06	n.a.	239.44	23.64
60	91.29	91.29	91.17	269.54	269.22	n.a.	238.12	23.92
40	86.38	86.38	88.71	269.26	269.41	n.a.	238.19	20.51
20	62.24	92.12	80.70	267.66	267.61	n.a.	234.07	15.77
0	65.54	n.a.	65.54	n.a.	n.a.	n.a.	n.a.	n.a.

n.a. = not available

ผลการตรวจวัดพอลิเมอร์ผสมที่เติม LCC และ GMS สามารถแสดงได้ดังตาราง ซึ่งจะเห็นได้ว่าการเพิ่ม LCC หรือ GMS ไม่ส่งผลต่อการเปลี่ยนแปลง T_g , T_m ได้โดยเด่นชัด แนวโน้มโดยรวมจะเหมือนกับพอลิเมอร์ผสมดังที่ได้กล่าวมาแล้ว ทั้งนี้อาจเนื่องจากปริมาณ LCC หรือ GMS มีปริมาณน้อยมากและไม่สามารถกวนผสมได้อย่างดีในที่มีสารตัวอย่างน้อย

ตารางที่ 2.6 Glass transition temperature (T_g), melting temperature (T_m), crystallization temperature (T_c) and melting enthalpy of SPS/PEMA/LCC blends

%SPS	T_g 1.1 (°C)	T_g 1.2 (°C)	T_g 2 (°C)	T_m 1 (°C)	T_m 2.1 (°C)	T_m 2.2 (°C)	T_c (°C)	ΔH_m (J/g)
100	n.a.	98.26	97.88	269.13	270.57	262.51	239.06	23.91
80	69.39	95.32	95.18	268.55	268.58	n.a.	234.00	22.14
60	67.40	90.16	90.29	265.74	266.52	n.a.	232.40	19.38
40	66.78	66.78	87.42	266.76	267.15	n.a.	230.42	16.40
20	62.76	62.76	79.94	263.95	265.75	n.a.	223.43	7.60
0	52.94	n.a.	62.72	n.a.	n.a.	n.a.	n.a.	n.a.

n.a. = not available

ตารางที่ 2.7 Glass transition temperature (T_g), melting temperature (T_m), crystallization temperature (T_c) and melting enthalpy of SPS/PEMA/GMS blends

%SPS	T_g 1.1 (°C)	T_g 1.2 (°C)	T_g 2 (°C)	T_m 1 (°C)	T_m 2.1 (°C)	T_m 2.2 (°C)	T_c (°C)	ΔH_m (J/g)
100	n.a.	99.66	99.25	270.62	271.01	263.30	240.64	24.60
80	95.51	95.51	95.72	269.29	270.03	n.a.	239.29	22.28
60	67.55	95.28	90.06	266.87	268.02	n.a.	236.19	18.27
40	67.27	92.43	86.15	268.42	268.02	n.a.	233.15	17.91
20	60.07	86.94	80.57	266.15	266.92	n.a.	223.89	12.05
0	61.38	n.a.	58.82	n.a.	n.a.	n.a.	n.a.	n.a.

n.a. = not available

2.5 การผสมกับ PBMA

การผสมเป็นเนื้อเดียวกันได้กับ PBMA สามารถแสดงได้ดังตาราง โดยจะสามารถสังเกตได้จากการเพิ่มขึ้นของ T_g ของพอลิเมอร์ผสมเมื่อเพิ่มปริมาณ SPS และ การมี T_g เพียงค่าเดียว การเพิ่มอุณหภูมิครั้งแรก (T_g 1) จะสามารถตรวจสอบ T_g ดังแสดงได้โดย (T_g 1.1, T_g 1.2) แต่อย่างไรก็ได้ในการตรวจสอบโดยการเพิ่มอุณหภูมิครั้งที่สอง จะสามารถตรวจสอบได้ค่า T_g 2 เพียงค่าเดียว จากที่ได้กล่าวมาแล้ว วิธีในการผสมจะมีผลต่อลักษณะของโพลิเมอร์ที่ได้ นอกจากนี้การเพิ่ม

อัตราส่วนของ sPS ยังจะทำให้ค่า T_g 2 เปลี่ยนแปลงไปโดยจะเพิ่มจาก T_g ของ PBMA บริสุทธิ์ จนกระทั่งมีค่าสูงถึง T_g ของ sPS บริสุทธิ์ นอกจากนี้ ค่าความร้อนในการหลอมละลายผลึก (ΔH_m) จะมีค่าเพิ่มขึ้นเมื่อเพิ่มปริมาณ sPS ในพอลิเมอร์ผสม แสดงถึงการลดความเป็นผลึกของ พอลิเมอร์ผสมเมื่อมีปริมาณ PBMA เพิ่มขึ้นอีกด้วย

ตารางที่ 2.8 Glass transition temperature (T_g), melting temperature (T_m), crystallization temperature (T_c) and melting enthalpy of SPS/PBMA blends

%SPS	T_g 1.1 (°C)	T_g 1.2 (°C)	T_g 2 (°C)	T_m 1 (°C)	T_m 2.1 (°C)	T_m 2.2 (°C)	T_c (°C)	ΔH_m (J/g)
100	n.a.	98.18	97.90	269.99	271.41	264.06	242.66	25.72
80	79.21	96.13	94.81	269.48	270.24	n.a.	240.53	25.57
60	66.92	95.71	93.33	269.43	270.55	n.a.	238.37	23.19
40	77.14	96.80	89.36	268.13	268.89	n.a.	238.48	22.42
20	68.89	94.13	84.32	267.41	266.99	n.a.	234.39	21.14
0	31.85	n.a.	31.85	n.a.	n.a.	n.a.	n.a.	n.a.

n.a. = not available

ผลการตรวจวัดพอลิเมอร์ผสมที่เติม LCC และ GMS สามารถแสดงได้ดังตาราง ซึ่งจะเห็นได้ว่าการเพิ่ม LCC หรือ GMS ไม่ส่งผลกระทบต่อการเปลี่ยนแปลง T_g , T_m ได้โดยเด่นชัด แนวโน้มโดยรวมจะเหมือนกับพอลิเมอร์ผสมดังที่ได้กล่าวมาแล้ว ทั้งนี้อาจเนื่องจากปริมาณ LCC หรือ GMS มีปริมาณน้อยมากและไม่สามารถกวนผสมได้อย่างดีในที่มีสารตัวอย่างน้อย

ตารางที่ 2.9 Glass transition temperature (T_g), melting temperature (T_m), crystallization temperature (T_c) and melting enthalpy of SPS/PBMA/LCC blends

%SPS	T_g 1.1 (°C)	T_g 1.2 (°C)	T_g 2 (°C)	T_m 1 (°C)	T_m 2.1 (°C)	T_m 2.2 (°C)	T_c (°C)	ΔH_m (J/g)
100	n.a.	97.84	97.73	269.13	270.57	262.51	239.06	23.91
80	74.88	97.66	94.02	268.07	268.48	n.a.	238.07	24.20
60	70.74	93.89	91.69	267.22	267.34	n.a.	235.79	22.52
40	75.45	95.15	90.79	267.41	268.23	n.a.	235.65	21.83
20	72.51	93.99	85.30	266.98	267.40	n.a.	234.39	21.68
0	29.85	n.a.	29.85	n.a.	n.a.	n.a.	n.a.	n.a.

n.a. = not available

ตารางที่ 2.10 Glass transition temperature (T_g), melting temperature (T_m), crystallization temperature (T_c) and melting enthalpy of SPS/PBMA/GMS blends

%SPS	T_g 1.1 (°C)	T_g 1.2 (°C)	T_g 2 (°C)	T_m 1 (°C)	T_m 2.1 (°C)	T_m 2.2 (°C)	T_c (°C)	ΔH_m (J/g)
100	n.a.	99.66	99.25	270.62	271.01	263.30	240.64	24.60
80	74.85	95.93	93.98	267.29	267.70	n.a.	237.58	20.77
60	72.36	97.89	91.84	268.13	268.14	n.a.	236.75	20.93
40	69.73	91.32	89.51	266.94	266.97	n.a.	235.57	20.02
20	69.72	92.54	84.90	266.60	267.00	n.a.	234.82	19.85
0	29.88	n.a.	29.88	n.a.	n.a.	n.a.	n.a.	n.a.

n.a. = not available

2.6 การผสมกับ PCHA

การผสมเป็นเนื้อเดียวกันได้กับ PCHA สามารถแสดงได้ดังตาราง โดยจะสามารถสังเกตได้จากการเพิ่มขึ้นของ T_g ของพอลิเมอร์ผสมเมื่อเพิ่มปริมาณ SPS และ การมี T_g เพียงค่าเดียว การเพิ่มอุณหภูมิครั้งแรก (T_g 1) จะสามารถตรวจพบสอง T_g ดังแสดงได้โดย (T_g 1.1, T_g 1.2) แต่อย่างไรก็ได้ในการตรวจวัดโดยการเพิ่มอุณหภูมิครั้งที่สอง จะสามารถตรวจสอบได้ค่า T_g 2 เพียงค่า

เดียว จากที่ได้กล่าวมาแล้ว วิธีในการทดสอบจะมีผลต่ออักษรของโพลิเมอร์ที่ได้ นอกจากนี้การเพิ่มอัตราส่วนของ sPS ยังจะทำให้ค่า T_g 2 เปลี่ยนแปลงไปโดยจะเพิ่มจาก T_g ของ PCHA บริสุทธิ์จนกระทั่งมีค่าสูงถึง T_g ของ sPS บริสุทธิ์ นอกจากนี้ ค่าความร้อนในการหลอมละลายผลึก (ΔH_m) จะมีค่าเพิ่มขึ้นเมื่อเพิ่มปริมาณ sPS ในพอลิเมอร์ผสม แสดงถึงการลดความเป็นผลึกของพอลิเมอร์ผสมเมื่อมีปริมาณ PCHA เพิ่มขึ้นอีกด้วย

ตารางที่ 2.11 Glass transition temperature (T_g), melting temperature (T_m), crystallization temperature (T_c) and melting enthalpy of SPS/PCHA blends

%SPS	T_g 1.1 (°C)	T_g 1.2 (°C)	T_g 2 (°C)	T_m 1 (°C)	T_m 2.1 (°C)	T_m 2.2 (°C)	T_c (°C)	ΔH_m (J/g)
100	n.a.	98.18	97.90	269.99	271.41	264.06	242.66	25.72
80	66.84	94.02	90.21	268.24	268.23	n.a.	234.80	18.53
60	51.86	95.33	87.80	268.63	268.22	n.a.	233.51	15.05
40	44.61	85.88	78.40	268.46	268.04	n.a.	229.28	14.20
20	53.5	91.92	57.86	266.98	266.51	n.a.	225.16	12.05
0	25.49	n.a.	25.49	n.a.	n.a.	n.a.	n.a.	n.a.

n.a. = not available

ผลการตรวจวัดพอลิเมอร์ผสมที่เติม LCC และ GMS สามารถแสดงได้ดังตาราง ซึ่งจะเห็นได้ว่าการเพิ่ม LCC หรือ GMS ไม่ส่งผลต่อการเปลี่ยนแปลง T_g , T_m ได้โดยเด่นชัด แนวโน้มโดยรวมจะเหมือนกับพอลิเมอร์ผสมดังที่ได้กล่าวมาแล้ว ทั้งนี้อาจเนื่องจากปริมาณ LCC หรือ GMS มีปริมาณน้อยมากและไม่สามารถทดสอบได้อย่างดีในที่มีสารตัวอย่างน้อย



ตารางที่ 2.12 Glass transition temperature (T_g), melting temperature (T_m), crystallization temperature (T_c) and melting enthalpy of SPS/PCHA/LCC blends

%SPS	T_g 1.1 (°C)	T_g 1.2 (°C)	T_g 2 (°C)	T_m 1 (°C)	T_m 2.1 (°C)	T_m 2.2 (°C)	T_c (°C)	ΔH_m (J/g)
100	n.a.	97.84	97.73	269.13	270.57	262.51	239.06	23.91
80	64.76	92.49	87.09	264.14	265.38	n.a.	229.86	18.74
60	53.75	90.62	86.20	264.90	264.89	n.a.	229.77	15.52
40	49.22	98.84	80.61	266.58	265.76	n.a.	227.27	10.18
20	53.72	89.82	56.23	264.45	264.09	n.a.	225.54	6.46
0	26.46	n.a.	26.46	n.a.	n.a.	n.a.	n.a.	n.a.

n.a. = not available

ตารางที่ 2.13 Glass transition temperature (T_g), melting temperature (T_m), crystallization temperature (T_c) and melting enthalpy of SPS/PCHA/GMS blends

%SPS	T_g 1.1 (°C)	T_g 1.2 (°C)	T_g 2 (°C)	T_m 1 (°C)	T_m 2.1 (°C)	T_m 2.2 (°C)	T_c (°C)	ΔH_m (J/g)
100	n.a.	99.66	99.25	270.62	271.01	263.30	240.64	24.60
80	51.19	94.19	90.26	269.08	268.03	n.a.	233.13	17.54
60	49.27	93.44	88.77	268.62	267.37	n.a.	228.48	16.02
40	47.08	90.07	80.75	266.50	266.08	n.a.	225.14	11.60
20	50.49	90.44	58.57	266.93	267.05	n.a.	225.13	6.16
0	25.29	n.a.	25.29	n.a.	n.a.	n.a.	n.a.	n.a.

n.a. = not available

2.7 การผสมกับ PIP

การผสมเป็นเนื้อเดียวกันได้กับ PIP สามารถแสดงได้ดังตาราง โดยจะสามารถสังเกตได้จากการเพิ่มขึ้นของ T_g ของพอลิเมอร์ผสมเมื่อเพิ่มปริมาณ SPS และ การมี T_g เพียงค่าเดียว การเพิ่มอุณหภูมิครั้งแรก (T_g1) จะสามารถตรวจพบสอง T_g ดังแสดงได้โดย ($T_g1.1$, $T_g1.2$) แต่อย่างไรก็ต้องทำการตรวจสอบ T_g ที่สอง จะสามารถตรวจสอบได้ค่า T_g2 เพียงค่าเดียว จากที่ได้กล่าวมาแล้ว วิธีในการผสมจะมีผลต่อลักษณะของโพลิเมอร์ที่ได้ นอกจากนี้การเพิ่ม

อัตราส่วนของ sPS ยังจะทำให้ค่า T_{g2} เปลี่ยนแปลงไปโดยจะเพิ่มจาก T_g ของ PIP บริสุทธิ์ จนกระทั่งมีค่าสูงถึง T_g ของ sPS บริสุทธิ์ นอกจากนี้ ค่าความร้อนในการหลอมละลายผลึก (ΔH_m) จะมีค่าเพิ่มขึ้นเมื่อเพิ่มปริมาณ sPS ในพอลิเมอร์ผสม แสดงถึงการลดความเป็นผลึกของ พอลิเมอร์ผสมเมื่อมีปริมาณ PIP เพิ่มขึ้นอีกด้วย

ตารางที่ 2.14 Glass transition temperature (T_g), melting temperature (T_m), crystallization temperature (T_c) and melting enthalpy of SPS/PIP blends

%SPS	T _g 1 (°C)	T _g 2 (°C)	T _m 1 (°C)	T _m 2.1 (°C)	T _m 2.2 (°C)	T _c (°C)	ΔH_m (J/g)
100	98.18	97.90	269.99	271.41	264.06	242.66	25.72
80	64.12	86.61	267.85	268.86	n.a.	228.46	18.04
60	58.14	80.16	266.55	267.48	n.a.	223.09	15.22
40	44.25	65.96	264.57	266.69	n.a.	220.18	15.02
20	42.40	56.38	264.00	265.46	n.a.	219.75	14.06
0	-32.93	-32.93	n.a.	n.a.	n.a.	n.a.	n.a.

n.a. = not available

ผลการตรวจวัดพอลิเมอร์ผสมที่เติม LCC และ GMS สามารถแสดงได้ดังตาราง ซึ่งจะเห็นได้ว่าการเพิ่ม LCC หรือ GMS ไม่ส่งผลต่อการเปลี่ยนแปลง T_g, T_m ได้โดยเด่นชัด แนวโน้มโดยรวมจะเหมือนกับพอลิเมอร์ผสมดังที่ได้กล่าวมาแล้ว ทั้งนี้อาจเนื่องจากปริมาณ LCC หรือ GMS มีปริมาณน้อยมากและไม่สามารถก่อผลให้อุ่นตัวอย่างน้อย

ตารางที่ 2.15 Glass transition temperature (T_g), melting temperature (T_m), crystallization temperature (T_c) and melting enthalpy of SPS/PIP/LCC blends

%SPS	T_g 1 (°C)	T_g 2 (°C)	T_m 1 (°C)	T_m 2.1 (°C)	T_m 2.2 (°C)	T_c (°C)	ΔH_m (J/g)
100	98.26	97.88	269.13	270.57	262.51	239.06	23.91
80	64.90	87.12	265.94	266.39	n.a.	225.56	17.58
60	59.40	81.98	265.45	266.88	n.a.	221.20	15.74
40	44.42	69.77	263.04	265.42	n.a.	215.38	10.72
20	38.38	56.88	262.12	264.58	n.a.	213.50	9.68
0	-33.84	-33.87	n.a.	n.a.	n.a.	n.a.	n.a.

n.a. = not available

ตารางที่ 2.16 Glass transition temperature (T_g), melting temperature (T_m), crystallization temperature (T_c) and melting enthalpy of SPS/PIP/GMS blends

%SPS	T_g 1 (°C)	T_g 2 (°C)	T_m 1 (°C)	T_m 2.1 (°C)	T_m 2.2 (°C)	T_c (°C)	ΔH_m (J/g)
100	99.66	99.25	270.62	271.01	263.30	240.64	24.60
80	61.64	90.07	265.89	266.87	n.a.	221.65	18.38
60	58.03	82.75	264.47	265.91	n.a.	221.68	15.59
40	49.9	66.50	264.93	265.42	n.a.	218.74	15.01
20	35.03	53.00	262.07	264.48	n.a.	217.33	5.31
0	-30.74	-30.74	n.a.	n.a.	n.a.	n.a.	n.a.

n.a. = not available

2.8 การผสมกับ PVME

จากข้อมูลการทดลอง แสดงให้เห็นถึงการไม่เป็นเนื้อดียกันเมื่อผสม sPS กับ PVME ทั้งนี้อาจสังเกตได้จากการที่มี T_g ถึงสองค่าในการตรวจวัดในครั้งที่สอง และการที่ sPS มี T_m ที่ไม่เปลี่ยนแปลงไปเมื่อเพิ่มปริมาณ sPS ถึงแม้ว่าค่า T_c จะเปลี่ยนแปลงไปบ้างเมื่อเพิ่มปริมาณ PVME นอกจากนี้การเปลี่ยนแปลง T_g เมื่อปริมาณ PVME เปลี่ยนไปมีค่าการเปลี่ยนแปลงที่น้อย โดยเกือบจะไม่เปลี่ยนแปลงไปจากค่า T_g ของพอลิเมอร์บริสุทธิ์ทั้งในด้านของ sPS หรือ PVME

การเข้ากันไม่ได้นี้อาจเนื่องมาจากการที่พอลิเมอร์ผสมคุดชักความซึ้นอันจะเร่งให้เกิดการเข้ากันไม่ได้ของพอลิเมอร์ทั้งสอง โดยปกติแล้ว PVME จะเป็นพอลิเมอร์ที่คุดชักความซึ้นและมักก่อให้เกิดการเข้ากันไม่ได้ของพอลิเมอร์ผสม ค่าที่ตรวจวัดได้ดังแสดงในตาราง

ตารางที่ 2.17 Glass transition temperature (T_g), melting temperature (T_m) and crystallization temperature (T_c) of SPS/PVME blends

%SPS	T_g 2.1 (°C)	T_g 2.2 (°C)	T_c (°C)	T_m (°C)
100	n.a.	97.90	242.66	271.41
80	-15.70	97.23	237.38	269.26
60	-14.52	97.74	233.77	269.83
40	-19.33	91.83	234.83	268.76
20	-17.43	96.76	227.05	270.30
0	-26.68	n.a.	n.a.	n.a.

n.a. = not available

2.9 สรุปผลของการเข้าเป็นเนื้อดียวกัน

จากผลการตรวจวัดจาก DSC จะเห็นได้ว่า sPS จะสามารถสมเป็นเนื้อดียวกันได้กับ PaMS, PEMA, PBMA, PCHA, PIP และจะเกิดการแยกเฟสในกรณีของการผสมกับ PVME ทั้งนี้ อาจสังเกตได้จากการที่พอลิเมอร์ผสมมี T_g เพียงค่าเดียวในการตรวจวัดในครั้งที่สอง ซึ่งการผสมกับ PVME จะแสดงค่า T_g ถึงสองค่าในการตรวจวัดครั้งที่สอง ในขณะที่พอลิเมอร์ผสมอื่นๆ แสดงการเข้ากันได้โดยมี T_g เพียงค่าเดียว นอกจากนี้ การเปลี่ยนแปลงของ T_g เมื่อเพิ่มปริมาณ sPS ยังแสดงให้เห็นถึงการเข้าเป็นเนื้อดียวกันได้โดยการเปลี่ยนแปลงนี้จะทำให้ T_g มีค่าสูงขึ้นและเข้าใกล้ T_g ของ sPS (100 °C) เมื่อเพิ่มอัตราส่วนของ sPS ในพอลิเมอร์ผสมอีกด้วย

2.10 ผลของการใส่ LCC และ GMS ต่อสมบัติทางความร้อนของพอลิเมอร์ผสม

2.10.1 ผลกระทบต่ออุณหภูมิคล้ายแก้ว (Tg)

การเปลี่ยนแปลงอันเนื่องมาจากการผสม LCC หรือ GMS ต่อการเข้าเป็นเนื้อเดียวกันของพอลิเมอร์ผสมนั้นจะสังเกตเห็นได้ว่าถ้าพอลิเมอร์สามารถผสมเข้าเป็นเนื้อเดียวกันแล้ว การผสม LCC หรือ GMS จะไม่ก่อให้เกิดการแยกเฟส โดยทุกตัวอย่างที่พบการเข้าเป็นเนื้อเดียวกันได้จะไม่พบการแยกเฟสหรืออีกนัยหนึ่งการมีส่อง Tg ในการตรวจวัดครั้งที่สองเมื่อผสม LCC หรือ GMS และในทางกลับกันเมื่อพิจารณาการผสมเข้าเป็นเนื้อเดียวกันของ PVME การผสม LCC หรือ GMS ก็ไม่สามารถทำให้เกิดการเข้าเป็นเนื้อเดียวกันได้ จากผลการทดลองที่ผ่านมาการผสม LCC หรือ GMS แม้เพียง 1% ก็จะก่อให้เกิดการลดความหนืดหดломละลายในพอลิเมอร์ผสมได้ แต่การเพิ่มน้ำหนึ่งเปอร์เซ็นต์ของ LCC หรือ GMS ในการทดลองนี้ ยังไม่สามารถเปลี่ยนแปลงค่าอุณหภูมิคล้ายแก้วของพอลิเมอร์ผสมได้อย่างชัดเจนนัก

2.10.2 ผลกระทบต่ออุณหภูมิก่อตัวของผลึก (Tc)

อุณหภูมิก่อตัวของผลึกจะลดลงเมื่อลดปริมาณของ SPS ในพอลิเมอร์ผสม การใส่ LCC หรือ GMS ไม่ทำให้การลดลงนี้เปลี่ยนแปลงไปซึ่งกสอดคล้องกับทฤษฎีของพอลิเมอร์ผสม แต่เมื่อนำการเปลี่ยนแปลงนี้ไปเทียบกันระหว่างการลดลงของ Tc เมื่อไม่ได้ผสม LCC หรือ GMS จะมีความแตกต่างของอุณหภูมิที่ลดลงที่เปลี่ยนแปลงในทำนองเดียวกัน ซึ่งโดยสรุปแล้วการใส่ LCC หรือ GMS จะลดอุณหภูมิก่อตัวของผลึกลงได้มากกว่าการไม่ผสม LCC หรือ GMS โดยแต่ละชนิดของพอลิเมอร์ผสมจะมีความแตกต่างนี้ไม่เท่ากันอันจะสามารถสรุปได้ดังนี้

สำหรับระบบของ PaMS การเพิ่มปริมาณ PaMS จะทำให้อุณหภูมิก่อตัวของผลึกมีค่าลดลง ซึ่งเป็นไปในทำนองเดียวกับเมื่อใส่ LCC หรือ GMS แต่อย่างไรก็ได้มีอิทธิพลต่ออุณหภูมิกการก่อตัวของผลึกที่ลดลงแล้วนี้ จะพบได้ว่าการใส่ LCC จะทำให้อัตราการลดลงนี้ลดลงไปน้อยที่สุด หรืออีกนัยหนึ่งการใส่ LCC จะเพิ่มอุณหภูมิก่อตัวของผลึกเมื่อเปรียบเทียบกับพอลิเมอร์ที่ไม่ได้ผสมประมาณ 3°C การเพิ่มขึ้นนี้เป็นลักษณะเฉพาะของ PaMS เท่านั้น ส่วนการใส่ GMS จะทำให้อุณหภูมิกการก่อตัวของผลึกมีค่าลดลงมากกว่าในพอลิเมอร์ที่ไม่ได้ผสม GMS อยู่ประมาณ 3°C ซึ่งจะสอดคล้องกับการผสม GMS ในระบบพอลิเมอร์อื่นๆ ซึ่งการลดลงนี้เป็นไปในทำนองเดียวกันเมื่อเพิ่มปริมาณของ PaMS ในพอลิเมอร์ผสม

สำหรับระบบของ PEMA การเพิ่มขึ้นของปริมาณ PEMA ในพอลิเมอร์ผสมจะทำให้อุณหภูมิกการก่อตัวของผลึกมีค่าลดลงตามลำดับ และการเพิ่ม LCC จะทำให้การลดลงนี้ลดลงมากยิ่งขึ้น โดยเมื่อผสม LCC อุณหภูมิก่อตัวของผลึกจะลดลงมากกว่าเมื่อไม่ผสม LCC ที่อัตราส่วนการผสม PEMA ต่างๆ มีค่าลดลงไปมากขึ้น ถึง $4\text{--}10^{\circ}\text{C}$ และการเพิ่ม GMS จะสามารถลดอุณหภูมิกการก่อตัวของผลึกลงมากกว่าการเพิ่ม PEMA ธรรมดามากถึง $2\text{--}10^{\circ}\text{C}$ ซึ่งจะสามารถสรุปได้

ว่าการเพิ่มสารเติมแต่ง LCC หรือ GMS จะทำให้อุณหภูมิการก่อตัวของผลึกมีการลดลงเพิ่มจากปกติอย่างเห็นได้อย่างชัดเจน (โดยปกติแล้ว การวัดอุณหภูมิโดยการใช้ DSC จะทำให้ค่าอุณหภูมิที่วัดได้เปลี่ยนแปลงไปได้ในช่วง $\pm 5^{\circ}\text{C}$)

สำหรับระบบของ PBMA เมื่อเพิ่มปริมาณของ PBMA จะทำให้อุณหภูมิการก่อตัวของผลึกมีค่าลดลงตามลำดับ และการเพิ่มของ LCC และ GMS จะทำให้อุณหภูมิก่อตัวของผลึกมีค่าลดลงเพิ่มขึ้นอีกประมาณ 3°C โดยลำดับ การลดลงนี้แม้จะไม่มากแต่เป็นการลดลงโดยตลอด ซึ่งทำให้เชื่อได้ว่าการลดลงที่เพิ่มขึ้นจากปกตินี้มีนัยสำคัญ

สำหรับระบบของ PCHA เมื่อเพิ่มปริมาณของ PCHA จะทำให้อุณหภูมิการก่อตัวของผลึกมีค่าลดลงตามลำดับ และการเพิ่มของ LCC และ GMS จะทำให้อุณหภูมิการก่อตัวของผลึกมีค่าลดลงมากกว่าการลดลงเมื่อเพิ่มปริมาณ PCHA ลงถึงโดยประมาณ $2\text{--}5^{\circ}\text{C}$ ซึ่งนีนัยสำคัญพอที่จะเชื่อได้ว่าการใส่สารไมเลกูลเล็กเหล่านี้จะทำให้ T_c มีค่าลดลงมากกว่าการลดลงโดยปกติ

สำหรับระบบของ PIP ในทำงองเดียวกันเมื่อเพิ่มปริมาณของ PIP จะทำให้ T_c ลดลงตามลำดับ การเพิ่มสาร LCC หรือ GMS จะทำให้ T_c มีค่าลดลงโดยสมำเสมอประมาณ $2\text{--}7^{\circ}\text{C}$ ทำให้สามารถสรุปได้ว่าการเพิ่มสารเติมแต่งนี้จะทำให้อุณหภูมิการก่อตัวของผลึกมีค่าลดลง

จากการทดลองดังที่ได้กล่าวมาข้างบนนี้จะเห็นได้ว่าการเพิ่มปริมาณของส่วนที่เป็นอสัญฐาน (พอลิเมอร์อิกนิดหนึ่งนอกจาก SPS) จะทำให้ค่าอุณหภูมิการก่อตัวของผลึกมีค่าลดลงโดยลำดับ ทั้งนี้อาจเนื่องมาจากการกีดขวางการจัดเรียงตัวของ SPS ซึ่งต้องแพร่เข้าหากันเพื่อจัดเรียงตัวในโครงผลึก การเพิ่มปริมาณพอลิเมอร์อสัญฐานนี้จะทำให้การกีดขวางการจัดเรียงตัวมีค่าเพิ่มขึ้นโดยลำดับ ทำให้อุณหภูมิการก่อตัวของผลึกมีค่าต่ำอย่าง SPS บริสุทธิ์

การเพิ่มปริมาณ LCC หรือ GMS ในพอลิเมอร์ผสมจะเป็นการลดความหนืดเมื่อหลอมละลาย (Melt Viscosity) ของระบบ ฉันจะทำให้ไมเลกูลสามารถเคลื่อนที่เหลวและแพร่กันได้ง่ายยิ่งขึ้น จากการทดลองจะพบว่าเมื่อใส่ LCC หรือ GMS ในพอลิเมอร์ผสมจะทำให้อุณหภูมิการก่อตัวของผลึกมีค่าลดลงมากกว่าการก่อตัวของระบบเมื่อไม่ได้ใส่สารเติมแต่ง ทั้งนี้โดยปกติแล้วพอลิเมอร์ที่สามารถหลอมละลายเป็นเนื้อเดียวกันได้จะมีแนวโน้มที่จะคงสภาพการผสม เพราะการผสมจะทำให้ Gibbs Free Energy มีค่าต่ำที่สุด การลดความหนืดของการหลอมละลายจะทำให้พอลิเมอร์ผสมนี้แยกออกจากกันได้ยากยิ่งขึ้น ซึ่งเป็นเหตุให้อุณหภูมิก่อตัวของผลึกมีค่าลดลง เพราะไมเลกูลของ SPS จะต้องแพร่ออกจากสารผสมไปจัดเรียงเป็นผลึก ฉันจะทำให้ต้านต่อการผสมตัวในสภาพอสัญฐานของพอลิเมอร์หลอมละลาย อุณหภูมิการก่อตัวของผลึกในระบบพอลิเมอร์ผสมดังกล่าวจะมีค่าลดลงไปอีกเพิ่มเติมจากการกีดขวางกันของไมเลกูล

2.10.3 ผลกระทบต่ออุณหภูมิลดลงละลายผลึก (Tm)

การลดลงละลายของสารโดยทั่วไปที่ไม่มีการปนของสารที่เติมลงไปในโครงสร้างของของแข็งสามารถสรุปได้ดังสมการ

$$\ln x_B = \frac{\Delta H}{RT} \left(\frac{1}{T_m^*} - \frac{1}{T_{md}} \right) \quad (2.1)$$

โดยที่

x_B = อัตราส่วนโมลของสารที่เกิดการแข็งตัว (sPS)

T_m^* = อุณหภูมิลดลงละลายผลึกของสาร B (sPS) ที่บีริสห์

T_{md} = อุณหภูมิลดลงละลายผลึกเมื่อมีสารปนเปื้อน

จากสมการนี้จะเห็นได้ว่าเมื่อมีสารปนเปื้อน อุณหภูมิ ลดลงเหลวของสารที่เป็นของแข็งจะมีค่าลดลงทั้งนี้เนื่องจากการเกิดสารผสมในสภาพที่เป็นของเหลวจะมีค่า Gibbs' Free Energy ที่ต่ำลงและการเกิดความสมดุลนี้จะเกิดได้ที่อุณหภูมิที่ต่ำลง

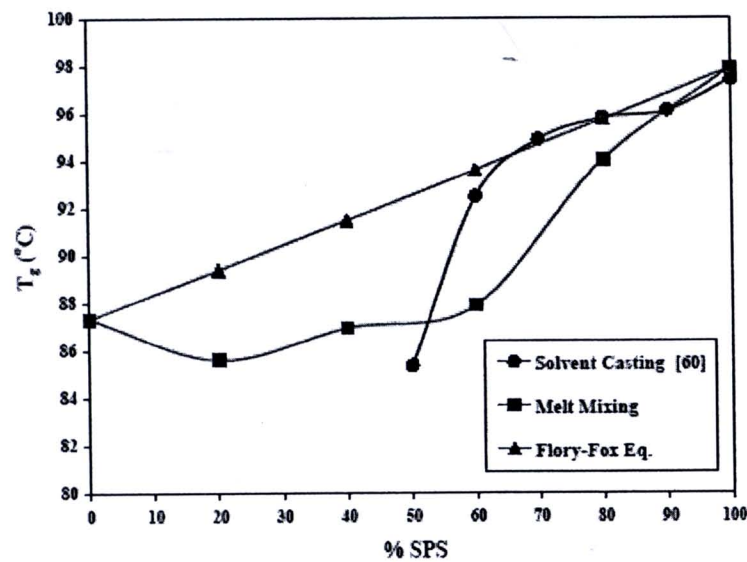
สำหรับสารที่มีการจัดเรียงตัวเมื่อแข็งตัวดังเช่นพอลิเมอร์ สมการนี้จะไม่สามารถอธิบายปรากฏการนี้ได้อย่างเด่นชัด แต่ถ้าอย่างไรก็ตามพอลิเมอร์ผสมจะมีแนวโน้มที่จะลดอุณหภูมิลดลงละลายผลึกลงเมื่อมีพอลิเมอร์ผสมอีกชนิดผสมอยู่ และดังที่ได้กล่าวมากการลดลงนี้ไม่สามารถประมาณได้โดยใช้สมการทั่วไป จากข้อมูลที่มีการเติมพอลิเมอร์อีกชนิดในปริมาณที่สูงถึง 80% ยังทำให้ค่าอุณหภูมิลดลงละลายผลึกลดลงเพียงเล็กน้อยเท่านั้น ($1-2^{\circ}\text{C}$) การเติมสาร LCC หรือ GMS ในปริมาณที่ต่ำ (1%) ไม่ควรที่จะลดอุณหภูมิลดลงละลายของผลึกลงได้อย่างมากเลย แต่จากการทดลองสารเติมแต่งในเกลุตต่ำเหล่านี้จะสามารถลดอุณหภูมิลดลงละลายผลึกลงได้เพิ่มเติมจากการลดลงเนื่องจากการทำระบบให้เป็นพอลิเมอร์ผสมอีกดึง $1-2^{\circ}\text{C}$ โดยถ้าปริมาณของพอลิเมอร์ที่มาผสมกับ sPS มีค่ามากขึ้น การลดลงของอุณหภูมิลดลงละลายผลึกโดย LCC หรือ GMS จะมีค่าที่ซัดเจนมากขึ้น การลดลงของอุณหภูมิลดลงละลายของผลึกโดย sPS จะเคลื่อนที่ได้เร็วขึ้นในสภาวะที่เป็นอสัญญาณที่หลอมละลายซึ่งจะสามารถลด Gibbs' Free Energy ของระบบลงได้อีกอย่างเร็วขึ้น จึงเป็นที่สังเกตได้ว่าการใส่สารเติมแต่งลงในพอลิเมอร์ผสมจะทำให้ระบบมีค่าอุณหภูมิลดลงผลลัพธ์ที่ต่ำลง อุณหภูมิลดลงละลายผลึกของ sPS ในระบบต่างๆ เมื่อไม่เติมและเติมสารเติมแต่งจะสามารถสรุปได้ดังตาราง

ตารางที่ 2.18 Melting temperature depression of their blends

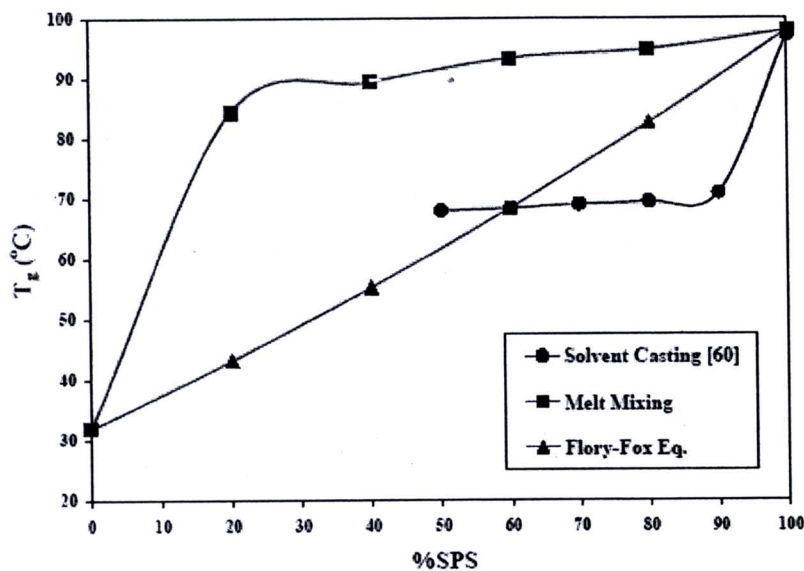
Samples	Melting Temperature Depression ($^{\circ}\text{C}$)				
	100/0	80/20	60/40	40/60	20/80
SPS/PaMS	271.41	271.14	271.05	270.70	270.53
SPS/PaMS/LCC	270.57	270.27	270.19	270.12	269.95
SPS/PaMS/GMS	271.01	270.72	270.64	270.49	270.16
SPS/PEMA	271.41	271.29	271.24	270.17	271.02
SPS/PEMA/LCC	270.57	270.33	270.27	270.17	269.58
SPS/PEMA/GMS	271.01	270.76	270.68	270.64	270.38
SPS/PBMA	271.41	271.35	271.29	271.25	271.18
SPS/PBMA/LCC	270.57	270.57	270.57	270.57	270.57
SPS/PBMA/GMS	271.01	270.75	270.73	270.69	270.64
SPS/PCHA	271.41	271.31	271.22	271.14	270.99
SPS/PCHA/LCC	270.57	270.29	270.20	269.95	269.45
SPS/PCHA/GMS	271.01	270.70	270.65	270.46	269.82
SPS/PIP	271.41	271.38	271.33	271.28	271.20
SPS/PIP/LCC	270.57	270.27	270.21	270.00	269.84
SPS/PIP/GMS	271.01	270.72	270.64	270.59	269.66

2.10.4 ผลกระทบจากวิธีเตรียมสารต่อการเป็นเนื้อเดียวกันของพอลิเมอร์ผสม

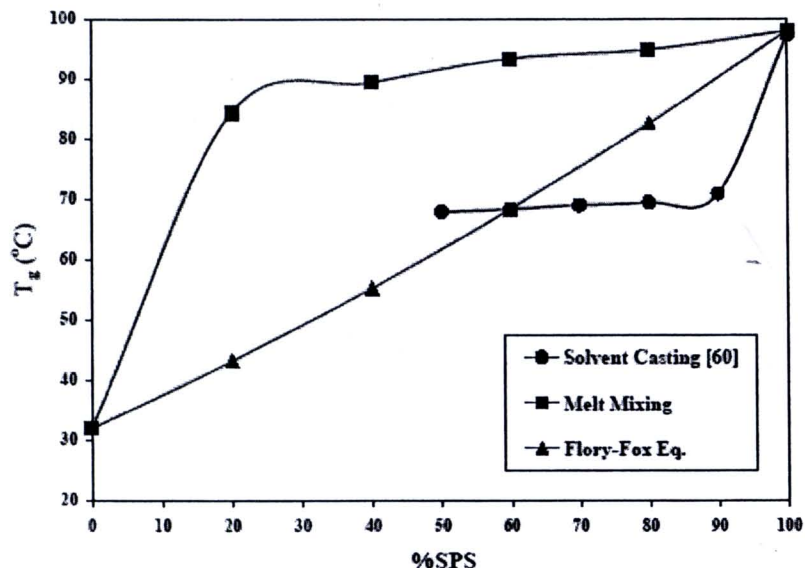
ในผลการทดลองนี้ใช้การเตรียมตัวอย่างโดยวิธีหลอมละลายซึ่งต่างจากการทดลองในตอนแรกที่ใช้วิธีเตรียมตัวอย่างโดยการผสมในตัวทำละลายเดียวกัน การผสมโดยใช้ตัวทำละลายเดียวกันอาจเกิดผล กระทบตัวทำละลาย ทำให้ค่าทางความร้อนที่วัดได้มีค่าเปลี่ยนไปถึงแม้จะระเหยตัวทำละลายออกไปหมดแล้วก็ตาม การผสมโดยวิธีหลอมละลายหากไม่สามารถกวนผสมสารทั้งสองได้โดยทั่วถึงแล้วอาจทำให้การวัดค่าทางความร้อนแสดงเฟสทั้งสองที่ผสมกันอย่างไม่ดีได้ ในการทดลองนี้ได้ใช้ข้อมูลจากการทดลองตอนที่แล้วเพื่อเปรียบเทียบกัน และผลการทดลองจะสามารถสรุปได้เป็นกราฟดังนี้



รูปที่ 2.1 Comparison of method in blending SPS/PaMS blends with Fox equation



รูปที่ 2.2 Comparison of method in blending SPS/PEMA with Fox equation

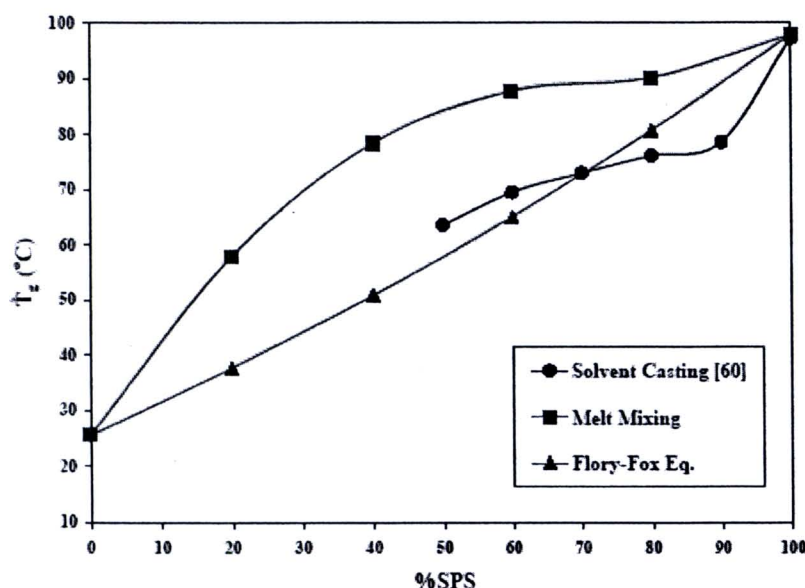


ຮັບໃດ

2.3

Comparison of r

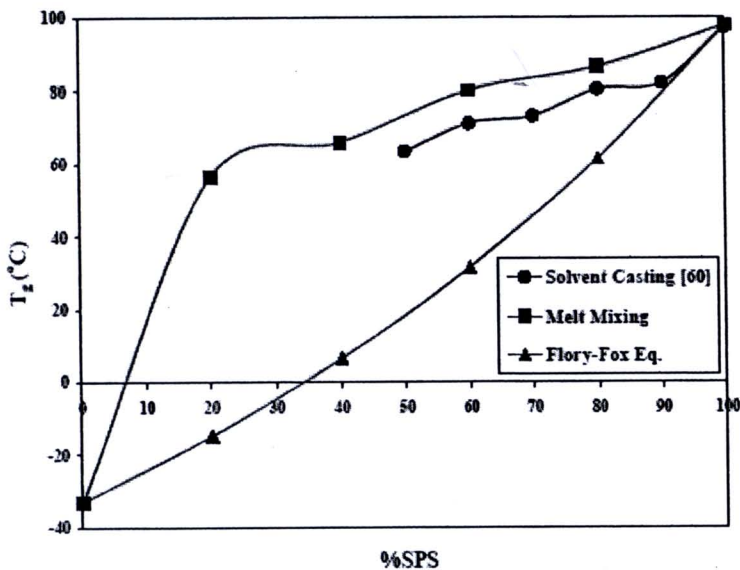
Comparison of method in blending SPS/PBMA with Fox equation



ຮັບ

ໃດ 2.4

Comparison of method in blending SPS/PCHA with Fox equation



รูปที่ 2.5 Comparison of method in blending of SPS/PIP blends with Fox equation

จากการทดลองในขั้นนี้ ตัวอย่างทั้งหมดจะถูกเตรียมโดยวิธีหลอมละลายนในการตรวจดูอุณหภูมิคล้ายแก้วในการเพิ่มอุณหภูมิในครั้งแรก จะพบว่าระบบจะมีส่อง T_g และในการตรวจดูการเพิ่มอุณหภูมิในครั้งที่สอง จะพบว่าระบบจะมีเพียง T_g เดียว ซึ่งแสดงให้เห็นถึงจุดก่อของกรรมแบบหลอมละลายน โดยที่ตัวอย่างในขั้นต้นจะเกิดการแยกเฟส ทั้งนี้เนื่องจากความลำบากในการกระบวนการผสมพอลิเมอร์จำนวนที่น้อยให้ได้สารเนื้อดียาในทันที ส่วนในการวัดการเพิ่มอุณหภูมิครั้งที่สอง พอลิเมอร์จะถูกทำให้หลอมละลายนใน DSC ซึ่งพอลิเมอร์ที่สามารถเข้ากันเป็นเนื้อดียาจะเกิดการผสมกันโดยอัตโนมัติ ทำให้มีค่าอุณหภูมิคล้ายแก้วเพียงค่าเดียว ซึ่งเป็นลักษณะของพอลิเมอร์ที่สามารถผสมเป็นเนื้อดียากันได้ ทั้งนี้จะยืนยันผลการทดลองในตอนแรกที่พบว่าพอลิเมอร์ผสมระบบต่างๆ สามารถผสมกันเป็นเนื้อดียากันได้ แม้ว่าจะใช้วิธีการผสมพอลิเมอร์โดยวิธีที่ไม่เหมือนกันก็ตาม

นอกจากนี้ความแตกต่างของวิธีการผสมจะส่งผลถึงสภาพการเกิดผลึก ซึ่งจากการทดลองในตอนแรก ค่าเปอร์เซ็นต์การเป็นผลึกที่ตรวจดูโดย XRD จะมีค่าสูงกว่าค่าเปอร์เซ็นต์การเป็นผลึกของการผสมในตอนที่สอง ทั้งนี้อาจเนื่องจากการจัดเรียงตัวเป็นผลึกของ SPS จะทำได้ง่ายกว่าในการผสมแบบตัวทำละลายเดียวกันและจะมีการกระจายตัวที่ดีกว่า ซึ่งเป็นเหตุให้มีความเป็นผลึกในตัวอย่างสูงกว่าวิธีหลอมละลายน ถึงแม้จะถูกหลอมละลายนครั้งหนึ่งแล้วทั้งให้เกิดผลึกที่อุณหภูมิ 200 °C เมื่อนอกนี้ในทั้งสองวิธีผสมก็ตาม ความแตกต่างนี้จะทำให้พอลิเมอร์ผสมมีปริมาณ SPS ที่อยู่ในเฟสอสัมฐานที่ไม่เท่ากัน การที่มีค่าความเป็นผลึกสูงจะทำให้มีปริมาณ SPS

ในส่วนที่เป็นอสังฐานมีปริมาณน้อยกว่า การที่มีค่าความเป็นผลลัพธ์ต่ำเมื่อปริมาณโดยน้ำหนักของ SPS ในระบบมีค่าเท่ากัน ความแตกต่างนี้จะส่งผลถึงค่าอุณหภูมิ Tg ซึ่งสะท้อนค่าส่วนที่ เป็นอสังฐานของระบบการที่มีปริมาณ SPS ในระบบมากจะทำให้ค่า Tg มีค่าสูงกว่า ระบบที่มีปริมาณ SPS ในส่วนที่เป็นอสังฐานน้อยกว่า ผลกระทบนี้จะสามารถตรวจพบได้ในการตรวจวัดค่า Tg ในการให้ความร้อนในครั้งที่สอง จึงสามารถสรุปได้ว่าการทดสอบ แบบหลอมละลายจะมีค่า Tg ที่สูงกว่าค่า Tg ของการทดสอบโดยใช้ตัวทำละลายเดียวกัน ที่ปริมาณอัตราส่วนโดยน้ำหนักของ SPS ที่มีค่าเท่ากัน

แต่ทั้งนี้ในระบบของ PaMS การทดสอบจะทำให้ค่า Tg มีค่าต่ำลงกว่าค่าเฉลี่ยของ Tg ของห้องทดลองเมอร์บิสุทธิ์ ซึ่งก็ยังสอดคล้องกับการสรุปข้างต้นดังกล่าว โดยในระบบนี้ถ้ามีปริมาณ SPS ในส่วนที่เป็นอสังฐานมากจะทำให้ค่า Tg ของระบบมีค่าต่ำลงมากกว่าการที่มี SPS ในส่วนที่ เป็นอสังฐานน้อย (ซึ่งกลับกับระบบอื่นที่มีการเพิ่มของ Tg ถ้ามี SPS ในปริมาณที่มากขึ้น) การทดสอบโดยวิธีหลอมละลายในตัวทำละลายเดียวกันจึงมีค่า Tg ที่สูงกว่าการทดสอบโดยวิธีหลอมละลายที่ อัตราส่วนโดยน้ำหนักของปริมาณ SPS ทั้งหมดในระบบที่มีค่าเท่ากัน

ข้อด้อยของวิธีการทดสอบแบบหลอมละลายไม่ได้เป็นอุปสรรคในการทดสอบพอลิเมอร์ในทาง อุตสาหกรรม ทั้งนี้เนื่องจากต้นทุนที่ต่ำกว่าและไม่เสียเวลาในการจำจัดตัวทำละลายซึ่งมีราคาแพง และไม่ต้องมีระบบที่นำตัวทำละลายกลับมาใช้ใหม่ การทดสอบในปริมาณที่มากจะลดจุดอ่อนในเรื่อง ความเป็นเนื้อเดียวกันของพอลิเมอร์ทดสอบได้เป็นอย่างดี จึงเป็นที่นิยมใช้มากกว่าในทาง อุตสาหกรรม

จากค่า Tg ของพอลิเมอร์บิสุทธิ์ในระบบห้องส่ององค์ประกอบจะสามารถคำนวณค่า Tg ของระบบพอลิเมอร์ทดสอบได้จากการใช้สมการที่เขียนกันระหว่างอุณหภูมิคล้ายแก้วของสารบิสุทธิ์ และอุณหภูมิคล้ายแก้วของพอลิเมอร์ทดสอบ สมการพื้นฐานที่เป็นที่รู้จักดีคือสมการของ Flory-Fox ดังจะสามารถแสดงได้ดังนี้

$$\frac{1}{T_g} = \frac{W_1}{T_{g1}} + \frac{(1 - W_1)}{T_{g2}} \quad (2.2)$$

โดยที่

T_g = อุณหภูมิคล้ายแก้วของพอลิเมอร์ทดสอบ (ได้จากการตรวจวัด)

1, 2 = SPS และ พอลิเมอร์อสังฐานอีกองค์ประกอบ

W_i = อัตราส่วนโดยน้ำหนักของพอลิเมอร์;

จากสมการของ Flory-Fox ดังกล่าว ถ้าทราบอุณหภูมิคล้ายแก้วของพอลิเมอร์บิสุทธิ์ห้อง (Tg1, Tg2) และอุณหภูมิคล้ายแก้วของพอลิเมอร์ทดสอบ (Tg) จะสามารถคำนวณค่าอัตราส่วน

โดยน้ำหนักในทางทฤษฎี (W_1) ได้เป็นการต่อมาซึ่งเป็นค่าอัตราส่วนโดยน้ำหนักของ SPS ในส่วนที่เป็นสัชฐานตามทฤษฎีได้โดยประมาณ ค่าที่คำนวนได้ในระบบต่างๆ จะสามารถสรุปเป็นตารางได้ดังนี้

ตารางที่ 2.19 Percentage of SPS in binary blends from calculation

% SPS (real)	% SPS from calculation ($W_1 \times 100$)				
	SPS/PaMS	SPS/PEMA	SPS/PBMA	SPS/PCHA	SPS/PIP
100	100.00	100.00	100.00	100.00	100.00
80	64.06	92.99	96.12	91.27	94.24
60	5.54	80.67	94.24	88.46	90.78
40	-3.70	73.42	89.12	77.12	82.71

จะเห็นได้ว่าค่าที่ประมาณจาก Fox Equation จะมีค่าคลาดเคลื่อนจากอัตราส่วนโดยน้ำหนักที่แท้จริงเป็นอย่างมาก โดยจะมีการคาดเดาอัตราส่วนโดยน้ำหนัก SPS ของส่วนที่เป็นสัชฐานมีค่าสูงกว่ามาก ซึ่งจะเป็นไปได้ในกรณีเดียวคือมีการแยกเฟสขององค์ประกอบที่เป็นสัชฐานอย่างไรก็ได้สมการ Fox เป็นสมการที่สามารถมีความคลาดเคลื่อนได้มาก ทั้งนี้เนื่องจากการประมาณเชิงค่าเฉลี่ย และความไม่สามารถประมาณระบบที่เกิด Synergistic หรือ non-Synergistic มากได้

2.10.5 ผลของสารเติมแต่งต่อปริมาณการเป็นผลลัพธ์

การคำนวนหาปริมาณการเป็นผลลัพธ์ใช้วิธีของ Ruland โดยการตรวจวัดการกระเจิงแสง X-Ray ที่เกิดขึ้นที่มุนสะท้อนต่างๆ โดยการใช้ XRD การคำนวนจะใช้ผลต่างของการกระเจิงแสงของพอลิเมอร์ที่มีผลลัพธ์ด้วยการกระเจิงแสงของพอลิเมอร์เดียวกัน ในสภาวะที่เป็นสัชฐานการกระเจิงแสงจะประกอบด้วย ส่วนที่เป็นการกระเจิงแสงโดยผลลัพธ์และส่วนการกระเจิงแสงจากส่วนที่เป็นสัชฐานไปพร้อมกัน วิธีของ Ruland ใช้การคำนวนตัวแปรที่เป็นฟังชันกับมุมการกระเจิงแสงดังนี้

$$s = \frac{2 \sin \theta}{\lambda} \quad (2.3)$$

ซึ่งค่า λ เป็นความยาวคลื่นของ X-Ray และ θ คือมุมสะท้อนของลำแสงต่อระบทบ
ซึ่งค่าปริมาณการเป็นผลลัพธ์ (x_c) จะสามารถคำนวณได้จาก

$$x_c = \frac{\int_{s_0}^{s_p} s^2 I_c ds}{\int_{s_0}^{s_p} s^2 Ids} \left(K(s_0, s_p, D, \bar{f}^2) \right) = const. \quad (2.4)$$

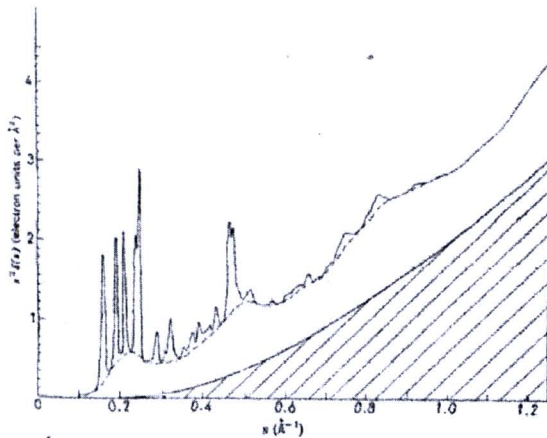


$I(s)$ = ความเข้มข้นของการกระเจิงแสงใดๆ ที่ตำแหน่ง s

$I_c(s)$ = ความเข้มข้นของการกระเจิงแสงโดยผลลัพธ์ที่ตำแหน่ง s

$(K(s_0, s_p, D, \bar{f}^2))$ = ค่าการกระเจิงแสงของชากระดับนี้ ของมาจากการสั่นไหวโดย
ความร้อนของโมเลกุลและความบกพร่องของโครงสร้างผลลัพธ์ ซึ่ง
จะสามารถประมาณได้โดยการอ่านค่าตัวเลขจากตารางและ
สมนูดให้มีค่าคงที่ในระบบหนึ่งๆ

ตัวอย่างการกระเจิงแสงของ พอลิไพริเพลนจะสามารถแสดงได้ดังรูปที่ 2.6



รูปที่ 2.6 Curve of $s^2 / I(s)$ versus s for polypropene

โดยที่เส้นประจะแสดงการกระเจิงแสงของส่วนที่เป็นอสังหาริมทรัพย์ ส่วนการกระเจิงแสงของ
ผลลัพธ์สามารถแสดงได้ โดยแท้จริงว่าเส้นประกับแท่งการกระเจิงแสงที่เป็นส่วนยอดที่เพิ่มเติม

ขึ้นไปในกราฟ ส่วนที่เป็นพื้นผิวที่แรเงาคือค่า s^2 เมื่อ 1 มีค่าเป็น 1 ซึ่งต้องหักพิ้งในการคำนวณปริมาณผลลัพธ์โดย XRD

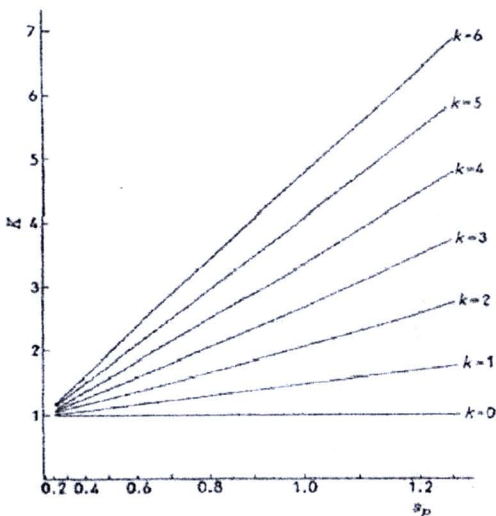
การคำนวณหาค่า K นี้สามารถแสดงเป็นสมการ 2.5 ดังนี้

$$K = \frac{\int_{s_0}^{s_p} s^2 \bar{f}^2 ds}{\int_{s_0}^{s_p} s^2 \bar{f}^2 D ds} \quad (2.5)$$

ซึ่งค่า f คือฟังชันขององค์ประกอบทางเคมี และ

ค่า D คือค่าความไม่สมบูรณ์ของผลลัพธ์ $D = \exp(-ks^2)$.

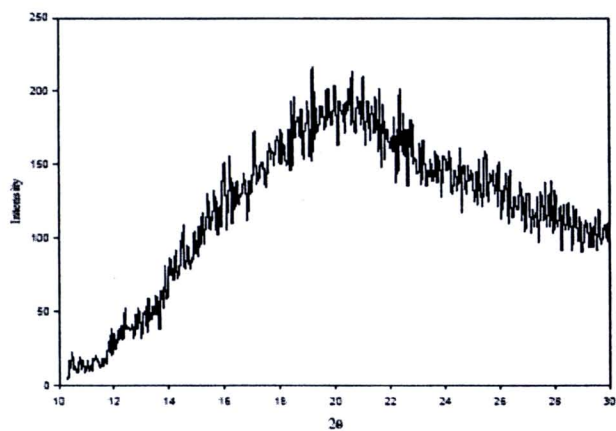
โดยมากแล้วค่า K จะอ่านได้จากการโดยเป็นฟังชันของค่า s ของพอลิเมอร์ และจะปรับค่า k ใน D เพื่อให้ค่า x_c แปรผันเชิงเส้นตรงต่อค่า s ค่าเชิงตัวเลขของ K จะสามารถแสดงได้โดยกราฟ



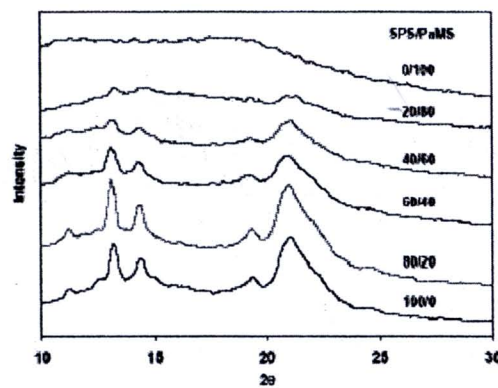
รูปที่ 2.7 Nomogram of K values as a function of k and s_p calculated for the chemical composition $(CH_2)_n$ and $s_0 = 0.1$

ซึ่งในการทดลองนี้ค่า s จะมีค่าอยู่ระหว่าง 0.1-0.3 ซึ่งจากการเขียนต้นจะสามารถอ่านค่า K ที่ไม่ว่าค่า k จะเป็นเท่าใดได้ค่า K เท่ากับ 1-1.2 ในที่นี้จะประมาณค่า K ให้เท่ากับ 1 ในทุกๆ กรณี สมการที่ขึ้นต้นดังกล่าวจะลดรูปลงเหลือเพียงค่าอัตราส่วนกำลังสองของ s^2 เท่านั้น

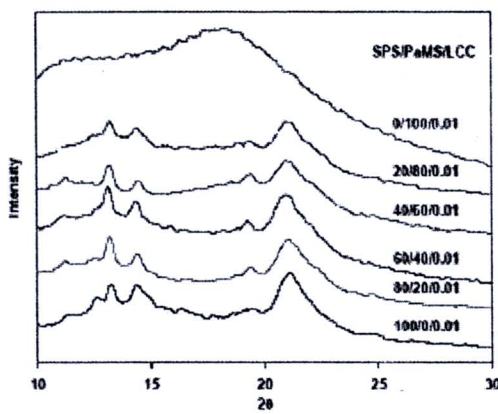
ค่าการกระเจิงแสงของส่วนที่เป็นอัซธูรานจะสามารถคำนวณได้จากการฟูปที่ 2.7



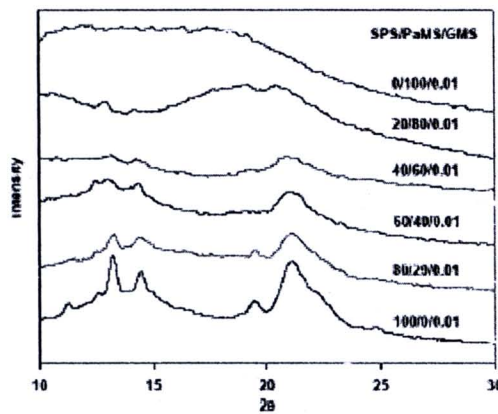
รูปที่ 2.8 X-ray diffraction pattern of amorphous SPS



(a)

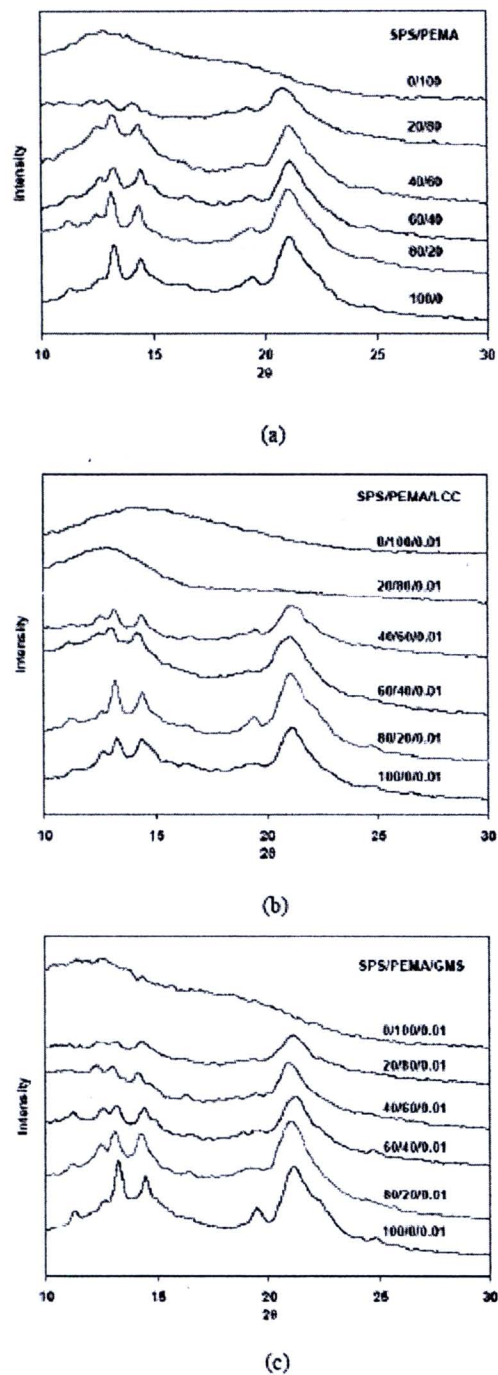


(b)

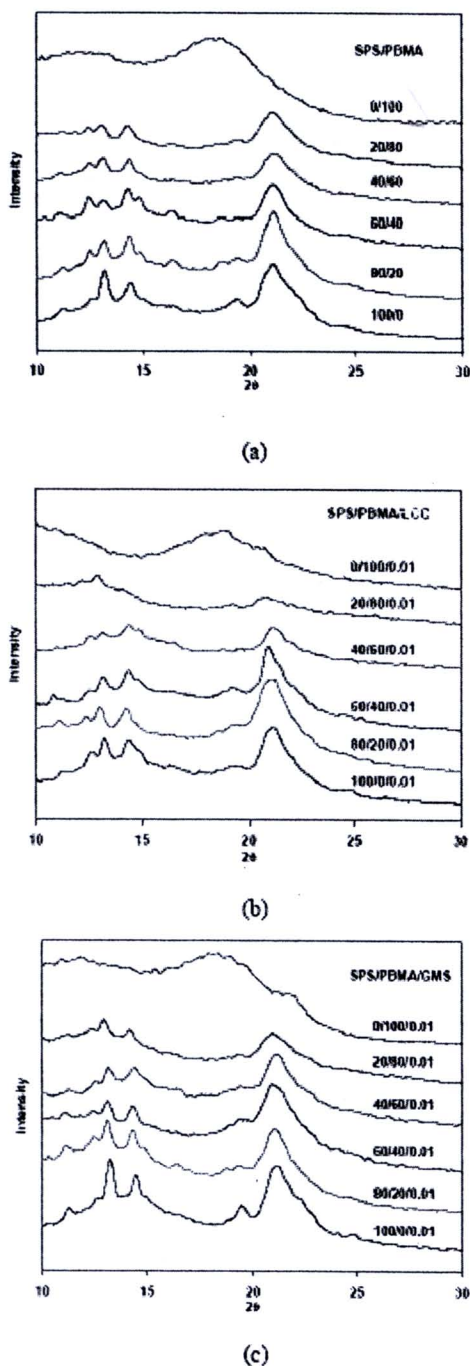


(c)

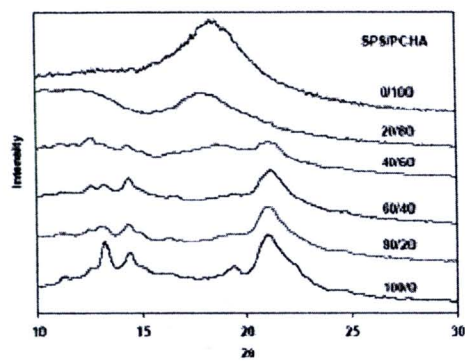
รูปที่ 2.9 The X-ray diffraction patterns for SPS/PaMS blends and their blend with additives at various compositions: (a) SPS/PaMS blends; (b) SPS/PaMS/LCC blends and (c) SPS/PaMS/GMS blends



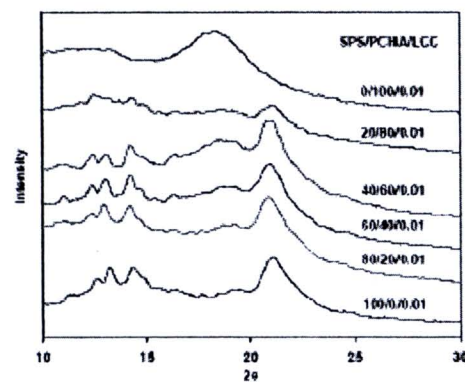
รูปที่ 2.10 The X-ray diffraction patterns for SPS/PEMA blends and their blend with additives at various compositions: (a) SPS/PEMA blends; (b) SPS/PEMA/LCC blends and (c) SPS/PEMA/GMS blends



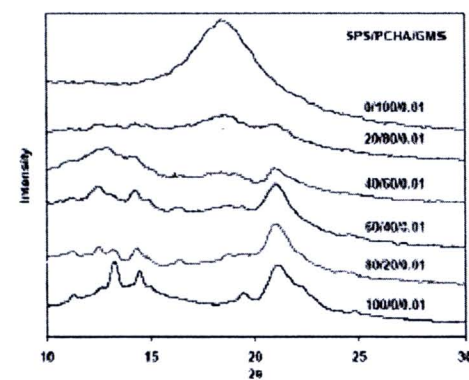
รูปที่ 2.11 The X-ray diffraction patterns for SPS/PBMA blends and their blend with additives at various compositions: (a) SPS/PBMA blends; (b) SPS/PBMA/LCC blends and (c) SPS/PBMA/GMS blends



(a)

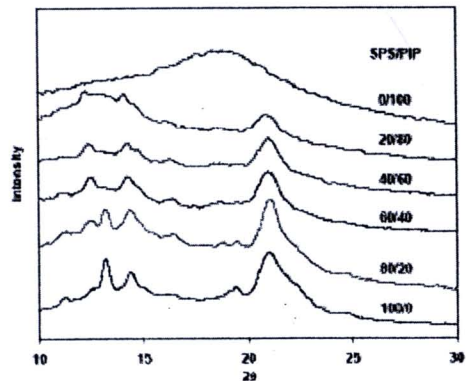


(b)

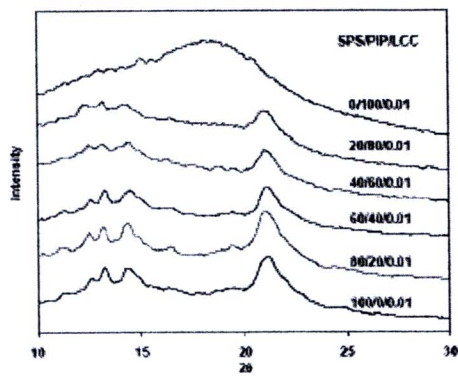


(c)

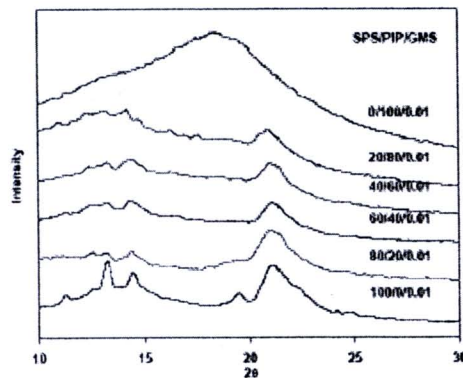
รูปที่ 2.12 The X-ray diffraction patterns for SPS/PCHA blends and their blend with additives at various compositions: (a) SPS/PCHA blends; (b) SPS/PCHA/LCC blends and (c) SPS/PCHA/GMS blends



(a)



(b)



(c)

ສູ່ທີ 2.13 The X-ray diffraction patterns for SPS/PIP blends and their blend with additives at various compositions: (a) SPS/PIP blends; (b) SPS/PIP/LCC blends and (c) SPS/PIP/GMS blends

ค่าปริมาณผลัก x_c จะสามารถคำนวณได้จากกราฟข้างต้นและสามารถแสดงได้ในตารางดังต่อไปนี้โดยแยกเป็นระบบขององค์ประกอบของสัมฐาน โดยวิธีที่แสดงไว้ข้างต้น

ตารางที่ 2.20 % Crystallinity of SPS/PaMS, SPS/PaMS/GMS and SPS/PaMS/LCC blends at various compositions

% SPS	% Crystallinity		
	SPS/PaMS	SPS/PaMS/GMS	SPS/PaMS/LCC
40	19.37	38.54	20.00
60	23.93	27.27	23.49
80	38.42	27.23	28.98
100	57.26	49.59	51.63

จากข้อมูลอาจสังเกตได้ว่าเมื่อเพิ่มปริมาณ sPS ในพอลิเมอร์ผสม จะทำให้ปริมาณการเกิดผลลัพธ์มีค่าเพิ่มขึ้น แนวโน้มดังกล่าวยังสามารถเห็นได้เมื่อพิจารณาผลจาก DSC โดยเมื่อเพิ่มปริมาณ sPS พอลิเมอร์ผสมจะใช้พลังงานเพื่อหด/mol คล้ายผลลัพธ์ต่อน้ำหนักพอลิเมอร์ผสมเพิ่มขึ้นตามล้มดับ และเมื่อผสม LCC หรือ GMS จะทำให้ปริมาณผลลัพธ์ลดลง 1-6% จากพอลิเมอร์ที่ไม่ได้ผสม

ตารางที่ 2.21 % Crystallinity of SPS/PEMA, SPS/PEMA/GMS and SPS/PEMA/LCC blends at various compositions

% SPS	% Crystallinity		
	SPS/PEMA	SPS/PEMA/GMS	SPS/PEMA/LCC
40	27.00	29.33	31.58
60	37.25	35.38	41.07
80	41.43	44.75	44.41
100	57.26	49.59	51.63

จากข้อมูลอาจสังเกตได้ว่าเมื่อเพิ่มปริมาณ sPS ในพอลิเมอร์ผสม จะทำให้ปริมาณการเกิดผลลัพธ์มีค่าเพิ่มขึ้น แนวโน้มดังกล่าวยังสามารถเห็นได้เมื่อพิจารณาผลจาก DSC โดยเมื่อเพิ่มปริมาณ sPS พอลิเมอร์ผสมจะใช้พลังงานเพื่อหด/mol คล้ายผลลัพธ์ต่อน้ำหนักพอลิเมอร์ผสมเพิ่มขึ้นตามล้มดับ และเมื่อผสม LCC หรือ GMS จะทำให้ปริมาณผลลัพธ์ลดลง 1-6% จากพอลิเมอร์ที่ไม่ได้ผสม

ตารางที่ 2.22 % Crystallinity of SPS/PBMA, SPS/PBMA/GMS and SPS/PBMA/LCC blends at various compositions

% SPS	% Crystallinity		
	SPS/PBMA	SPS/PBMA/GMS	SPS/PBMA/LCC
40	39.57	36.95	34.79
60	36.65	34.12	30.58
80	37.79	38.12	41.94
100	57.26	49.59	51.63

จากข้อมูลอาจสังเกตได้ว่าเมื่อเพิ่มปริมาณ rPS ในพอลิเมอร์ผสม จะทำให้ปริมาณการเกิดผลึกมีค่าเพิ่มขึ้น แนวโน้มดังกล่าวยังสามารถเห็นได้เมื่อพิจารณาผลจาก DSC โดยเมื่อเพิ่มปริมาณ rPS พอลิเมอร์ผสมจะใช้พลังงานเพื่อหลอมละลายผลึกต่อน้ำหนักพอลิเมอร์ผสมเพิ่มขึ้นตามลำดับ และเมื่อผสม LCC หรือ GMS จะทำให้ปริมาณผลึกลดลง 1-6% จากพอลิเมอร์ที่ไม่ได้ผสม

ตารางที่ 2.23 % Crystallinity of SPS/PCHA, SPS/PCHA/GMS and SPS/PCHA/LCC blends at various compositions

% SPS	% Crystallinity		
	SPS/PCHA	SPS/PCHA/GMS	SPS/PCHA/LCC
40	34.80	37.00	28.93
60	46.77	36.50	28.38
80	43.68	40.34	29.49
100	57.26	49.59	51.63

จากข้อมูลอาจสังเกตได้ว่าเมื่อเพิ่มปริมาณ rPS ในพอลิเมอร์ผสม จะทำให้ปริมาณการเกิดผลึกมีค่าเพิ่มขึ้น แนวโน้มดังกล่าวยังสามารถเห็นได้เมื่อพิจารณาผลจาก DSC โดยเมื่อเพิ่มปริมาณ rPS พอลิเมอร์ผสมจะใช้พลังงานเพื่อหลอมละลายผลึกต่อน้ำหนักพอลิเมอร์ผสมเพิ่มขึ้นตามลำดับ และเมื่อผสม LCC หรือ GMS จะทำให้ปริมาณผลึกลดลง 1-6% จากพอลิเมอร์ที่ไม่ได้ผสม

ตารางที่ 2.24 % Crystallinity of SPS/PIP, SPS/PIP/GMS and SPS/PIP/LCC blends at various compositions

% SPS	% Crystallinity		
	SPS/PIP	SPS/PIP/GMS	SPS/PIP/LCC
40	23.37	21.58	24.45
60	27.76	29.70	31.13
80	32.62	43.00	31.34
100	57.26	49.59	51.63

จากข้อมูลอาจสังเกตได้ว่าเมื่อเพิ่มปริมาณ rPS ในพอลิเมอร์ผสม จะทำให้ปริมาณการเกิดผลึกมีค่าเพิ่มขึ้น แนวโน้มดังกล่าวยังสามารถเห็นได้เมื่อพิจารณาผลจาก DSC โดยเมื่อเพิ่มปริมาณ rPS พอลิเมอร์ผสมจะใช้พลังงานเพื่อหลอมละลายผลึกต่อน้ำหนักพอลิเมอร์ผสมเพิ่มขึ้นตามลำดับ และเมื่อผสม LCC หรือ GMS จะทำให้ปริมาณผลึกลดลง 1-6% จากพอลิเมอร์ที่ไม่ได้ผสม

จากข้อมูลที่ได้แสดง การลดปริมาณ rPS ในระบบจะทำให้ปริมาณผลึกมีค่าน้อยลงตามลำดับ นอกจากนี้การเพิ่มปริมาณ LCC หรือ GMS จะส่งผลให้ปริมาณการเป็นผลึกของ rPS มีค่าลดลง ทั้งนี้อาจพิจารณาได้จากการมีส่วนที่เป็นอสังฐานที่มากขึ้นในกรณีของการเพิ่มปริมาณพอลิเมอร์อสังฐานที่เข้าผสมกับ rPS หรือการมีส่วนที่เป็นอสังฐานที่เสถียรยิ่งขึ้นในกรณีของ LCC หรือ GMS การใส่สารเติมแต่งดังกล่าวอาจเป็นเหตุให้พอลิเมอร์ผสมที่ได้มีอัตราส่วนที่เป็นอสังฐานมีค่าเพิ่มขึ้น

ผลการทดลองตอนที่สาม

ในการทดลองตอนนี้ ใช้พอลิเมอร์ sPS ในห้องทดลองเพื่อทดสอบสมบัติทางกล โดย Dynamics Mechanical Analysis (DMA) เป็นเครื่องมือหลักในการวิเคราะห์ พอลิเมอร์ที่ใช้แทนด้วยสัญลักษณ์ sPS1 และ sPS2 ซึ่งมีมวลโมเลกุลแตกต่างกัน โดยที่ sPS1 มีมวลโมเลกุล 3.17×10^5 และ sPS2 มีมวลโมเลกุล 1.30×10^5 จะทำการทดสอบกับพอลิเมอร์ 5 ชนิด คือ Poly (alpha methylstyrene), (PaMS); Poly (n-butyl methacrylate), (PBMA); Poly (cis-isoprene), (PIP); Poly (ethyl methacrylate), (PEMA); Poly (cyclohexyl methacrylate), (PHMA) โดยวิธีหลอมละลายผสมกันแต่จะมีปริมาณตัวอย่างมากกว่าการทดลองในส่วนที่สอง ซึ่งจะให้ข้อมูลมากในญี่เพื่อทดสอบสมบัติทางกล ทำให้การทดสอบโดยการหลอมละลายให้ผลการทดสอบที่ดีกว่าในการทดลองตอนที่สองอย่างเห็นได้อย่างชัดเจน

3.1 ค่าสมบัติทางความร้อนโดย DSC

พอลิเมอร์ผสมที่ใช้ sPS1 และ sPS2 เมื่อนำมาทดสอบกับพอลิเมอร์อื่นๆ ทั้งห้าชนิด ดังกล่าว เมื่อตรวจวัดสมบัติทางความร้อนโดย DSC แล้วจะสามารถแสดงผลการตรวจวัดได้ดังนี้

ตารางที่ 3.1 Glass transition temperatures (T_g), melting temperatures (T_m) and crystallization temperatures (T_c) of sPS1 blend system

System ^a	Heat up 1		Cool down	Heat up 2	
	T_g (°C)	T_m (°C)	T_c (°C)	T_g (°C)	T_m (°C)
sPS1	100.42	267.00	213.34	100.36	268.15
sPS1/PIP	88.58	268.74	220.26	74.88	268.75
sPS1/PBMA	85.85	268.81	220.59	88.03	265.59
sPS1/PEMA	75.13	268.33	214.88	83.50	263.52
sPS1/PHMA	70.75	265.45	222.06	75.54	263.26
sPS1/PaMS	88.74	266.84	221.12	93.33	265.37

^aConditions: Temperature 300 °C, MW of sPS 31.7×10^4 and composition sPS : another polymer = 80/20 (wt/wt) by melt mixing method

ตารางที่ 3.2 Glass transition temperatures (T_g), melting temperatures (T_m) and crystallization temperatures (T_c) of sPS2 blend system

System ^a	Heat up 1		Cool down	Heat up 2	
	T_g (°C)	T_m (°C)	T_c (°C)	T_g (°C)	T_m (°C)
sPS2	97.47	267.52	234.70	100.25	265.73
sPS2/PIP	56.85	263.02	215.15	70.71	263.50
sPS2/PBMA	64.39	260.18	213.86	84.22	260.54
sPS2/PEMA	92.86	260.02	217.34	81.95	261.63
sPS2/PHMA	98.70	260.77	212.08	79.22	257.71
sPS2/PaMS	86.96	263.71	219.03	90.24	265.47

^aConditions: Temperature 300 °C, MW of sPS 13.0x10⁴ and composition sPS : another polymer =80/20 (wt/wt) by melt mixing method

ซึ่งผลการทดลองสอดคล้องกับข้อสรุปเดิมที่แสดงว่าพอลิเมอร์ทั้งห้าชนิดนี้สามารถผสมเป็นเนื้อเดียวกันได้กับ sPS ถึงแม้ว่าจะใช้ sPS ที่มีสมบัติมวลไม่เลกูลที่แตกต่างกันออกไป และเมื่อนำค่าที่วัดได้นี้ไปเทียบกับการทดลองในตอนที่สองจะสามารถแสดงผลได้ดังนี้

ตารางที่ 3.3 Glass transition temperature (T_g) of sPS polymer blend

Blending system ^a	T_g of Previous work(°C)		T_g of This work(°C)	
	Heat 1	Heat 2	Heat 1	Heat 2
sPS2/PIP	86.61	64.12	56.85	70.71
sPS2/PBMA	94.81	79.21	64.39	84.22
sPS2/PEMA	95.43	75.63	92.86	81.95
sPS2/PHMA	99.45	99.61	98.70	79.22
sPS2/PaMS	94.03	96.54	86.96	90.24

^aConditions: Temperature 300 °C, MW of sPS 13.0x10⁴ for this work, MW of sPS 1.9x10⁶ for previous work and composition sPS : another polymer =80/20 (wt/wt) by melt mixing method

จากการเทียบกันจะแสดงถึงความเป็นเนื้อเดียวกันของพอลิเมอร์ผสม และการที่ค่าอุณหภูมิคล้ายแก้ว (T_g)เปลี่ยนแปลงไปในทิศทางเดียวกัน จึงสามารถสรุปได้ว่าพอลิเมอร์ทั้งห้า

สามารถลดค่า Tg ของ sPS ได้ ทั้งนี้จะเป็นการเพิ่มอุณหภูมิที่ใช้งานได้อย่างหยุ่นเนื้อยา (ระหว่างค่า Tg และ Tm) อันจะทำให้สามารถใช้งาน sPS ได้ที่ช่วงกว้างขึ้นต่อไป แต่อย่างไรก็ตามค่า Tg ที่วัดได้มีค่าไม่เท่ากัน ทั้งนี้อาจเนื่องมาจากการใช้ sPS ที่มีมวลโมเลกุลต่างกันออกไป รวมถึงการใช้สารเติมแต่งในพอลิเมอร์ sPS2, sPS1 ซึ่งในการทดลองตอนที่ 1 และ 2 ใช้พอลิเมอร์ที่สังเคราะห์เองจึงไม่มีการเติมสารเติมแต่ง ใน การทดลองตอนนี้เนื่องจากจะพยายามหาการประยุกต์ใช้ในทางอุตสาหกรรมโดยตรง จึงใช้ sPS ที่ได้มาจากทางห้องทดลองถึงแม้ว่าจะสามารถสังเคราะห์ได้เองก็ตาม

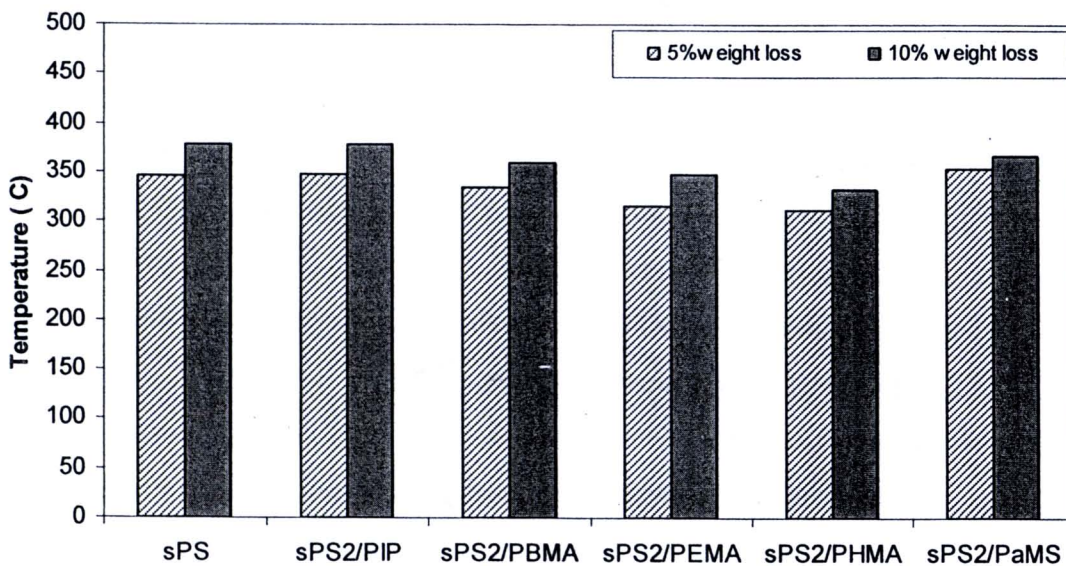
3.2 ค่าสมบัติทางความร้อนโดย TGA

จากการวัดการทนต่อกำลังความร้อนของ sPS2 และพอลิเมอร์สมโดยเครื่อง Thermal Gravimetric Analysis (TGA) ที่วัดน้ำหนักของตัวอย่างที่อุณหภูมิต่างๆ โดยการเพิ่มอุณหภูมิในอัตรา 20°C ต่อนาทีโดยตรวจวัดระหว่างอุณหภูมิ $50\text{-}400^{\circ}\text{C}$ ภายใต้บخارแก๊ส N_2 ที่อัตราการไหล 100 ml/min การทนต่อกำลังความร้อนจะวัดได้จากอุณหภูมิเมื่อน้ำหนักของพอลิเมอร์หายไป 5% และ 10% ตามลำดับ ทั้งนี้การที่มีอุณหภูมิดังกล่าวสูงจะเป็นการแสดงว่าพอลิเมอร์ดังกล่าวสามารถจะทนต่อกำลังความร้อนได้ดีกว่า เมื่อนำตัวอย่างระบบของ sPS2 มาตรวจสอบด้วยเครื่องดังกล่าวจะสามารถสรุปเป็นข้อมูลได้ดังนี้

ตารางที่ 3.4 Sample temperature at 5 % and 10 % weight loss^a

Blending system	Temperature at 5% weight loss ($^{\circ}\text{C}$)	Temperature at 10% weight loss ($^{\circ}\text{C}$)
sPS2	345.94	377.48
sPS2/PIP	347.26	377.67
sPS2/PBMA	335.13	359.81
sPS2/PEMA	316.38	348.50
sPS2/PHMA	311.72	333.18
sPS2/PaMS	353.19	366.99

^aObtained from TGA



รูปที่ 3.1 Temperature at 5% and 10% weight loss for blending system

จากราบและกราฟดังกล่าวจะสามารถสรุปได้ว่า การทนต่อความร้อนของ sPS เมื่อผสมพอลิเมอร์อีกชนิดลงไป จะทำให้การทนต่อความร้อนของ sPS เปลี่ยนไป โดยจะมีแนวโน้มที่ลดลงแต่ไม่มากนัก อุณหภูมิน้ำหนักลด 5% และ 10% ของพอลิเมอร์ผสม PIP มีค่าสูงที่สุด และต่ำที่สุดเป็นของพอลิเมอร์ผสม PHMA การประยุกติใช้งานที่อุณหภูมิสูงจำเป็นต้องทดสอบความทนต่อความร้อนเนื่องจากเมื่อพอลิเมอร์เกิดการสลายตัวจะสูญเสียน้ำหนักและทำให้สมบัติทางกลมีค่าที่ด้อยลง

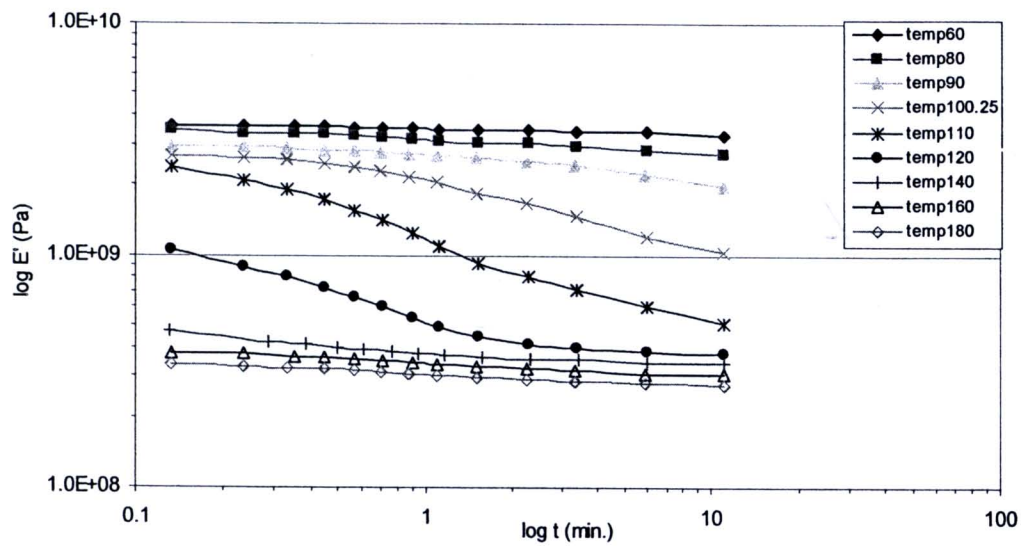
3.3 สมบัติทางกลโดย DMA

ในขั้นตอนนี้จะเป็นการทดสอบสมบัติทางกลของพอลิเมอร์ผสมและพอลิเมอร์บริสุทธิ์ (sPS1, sPS2) โดยการใช้ Dynamic Mechanical Analysis (DMA) ซึ่งจะทดสอบในช่วงอุณหภูมิต่างๆ โดยจะวัดสมบัติ E' , E'' , $\tan \delta$ ซึ่งเป็นค่าโมดูลัสที่อุณหภูมิต่างๆ เมื่อเพิ่มอุณหภูมิในอัตรา 5 °/min ค่าโมดูลัส E' จะแสดงถึงความสามารถในการรับแรงในทำนองเดียวกับค่า tensile modulus ส่วนค่า E'' จะวัดพลังงานที่เปลี่ยนไปเป็นความร้อนขันเนื่องมาจากการรับแรง (Loss Modulus) และค่า $\tan \delta$ แสดงค่า E''/E' ซึ่งจะมีค่าสูงเมื่อสามารถรับแรงได้ นอกจานี้ยังจะสามารถออกถึงค่า T_g ได้โดยการสังเกตจุดยอดของ $\tan \delta$ ได้อีกด้วย

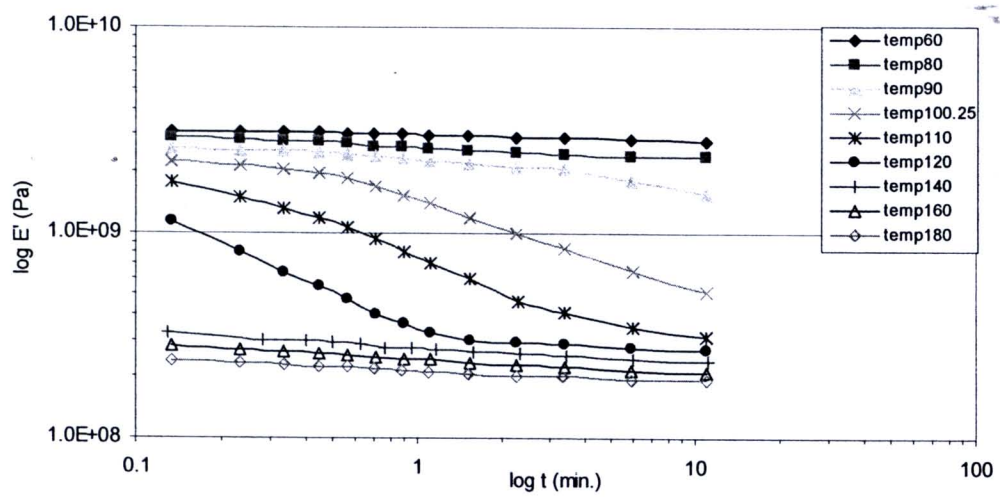
3.4 ผลกระทบเนื่องจากอุณหภูมิและเวลา

เครื่อง DMA จะทำการวัดค่า E' ที่ความถี่ต่างๆ ตลอดช่วงอุณหภูมิที่กำหนด โดยจะวัดค่า E' ตามช่วงความถี่เรียงลำดับไป เช่น วัดที่ความถี่ 0.1, 1, 10 Hz เรียงไปทีละความถี่เมื่อเพิ่มอุณหภูมิ ด้วยอัตราคงที่โดยตลอด จากค่า E' ที่แต่ละความถี่ที่อุณหภูมิต่างๆ จะสามารถคำนวณหาค่าเวลา ที่รับแรงหรืออีกนัยหนึ่งส่วนกลับของความถี่ที่อุณหภูมิต่างๆ เมื่อนำค่า E' และเวลาที่อุณหภูมิต่างๆ มาแสดงเป็นกราฟ โดยลากเส้นเชื่อมต่อที่อุณหภูมิเดียวกัน จะได้กราฟดังแสดงดังต่อไปนี้

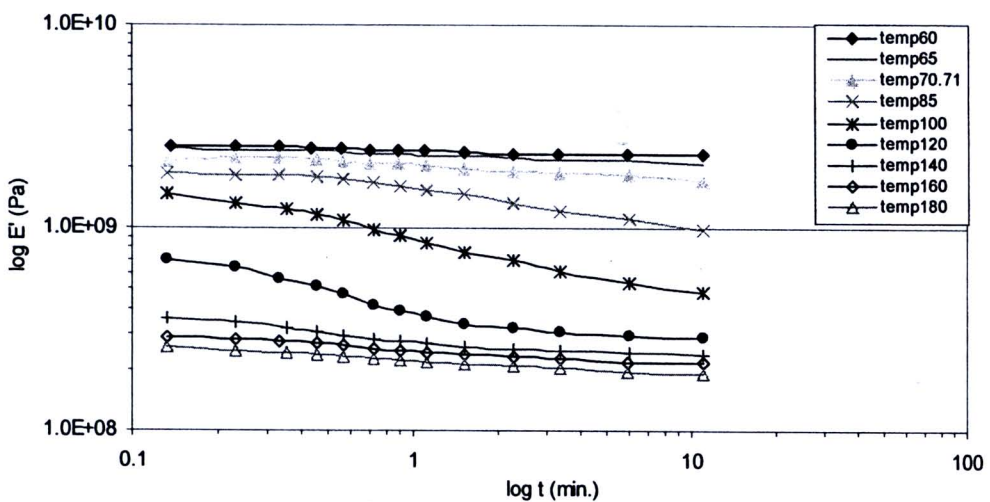
ที่เวลารับแรงสูงๆ หรือความถี่ต่ำ พอลิเมอร์จะมีเวลาจัดเรียงตัวเพื่อการรับแรงที่มากกว่า จึงทำให้ค่า E' มีค่าลดลงเมื่อเพิ่มเวลาที่อุณหภูมิคงที่ และโดยเฉพาะอย่างยิ่งที่อุณหภูมิ T_g การเพิ่มเวลาในการรับแรงหรือการลดความถี่ จะทำให้ค่า E' ลดลงเป็นอย่างมากที่เวลาเพิ่มขึ้นและความถี่ลดลง ทั้งนี้เนื่องจากโมเลกุลพอลิเมอร์ที่อุณหภูมิต่ำกว่า T_g จะไม่สามารถขยายตัวอย่างอิสระทำให้พลังงานที่รับได้มีค่าสูง แต่เมื่ออุณหภูมิสูงกว่า T_g พอลิเมอร์โมเลกุลจะสามารถเคลื่อนที่ได้โดยง่ายและอิสระมากขึ้น ทำให้ความสามารถในการคืนพลังงานมีค่าลดลงนั่นคือ E' จะมีค่าลดลงที่อุณหภูมิที่สูงขึ้นเมื่อเทียบเวลาเดียวกันจะสังเกตเห็นได้ว่าค่า E' จะมีค่าลดลงตามลำดับทั้งนี้เนื่องมาจากการสามารถในการรับแรงจะลดลงเมื่อโมเลกุลใช้พลังงานที่น้อยลงในการรับแรง หรือพลังงานที่ป้อนให้ในช่วงเวลาที่กำหนดจะสามารถเปลี่ยนแปลงสมบัติทางกลได้ง่ายกว่าเมื่อระบบมีอุณหภูมิสูงขึ้น ค่า E' ที่เวลาและอุณหภูมิต่างๆ จะสามารถแสดงได้ดังต่อไปนี้



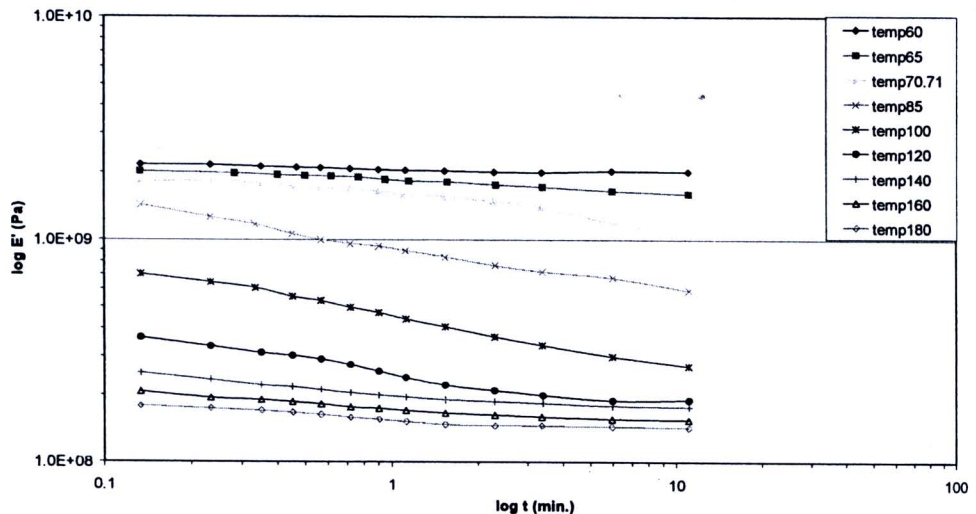
รูปที่ 3.2 E' curve as time function for sPS1



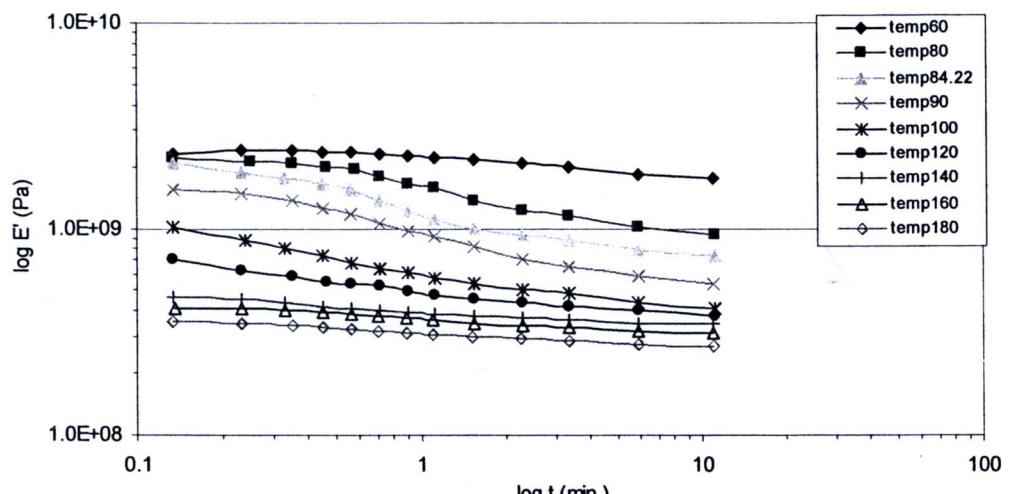
รูปที่ 3.3 E' curve as time function for sPS2



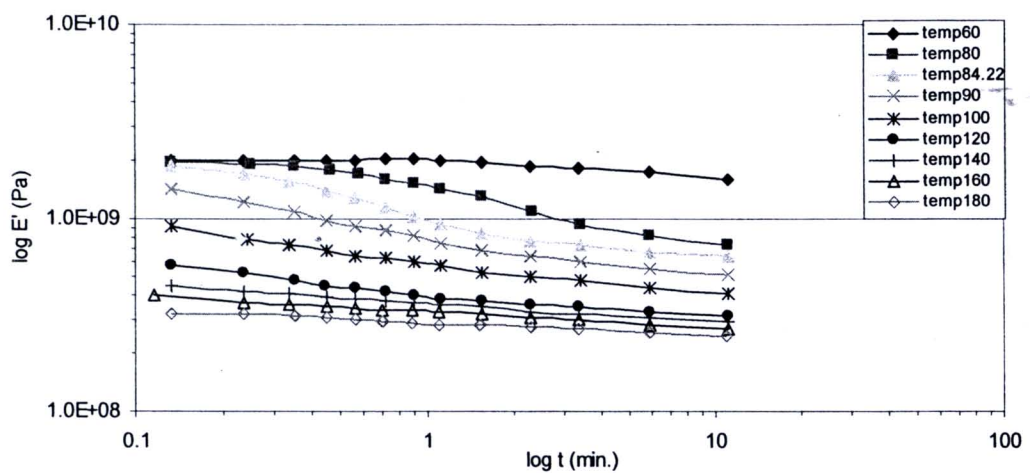
รูปที่ 3.4 E' curve as time function for sPS1/PIP blend



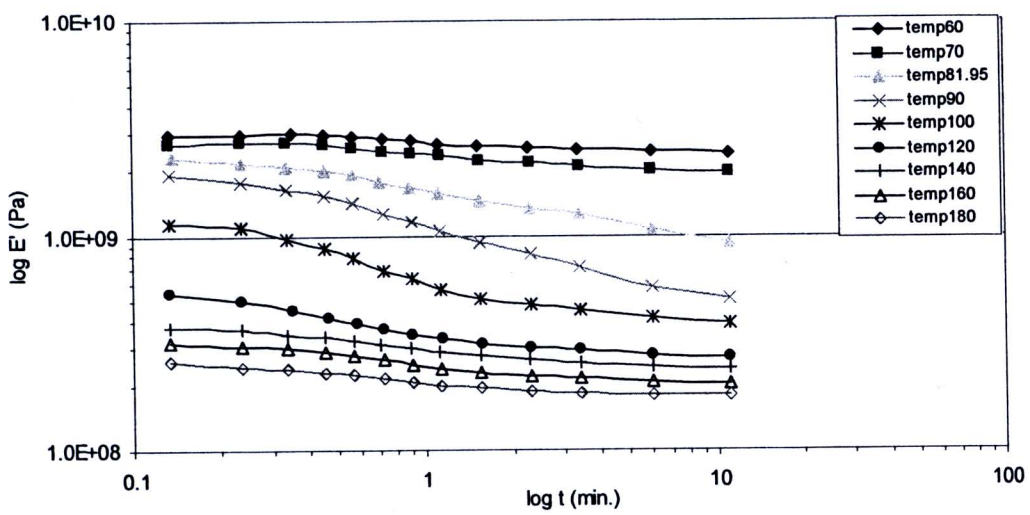
รูปที่ 3.5 E' curve as time function for sPS2/PIP blend



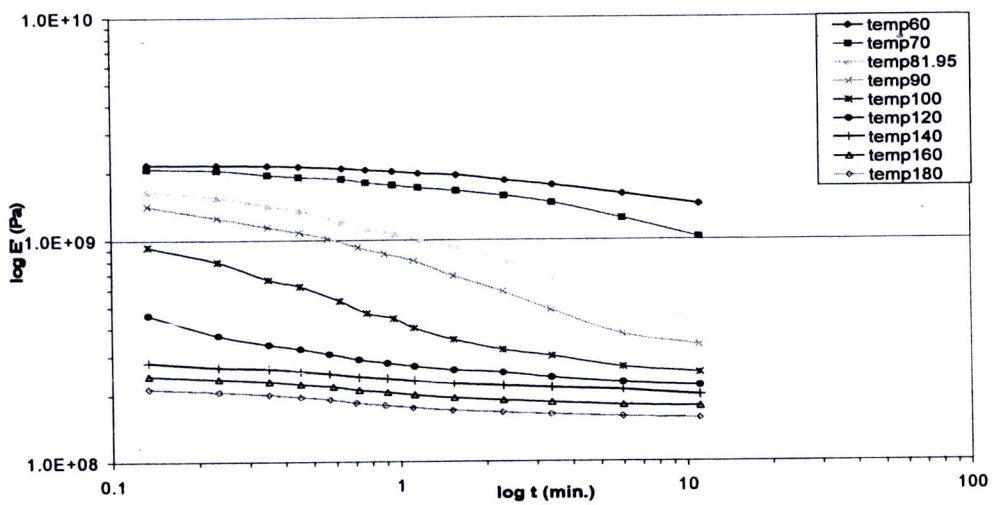
รูปที่ 3.6 E' curve as time function for sPS1/PBMA blend



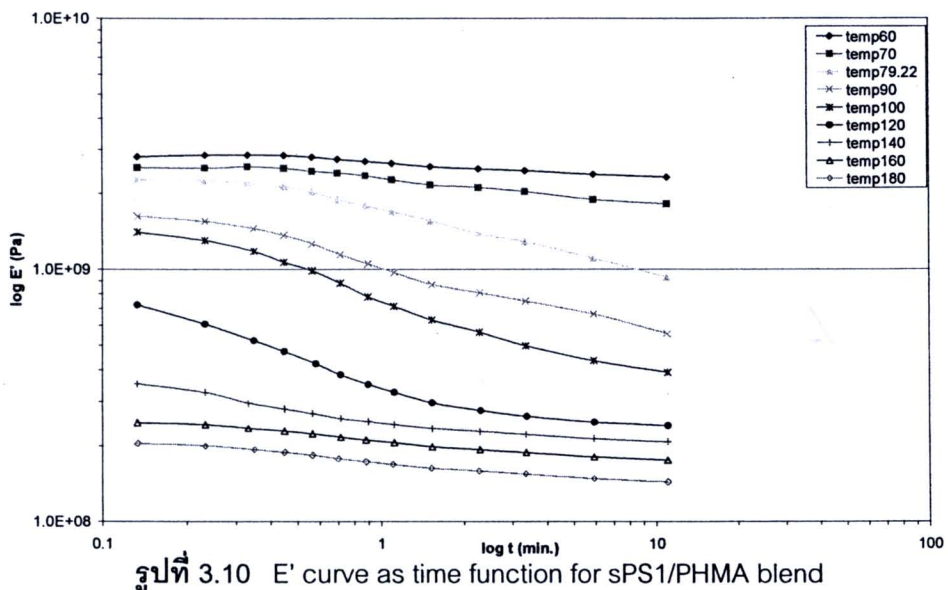
รูปที่ 3.7 E' curve as time function for sPS2/PBMA blend



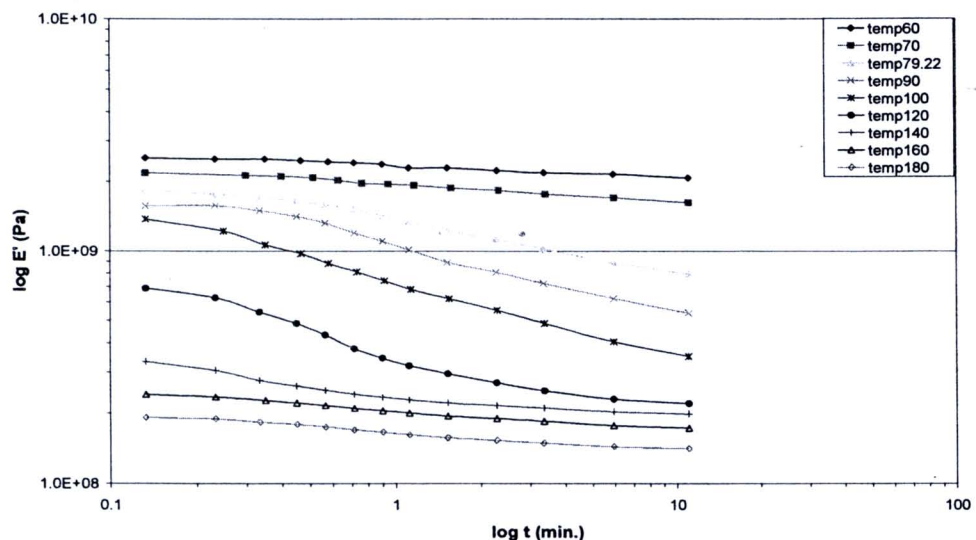
รูปที่ 3.8 E' curve as time function for sPS1/PEMA blend



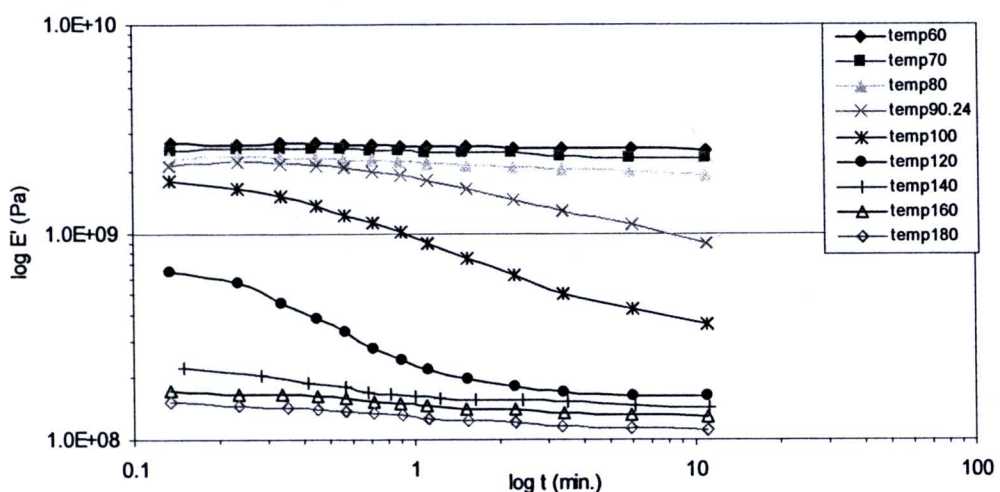
รูปที่ 3.9 E' curve as time function for sPS2/PEMA blend



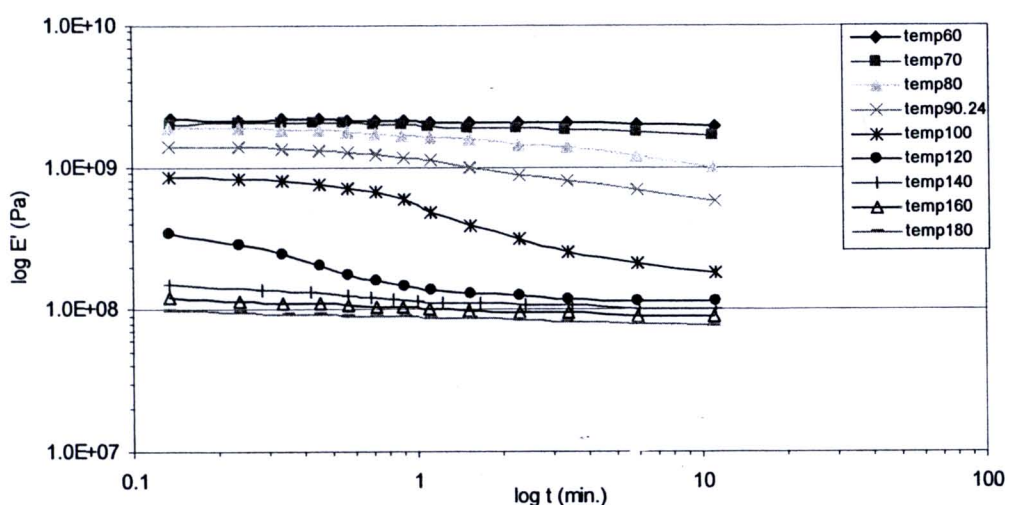
รูปที่ 3.10 E' curve as time function for sPS1/PHMA blend



รูปที่ 3.11 E' curve as time function for sPS2/PHMA blend



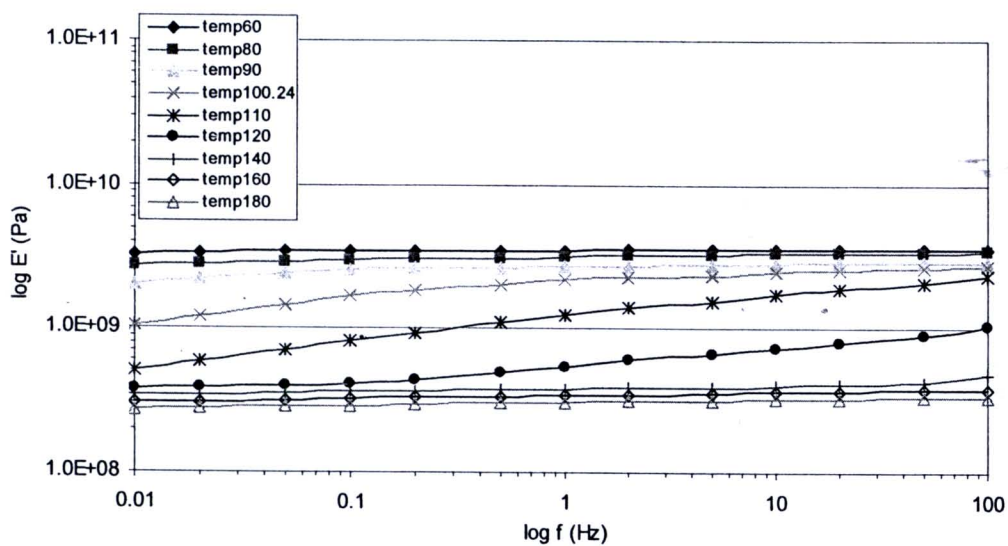
รูปที่ 3.12 E' curve as time function for sPS1/PaMS blend



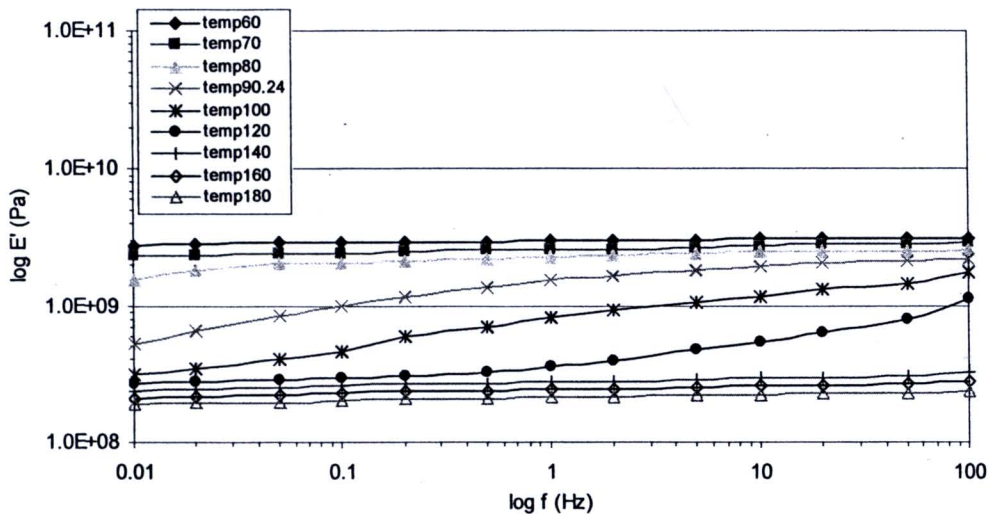
รูปที่ 3.13 E' curve of time as time function for sPS2/PaMS blend

3.5 ผลกระทบเนื่องจากความถี่

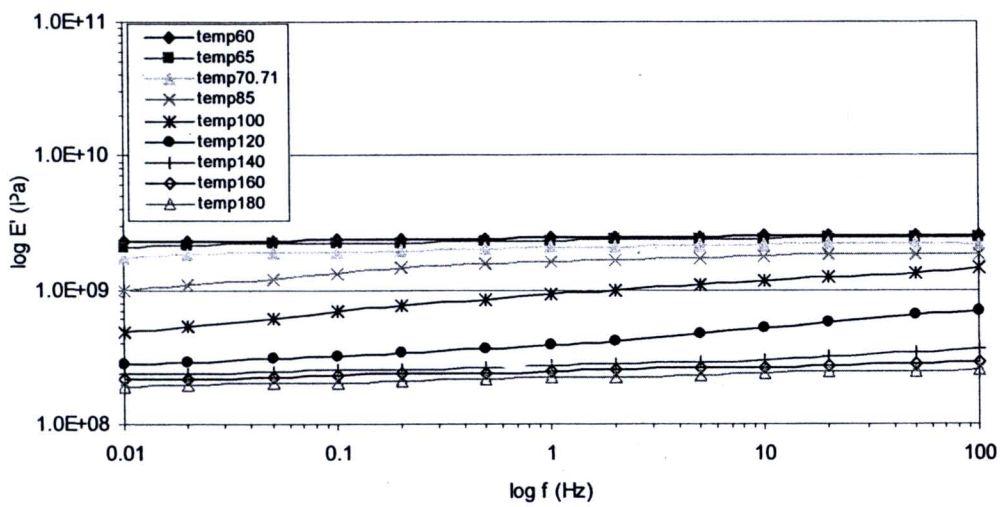
ความถี่ของการให้แรงมีค่าอยู่ระหว่าง 0.01 ถึง 10 Hz (s^{-1}) และเมื่อทดสอบค่า E' จะมีค่าสูงขึ้นเมื่อความถี่สูงขึ้น ทั้งนี้เนื่องจากที่ความถี่สูงแรงที่ป้อนลงบนชิ้นงานในช่วงเวลาหนึ่งจะมีช่วงเวลาคืนตัวต่ำหรือแรงที่ป้อนให้ชิ้นงานจะมีช่วงที่ให้แรงที่สั้นกว่า ทำให้สามารถเก็บพลังงานกลับคืนได้สูงกว่าในช่วงที่มีความถี่ต่ำเนื่องจากความถี่เป็นส่วนกลับของเวลา การตอบสนองต่อความถี่ที่เพิ่มขึ้นจะเป็นการตอบสนองต่อเวลาที่ลดลง E' จึงมีการตอบสนองในทิศที่กลับกันการตอบสนองของเวลา อันจะสามารถสรุปได้ในกรณีเดียวกับเวลา ที่อุณหภูมิต่ำ E' จะมีค่าสูงและเมื่อลดความถี่ค่า E' จะมีค่าลดลง เมื่อการเพิ่มอุณหภูมิอยู่ในช่วง T_g ค่า E' จะเปลี่ยนแปลงอย่างรวดเร็วโดยเมื่อลดความถี่ค่า E' จะมีค่าลดลงอย่างยิ่ง และที่เหนืออุณหภูมิ T_g ไม่เล็กพอลิเมอร์จะเคลื่อนที่ได้เป็นอิสระมากขึ้น ทำให้ความสามารถในการคืนแรงมีค่าต่ำลง อันจะทำให้ค่า E' มีค่าลดลง



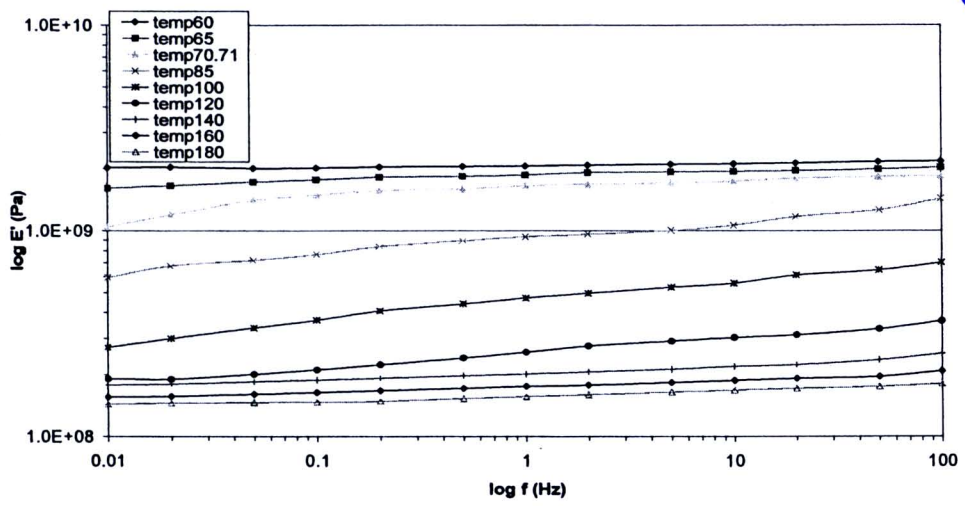
รูปที่ 3.14 E' curve as frequency function for sPS1



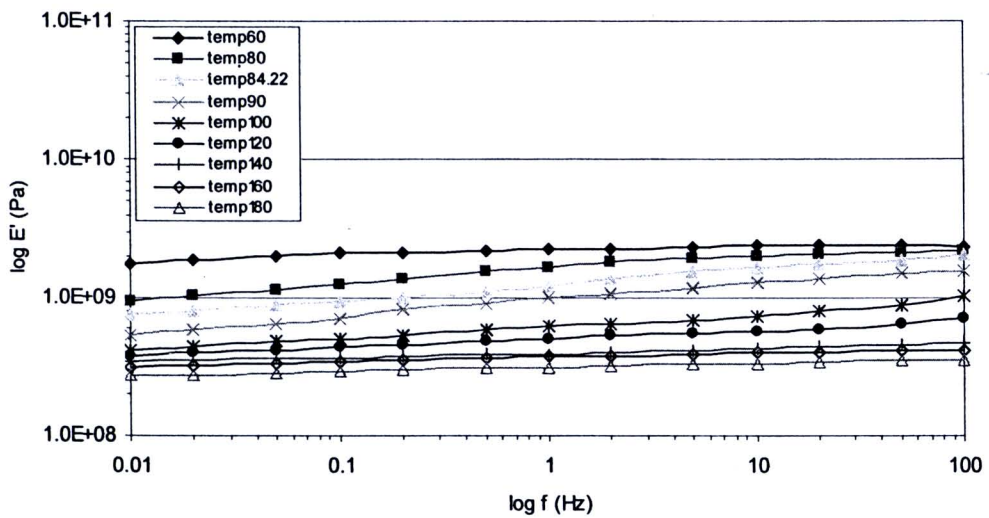
รูปที่ 3.15 E' curve as frequency function for sPS2



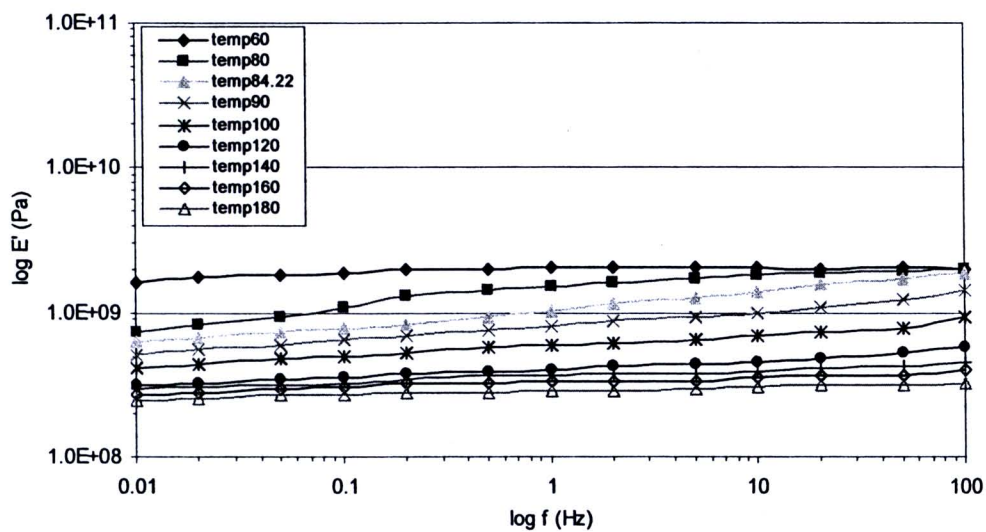
รูปที่ 3.16 E' curve as frequency function for sPS1/PIP blend



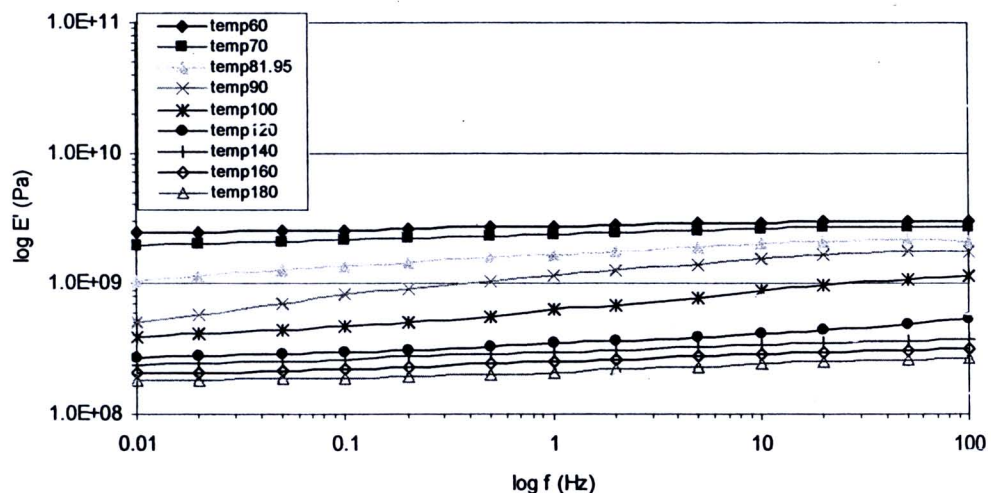
รูปที่ 3.17 E' curve as frequency function for sPS2/PIP blend



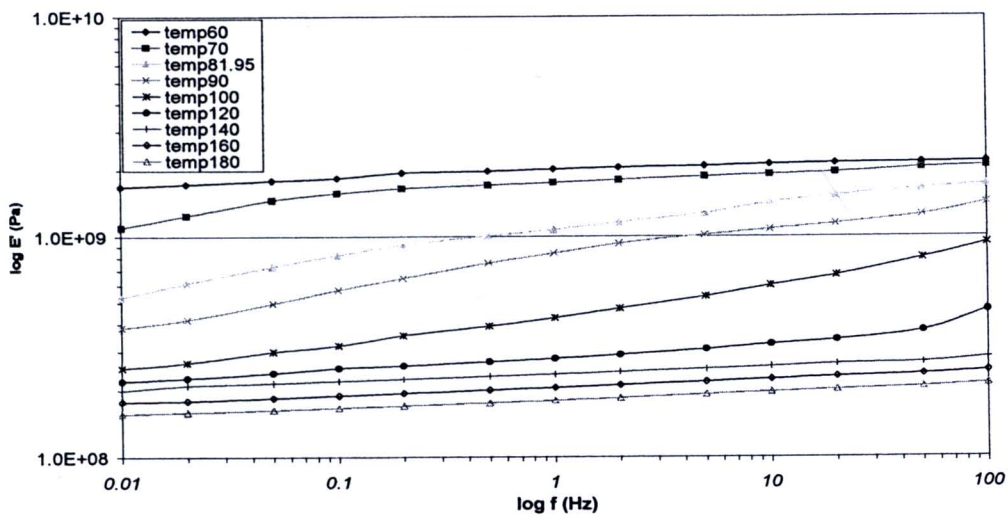
รูปที่ 3.18 E' curve as frequency function for sPS1/PBMA blend



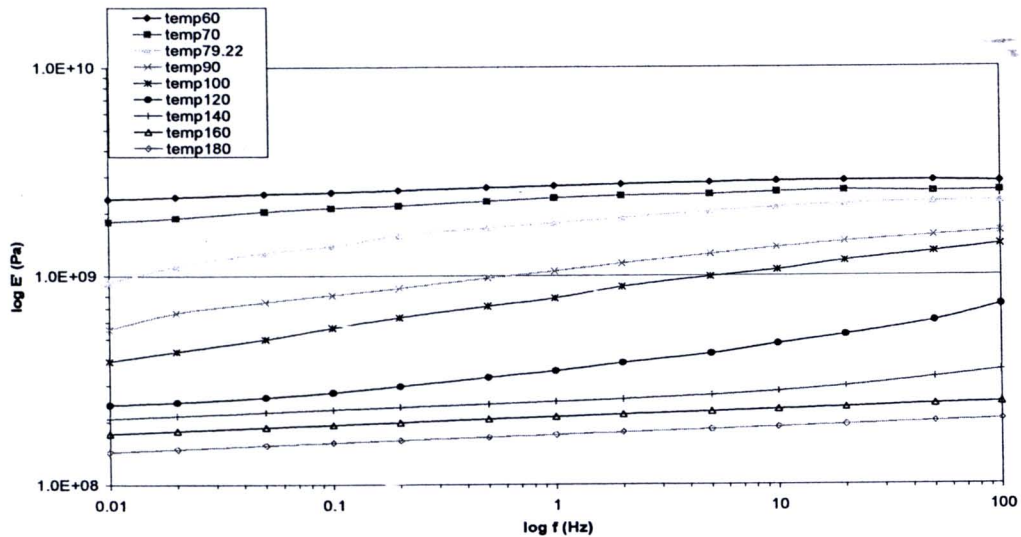
รูปที่ 3.19 E' curve as frequency function for sPS2/PBMA blend



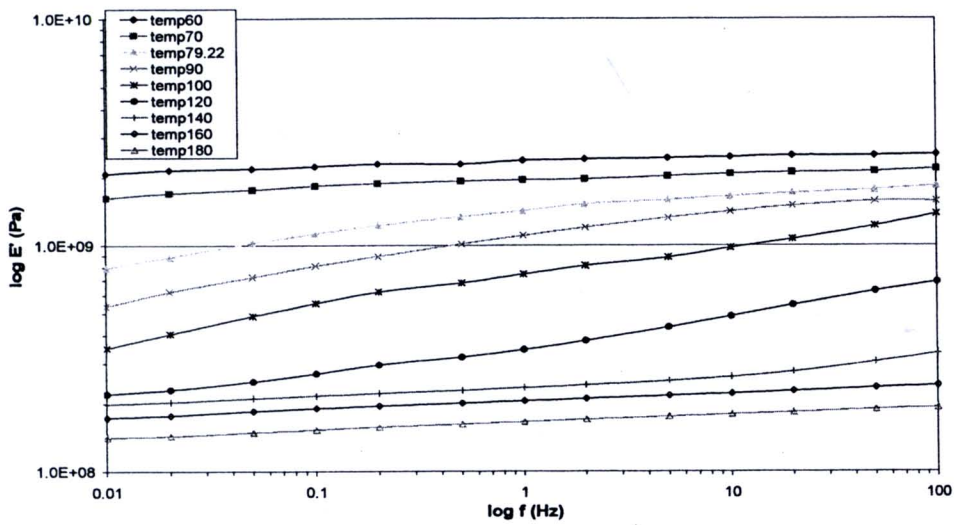
รูปที่ 3.20 E' curve as frequency function for sPS1/PEMA blend



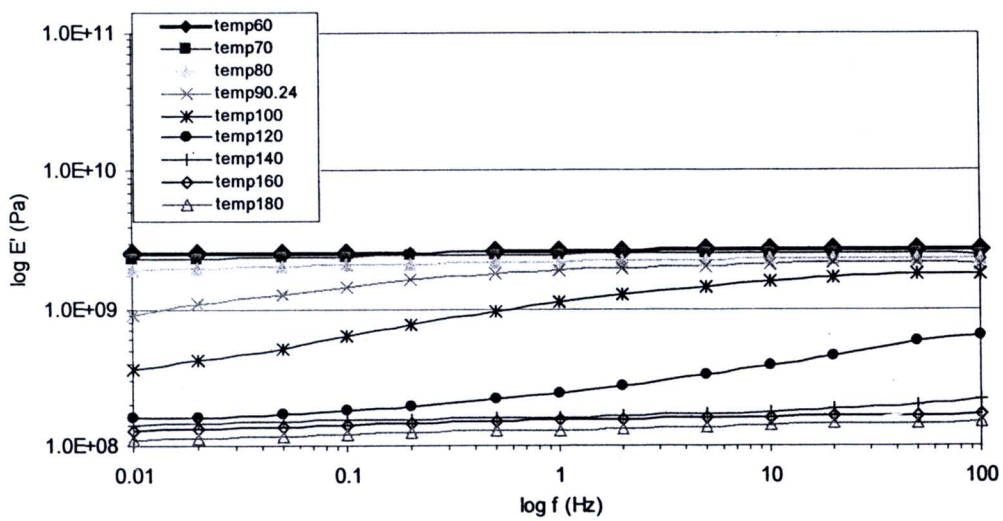
รูปที่ 3.21 E' curve as frequency function for sPS2/PEMA blend



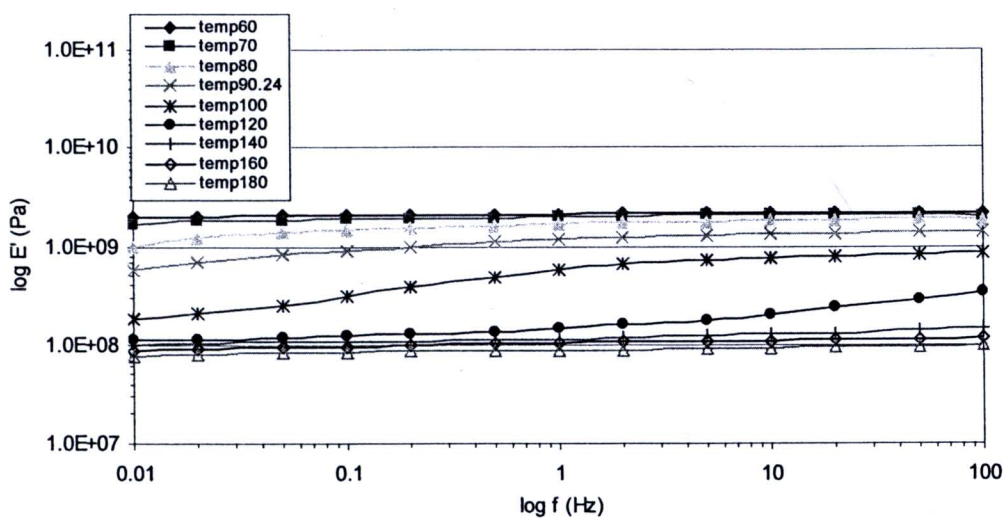
รูปที่ 3.22 E' curve as frequency function for sPS1/PHMA blend



รูปที่ 3.23 E' curve as frequency function for sPS2/PHMA blend



รูปที่ 3.24 E' curve as frequency function for sPS1/PaMS blend

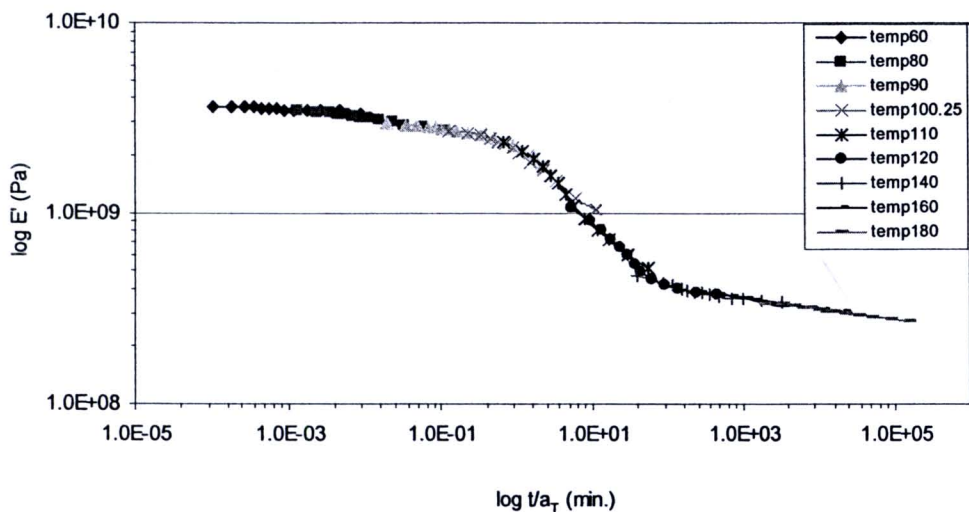


รูปที่ 3.25 E' curve as frequency function for sPS2/PaMS blend

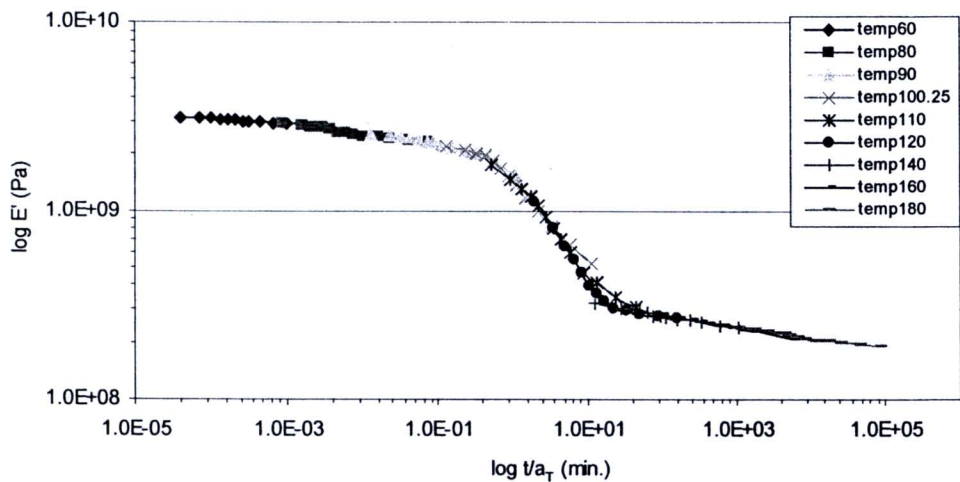
3.6 การสร้างกราฟการรับแรงรวมโดยการใช้ Time-Temperature Superposition (TTS)

ในขั้นนี้กราฟรวมยอดที่แสดงถึงความสัมพันธ์ระหว่างค่า E' และเวลาโดยที่จะสร้างกราฟจาก การเปลี่ยนค่าในแกนเวลาให้เลื่อนไปด้านซ้ายโดยการหารค่าในแกน X ด้วยค่า a_T ซึ่งเป็นค่าคงที่ หรือคือการเลื่อนกราฟไปด้านซ้ายจนช้อนทับกับกราฟที่ยึดถือเป็นหลักที่ค่า T_g ทั้งนี้เนื่องจาก ค่า T_g เป็นค่ามาตรฐานที่มีการเปลี่ยนแปลงของ E' มากที่สุดและโดยมากจะยึดถือเป็นอุณหภูมิที่ บ่งบอกการใช้งานของพอลิเมอร์ พอลิเมอร์ที่มีการใช้งานในช่วงหุ่นเหี้ยจะใช้งานในช่วงที่สูง กว่าค่า T_g และพอลิเมอร์ที่ใช้งานในช่วงแข็งเกร็งจะใช้งานในช่วงที่อุณหภูมิต่ำกว่าค่า T_g และ โดยปกติแล้วหากพอลิเมอร์ไม่มีผลึก จะใช้งานในช่วงที่เป็นการแข็งเกร็งและพอลิเมอร์ที่มีผลึกจะ ใช้งานในช่วงหุ่นเหี้ย ทั้งนี้เนื่องจากจะให้ค่าความทนทานที่ดีที่สุดตามลักษณะของพอลิเมอร์ ส่วน SPS การใช้งานจะมองความหุ่นเหี้ยเป็นหลักเนื่องจากเป็นพอลิเมอร์ที่สามารถเกิดผลึกได้ แต่การใช้งานพอลิสไตรีนนิดเดือนสัญญาจะใช้งานในช่วงที่อุณหภูมิต่ำกว่า T_g

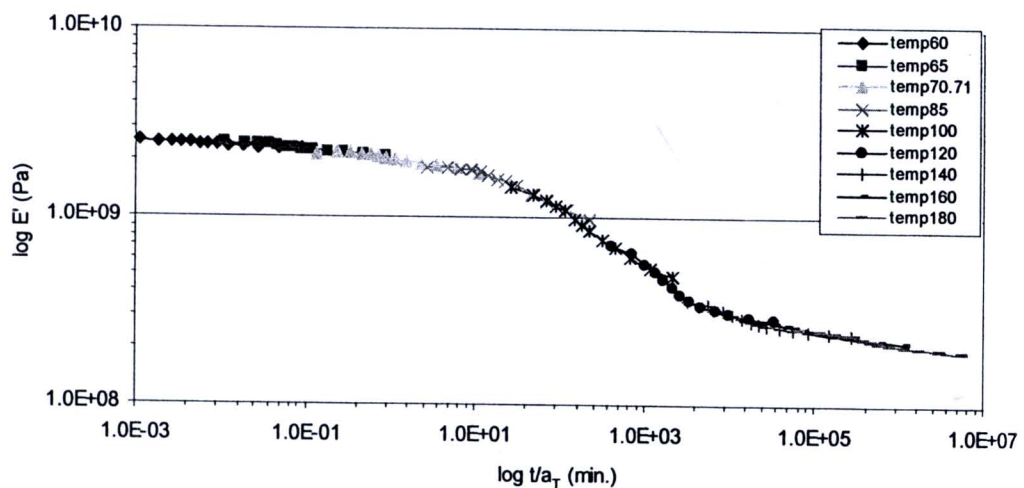
การเลื่อนกราฟไปด้านซ้ายทั้งสองด้านนี้เป็นการประมาณการใช้งานที่เวลาต่างไปจาก 1 วินาทีที่ถือเอกสาร T_g และกราฟของ E' เป็นหลัก โดยธรรมชาติแล้วกราฟ E' ที่อุณหภูมิสูงกว่า T_g จะมีค่า E' ที่ต่ำกว่าค่า E' ที่อุณหภูมิ T_g และกราฟดังกล่าวเมื่อใช้ Time-Temperature superposition แล้วจะเลื่อนไปทางด้านขวา และเมื่อบางส่วนของกราฟช้อนทับกันเป็นเนื้อเดียวกันที่ยื่นออกไปทางด้านขวาจะแสดงถึงการใช้งานรับแรงที่มีเวลาในการรับแรงที่นานขึ้น และ ในทำนองเดียวกันกับกราฟ E' ที่อุณหภูมิต่ำกว่า T_g จะมีค่า E' สูงกว่าค่า E' ของอุณหภูมิ มาตรฐาน ทำให้สามารถเลื่อนกราฟไปช้อนทับกับกราฟหลักที่ T_g โดยการเลื่อนไปทางซ้าย เมื่อบางส่วนของกราฟช้อนทับกัน ส่วนที่ยื่นออกไปทางด้านซ้ายจะแสดงถึงการรับแรงที่เวลาน้อยๆ หรือคือการรับแรงกระแทก เมื่อช้อนทับและเลื่อนกราฟไปด้านซ้ายแล้วจะสามารถเขียนเป็นกราฟรับแรงหลักได้ดังสามารถแสดงได้ดังต่อไปนี้



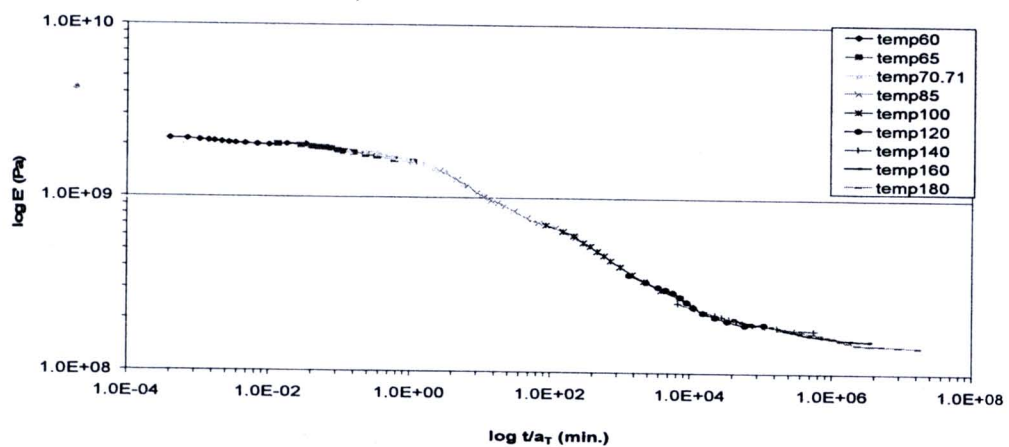
รูปที่ 3.26 Master curve for sPS1 as time function with T_r 100.25 °C



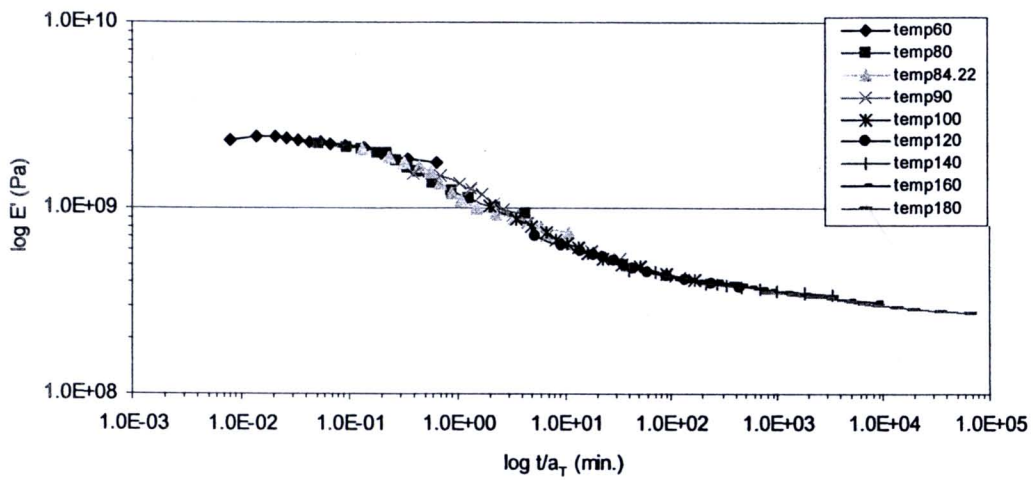
รูปที่ 3.27 Master curve for sPS2 as time function with T_r 100.25 °C



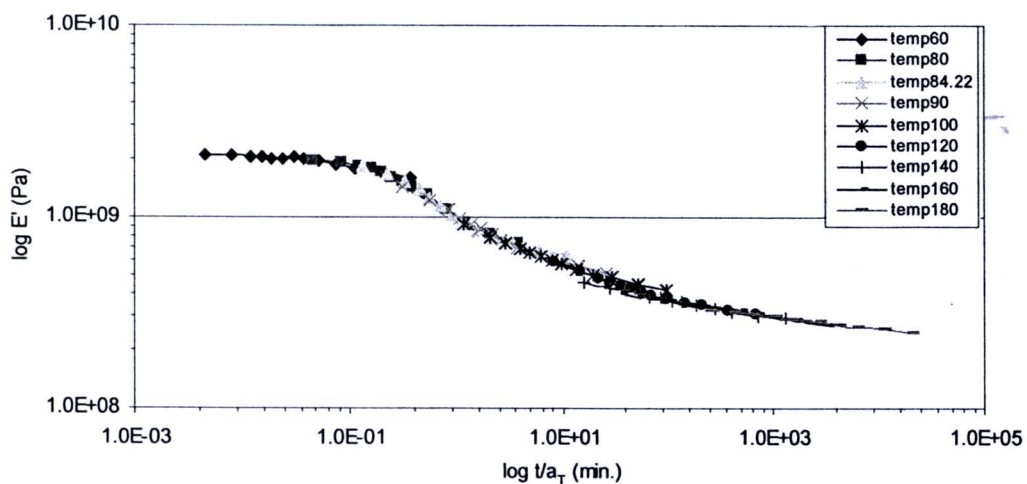
รูปที่ 3.28 Master curve for sPS2 as time function with T_r 100.25 °C



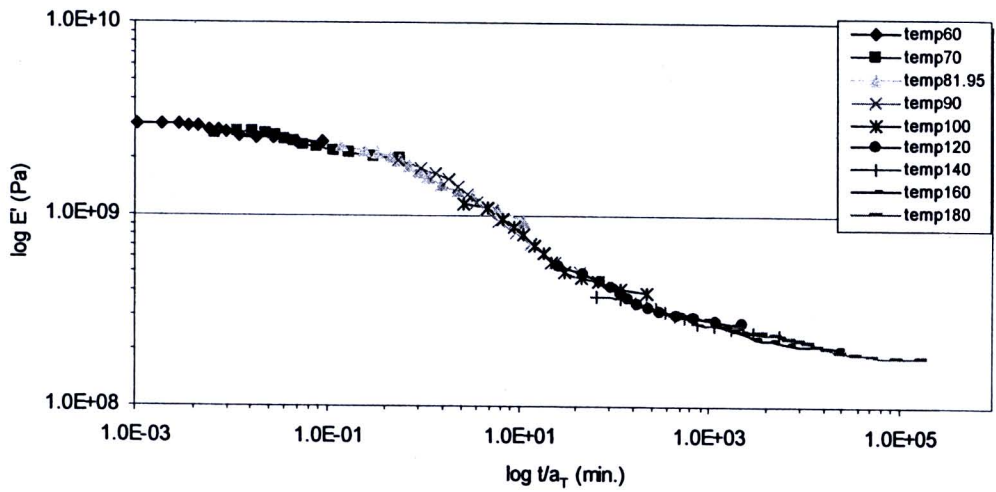
รูปที่ 3.29 Master curve for sPS2/PIP blend as time function with T_r 70.71 °C



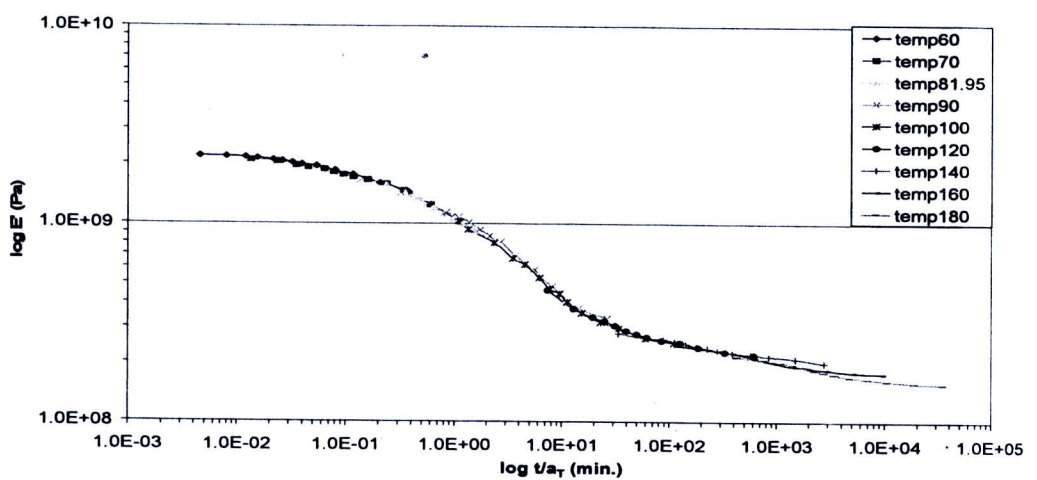
รูปที่ 3.30 Master curve for sPS1/PBMA blend as time function with T_r , 84.22 °C



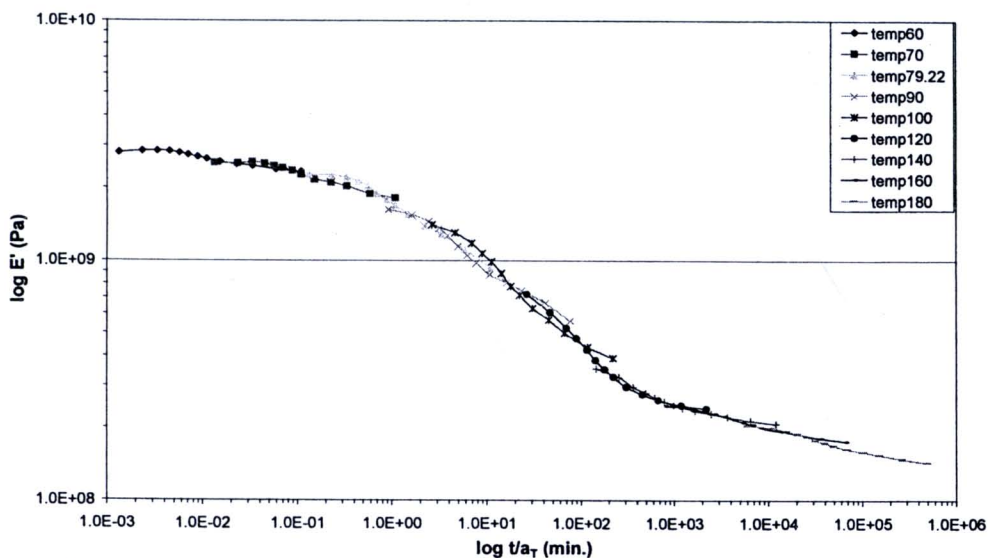
รูปที่ 3.31 Master curve for sPS2/PBMA blend as time function with T_r , 84.22 °C



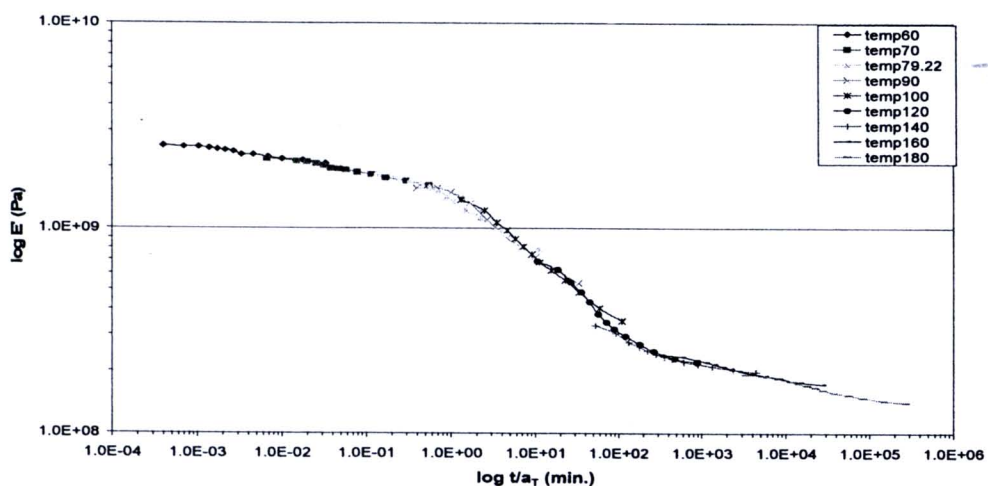
รูปที่ 3.32 Master curve for sPS1/PEMA blend as time function with $T_r = 81.95 ^\circ C$



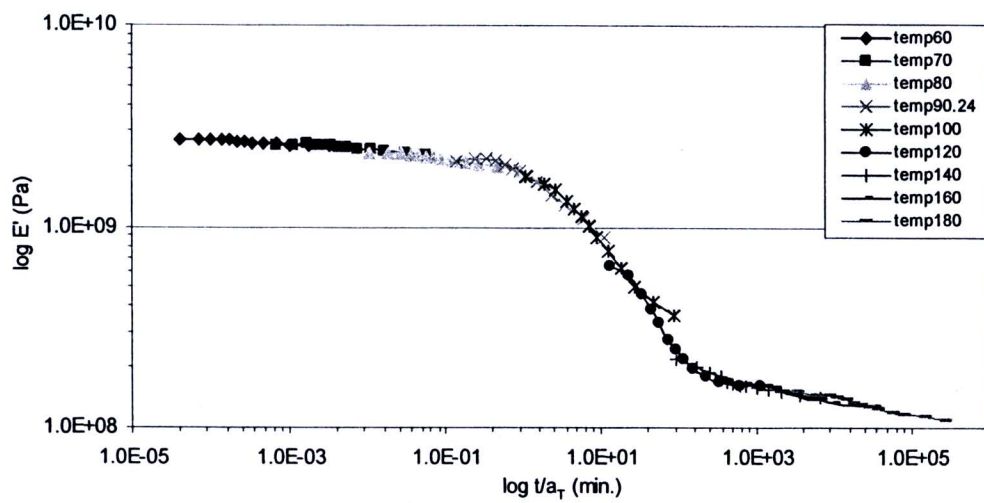
รูปที่ 3.33 Master curve for sPS2/PEMA blend as time function with $T_r = 81.95 ^\circ C$



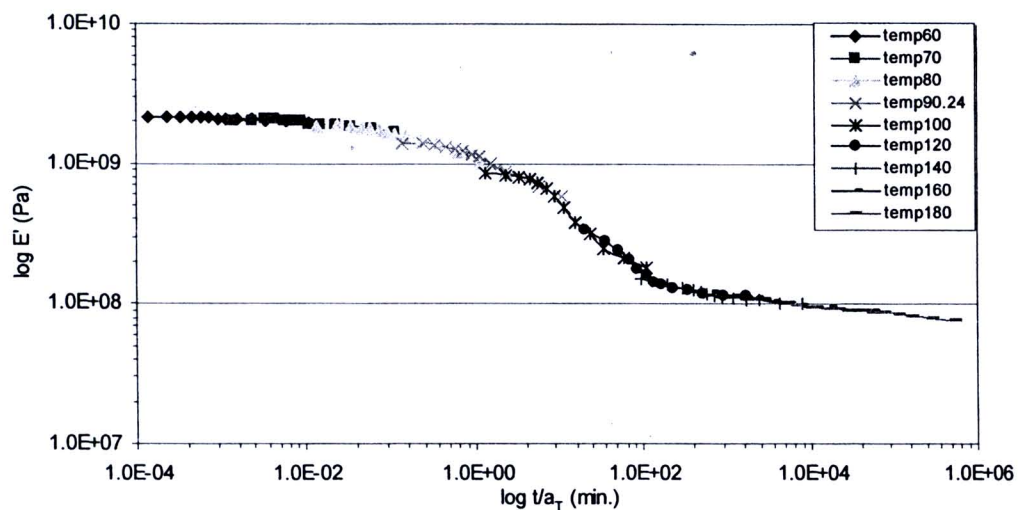
รูปที่ 3.34 Master curve for sPS1/PHMA blend as time function with T_r 79.22 $^{\circ}\text{C}$



รูปที่ 3.35 Master curve for sPS2/PHMA blend as time function with T_r 79.22 $^{\circ}\text{C}$

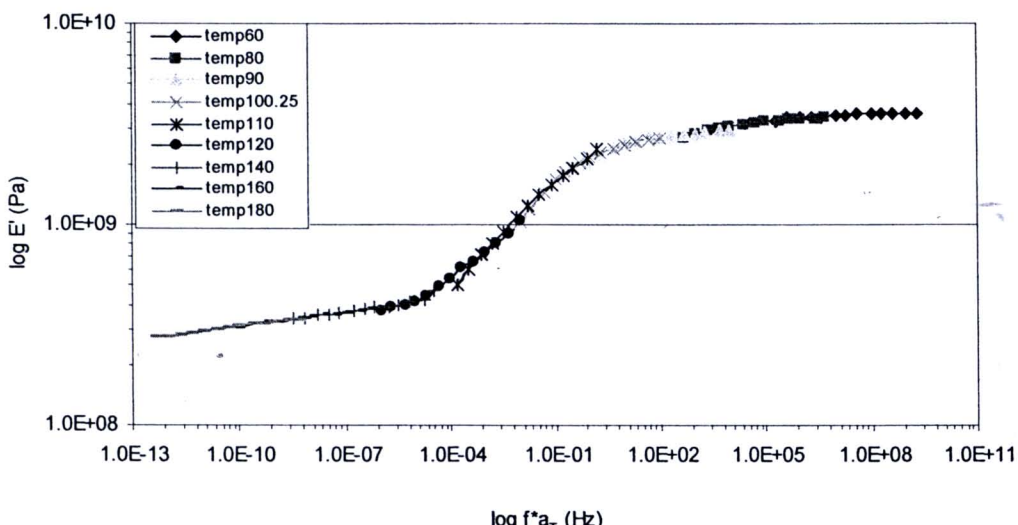


รูปที่ 3.36 Master curve for sPS1/PaMS blend as time function with T_r 90.24 °C

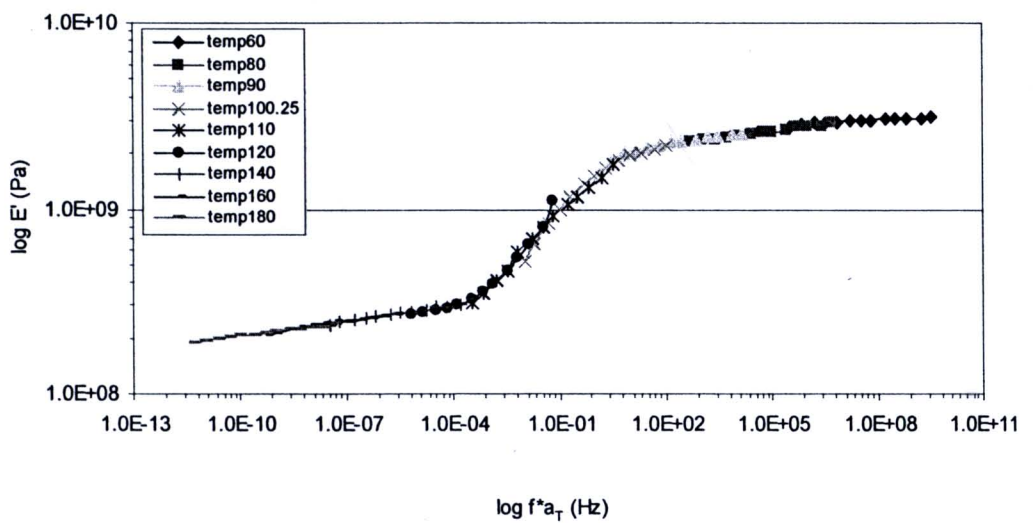


รูปที่ 3.37 Master curve for sPS2/PaMS blend as time function with T_r 90.24 °C

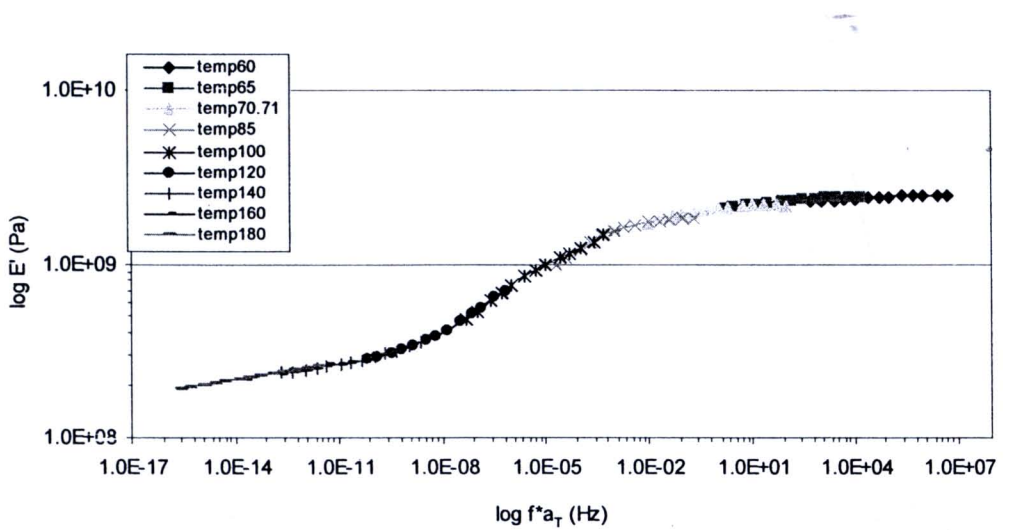
การที่สามารถเลื่อนกราฟ E' ที่อุณหภูมิต่างๆไปด้านซ้ายได้นี้จะทำให้สามารถประมาณการรับแรงที่มีจังหวะต่างๆออกໄປที่อุณหภูมิอ้างอิง (ซึ่งในที่นี้คืออุณหภูมิ T_g) ได้ซึ่งจะมีประโยชน์อย่างยิ่งในการคำนวณการรับแรงที่มีเงื่อนไขการรับแรงที่สภาวะต่างๆ โดยทั่วไปแล้วจะสามารถสร้างกราฟรับแรงหลักนี้ได้ที่อุณหภูมิที่ออกแบบให้รับแรงโดยจะเลื่อนกราฟออกໄປทั้งซ้ายและขวาโดยเทียบจากอุณหภูมิอ้างอิงและจะสามารถประมาณค่า E' ที่เงื่อนไขของการรับแรงต่างๆที่อุณหภูมนั้นๆได้ทันที ซึ่งอุณหภูมิที่ถือเป็นมาตรฐานจะมีค่ากลางเป็น 1 วินาที หรือนั้นคือการเปลี่ยนแปลงแก่นอนโดยแกนตั้งไม่เปลี่ยนแปลงเมื่อเปลี่ยนอุณหภูมิอ้างอิงໄປที่อุณหภูมิอื่นๆ และกราฟการรับแรงหลัก (E') จะมีรูปร่างเหมือนเดิม นอกจานี้ยังจะสามารถเรียนกราฟการรับแรงหลักให้เป็นตัวแบบของความถี่อกเหนือจากอุณหภูมิได้อีกด้วยดังต่อไปนี้



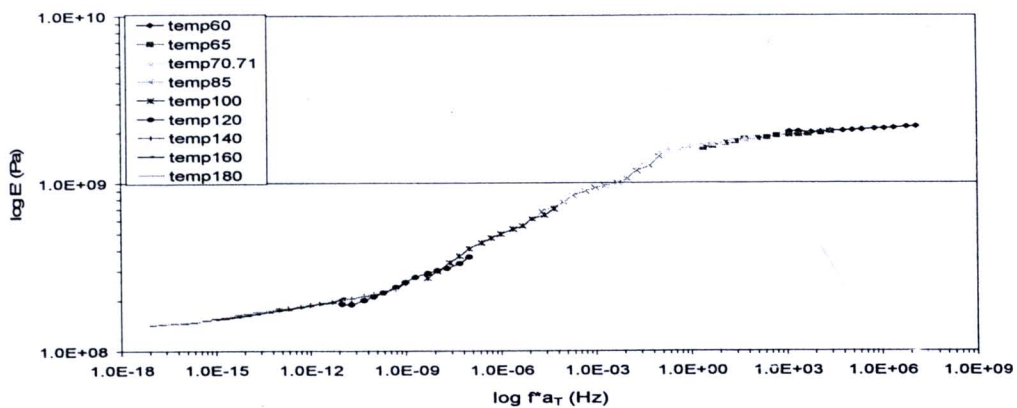
รูปที่ 3.38 Master curve for sPS1 as frequency function with T_g 100.25 °C



รูปที่ 3.39 Master curve for sPS2 as frequency function with T_r 100.25 °C

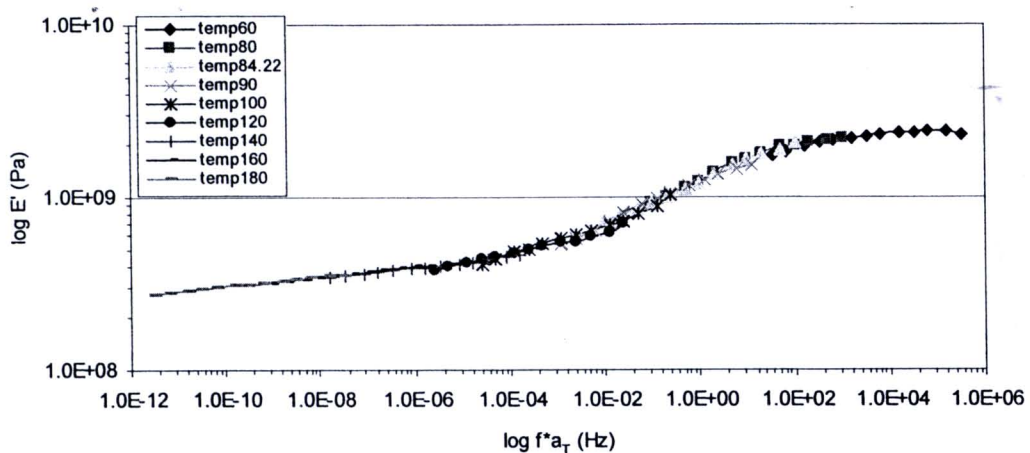


รูปที่ 3.40 Master curve for sPS1/PIP blend as frequency function
with T_r 70.71 °C



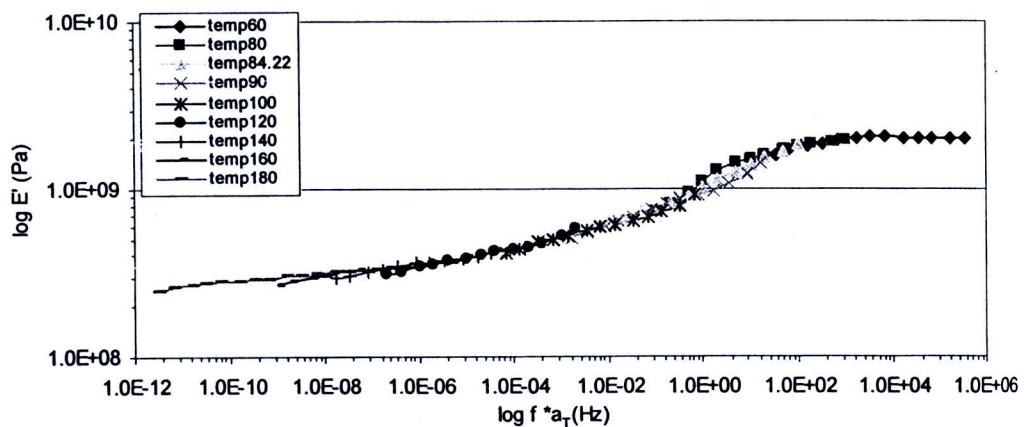
รูปที่ 3.41 Master curve for sPS2/PIP blend as frequency function

with T_g 70.71 °C

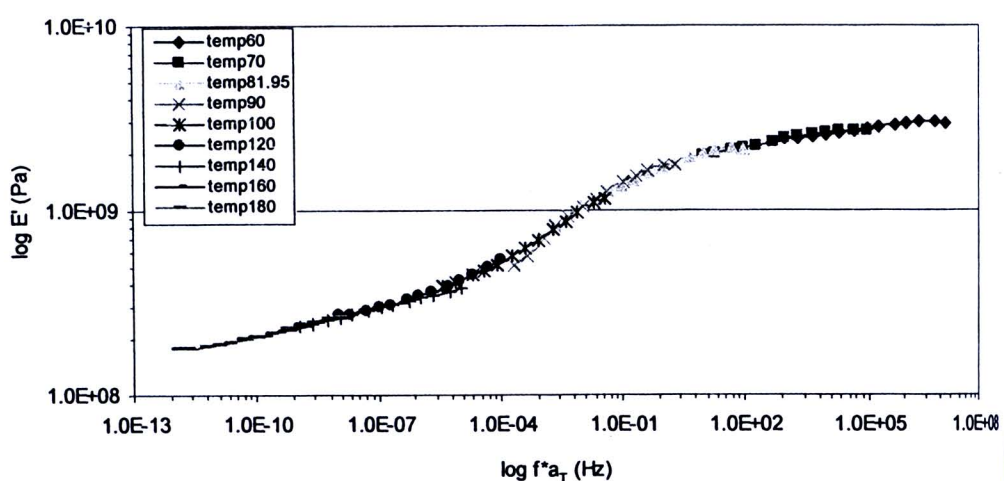


รูปที่ 3.42 Master curve for sPS1/PBMA blend as frequency function

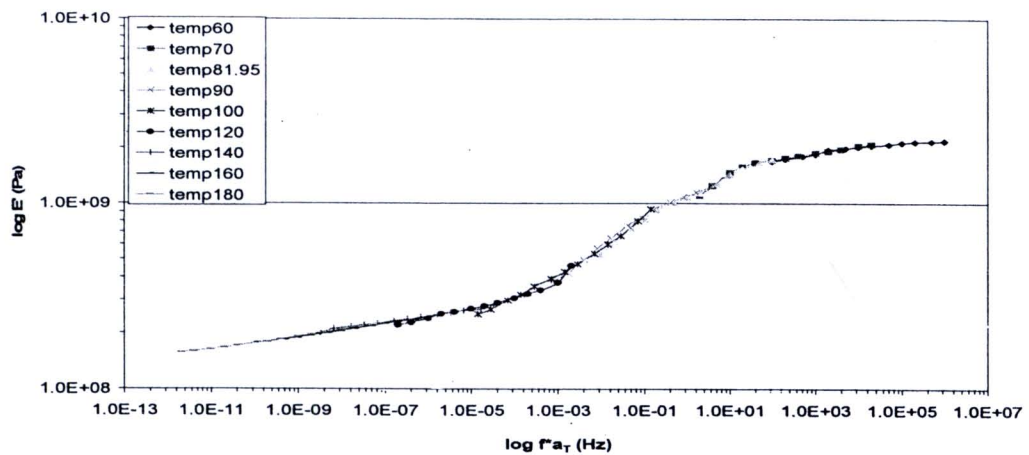
with T_g 84.22 °C



รูปที่ 3.43 Master curve for sPS2/PBMA blend as frequency function
with T_r 84.22 °C

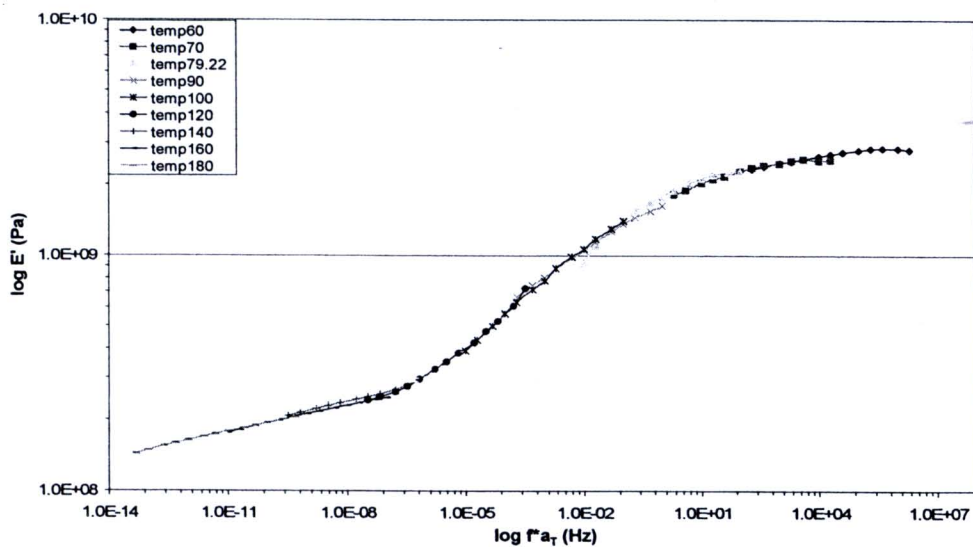


รูปที่ 3.44 Master curve for sPS1/PEMA blend as frequency function
with T_r 81.95 °C



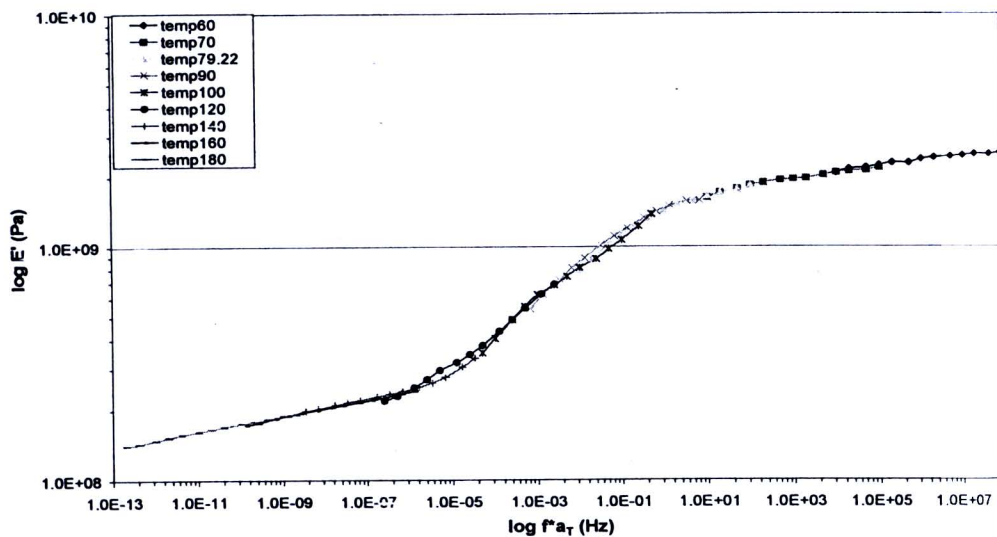
รูปที่ 3.45 Master curve for sPS2/PEMA blend as frequency function

with $T_r 81.95^\circ\text{C}$



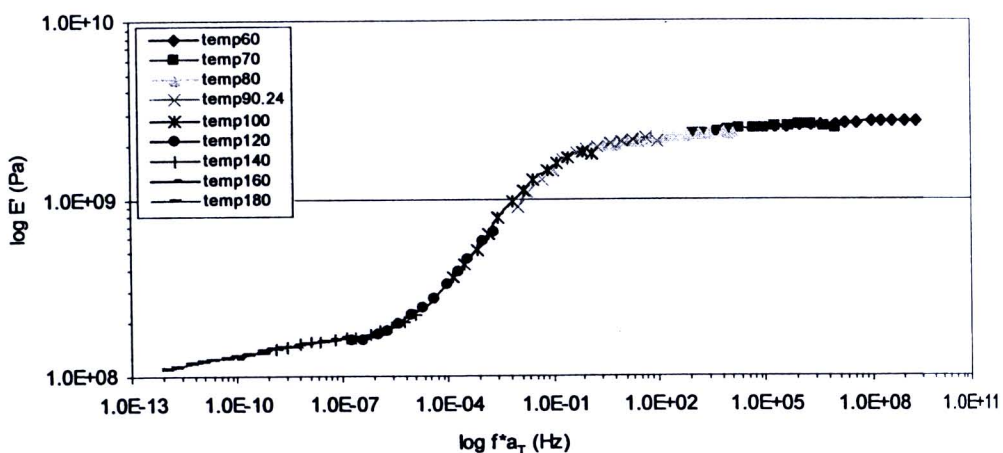
รูปที่ 3.46 Master curve for sPS1/PHMA blend as frequency function

with $T_r 79.22^\circ\text{C}$



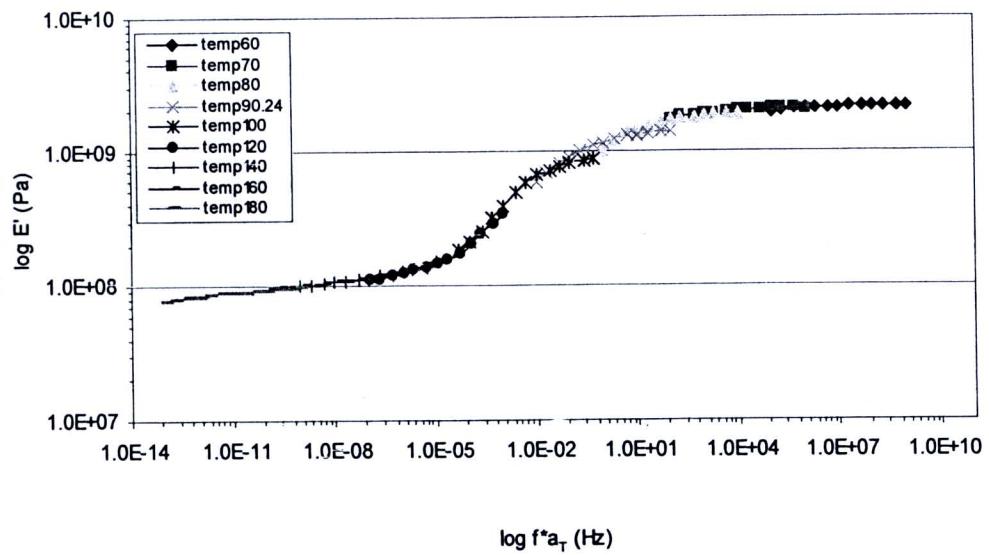
รูปที่ 3.47 Master curve for sPS2/PHMA blend as frequency function

with $T_r 79.22^\circ\text{C}$



รูปที่ 3.48 Master curve for sPS1/PaMSblend as frequency function

with $T_r 90.24^\circ\text{C}$

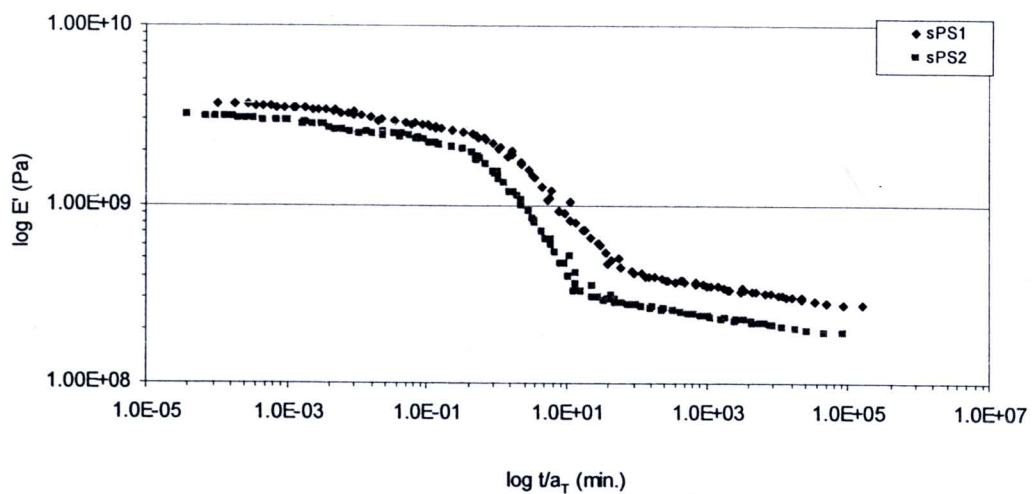


รูปที่ 3.49 Master curve for sPS2/PaMSblend as frequency function

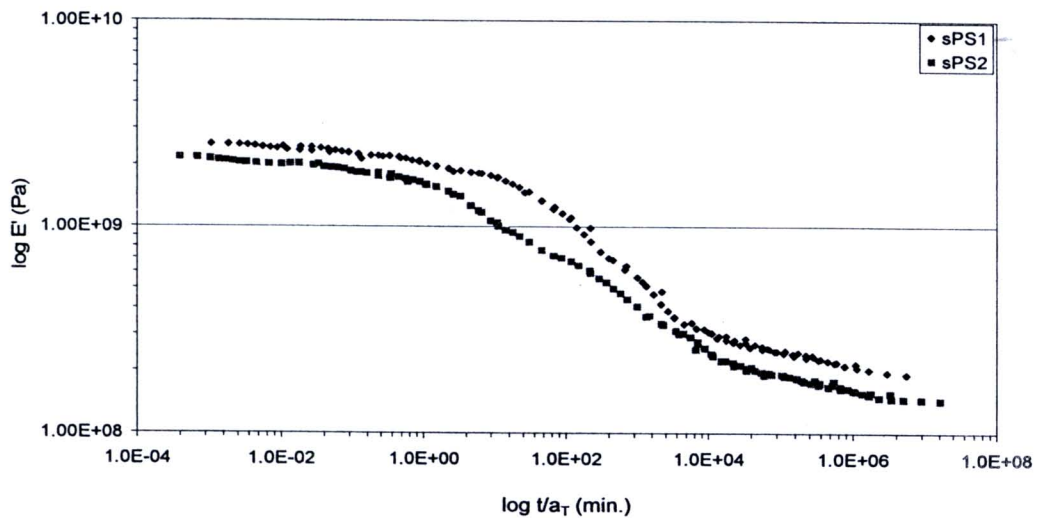
with $T_r 90.24^\circ\text{C}$

3.7 ผลกระทบอันเนื่องมาจากการคัดกรองหลัก (sPS)

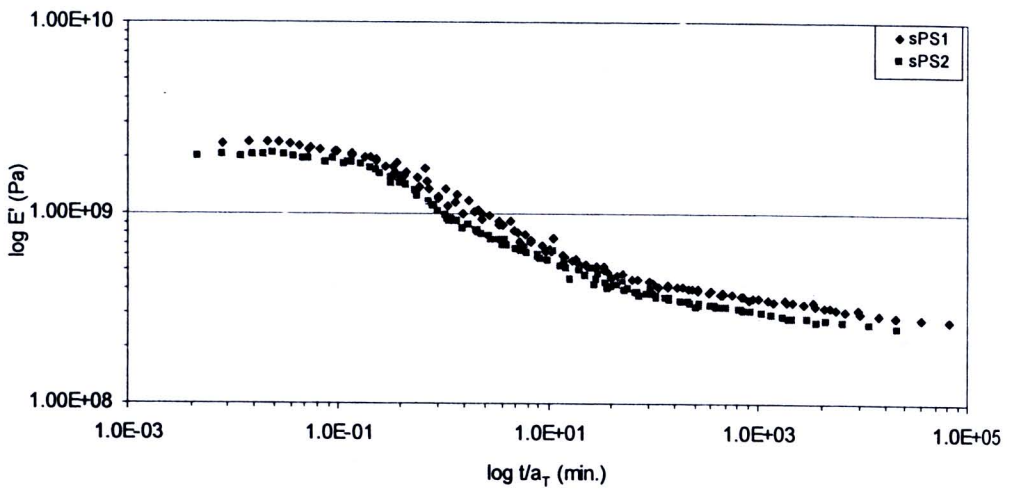
เนื่องจากพอลิเมอร์หลักที่ใช้ในการทดสอบคือ sPS โดยทุกพอลิเมอร์ทดสอบจะมีอัตราส่วนของ sPS ออยที่ 80% และมีพอลิเมอร์อื่นออยที่ 20% และ sPS ที่ใช้ทดสอบจะมีค่ามวลโมเลกุลที่แตกต่างกัน (sPS1, sPS2) ซึ่งกราฟการรับแรงหลักจะสามารถบอกถึงความแตกต่างของน้ำหนักโมเลกุลได้เป็นอย่างดี โดยปกติแล้วถ้าพอลิเมอร์มีมวลโมเลกุลสูงขึ้น ความสามารถในการรับแรงจะดีขึ้น และยกยิ่งขึ้นที่จะแยกพอลิเมอร์นั้นออกเป็นสองส่วนหรือขาดออกจากกันเนื่องจากแรงดึงดูดระหว่างโมเลกุลของพอลิเมอร์ที่มีมวลโมเลกุลสูงกว่าจะมีมากกว่าและการเกี้ยวพันกัน (Entanglement) ของพอลิเมอร์ ที่มีมวลโมเลกุลสูงกว่าก็จะมีมากกว่า ทำให้ยกยิ่งขึ้นที่จะแยกพอลิเมอร์ออกจากกัน กราฟการรับแรงรวมของพอลิเมอร์ทดสอบที่ใช้ในการทดลองนี้สามารถแสดงถึงการที่ E' ของ sPS1 จะมากกว่า sPS2 โดยตลอดทั้งในพอลิเมอร์บิสุทธิ์และในระบบของพอลิเมอร์ทดสอบ ซึ่งสมบดีในกระบวนการที่ตีกันว่ามีจากการที่ sPS1 มีมวลโมเลกุลสูงกว่า sPS2 กราฟต่างๆจะสามารถแสดงได้ดังนี้



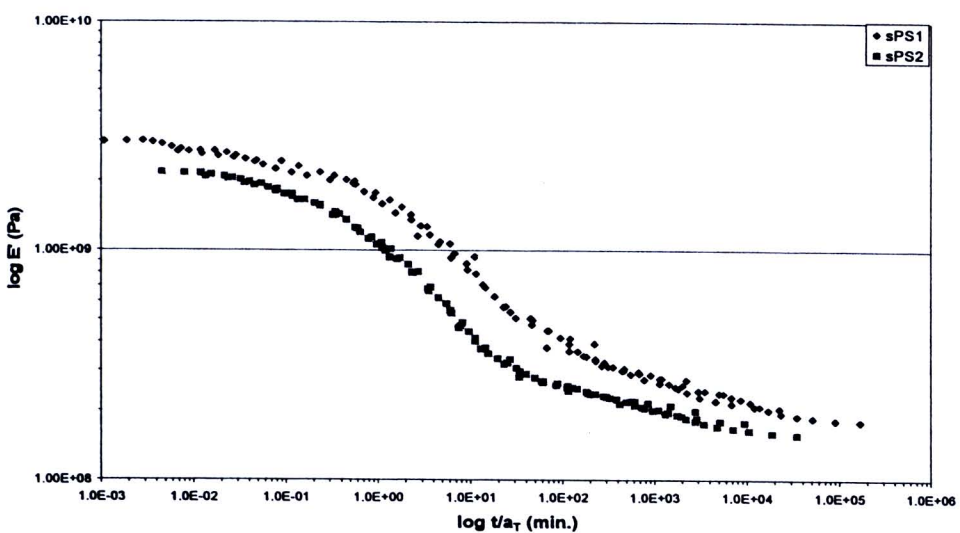
รูปที่ 3.50 Master curve for sPS1 and sPS2



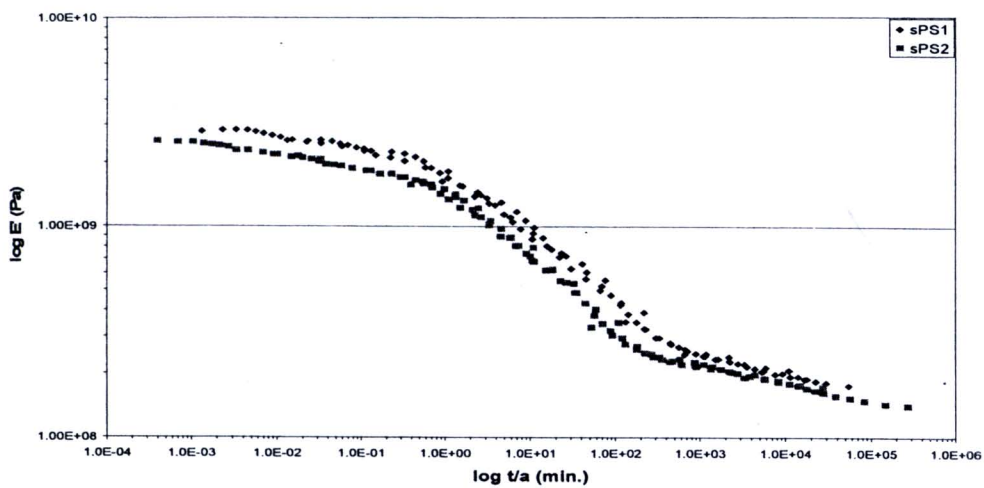
รูปที่ 3.51 Master curve for sPS1 and sPS2 blended with PIP



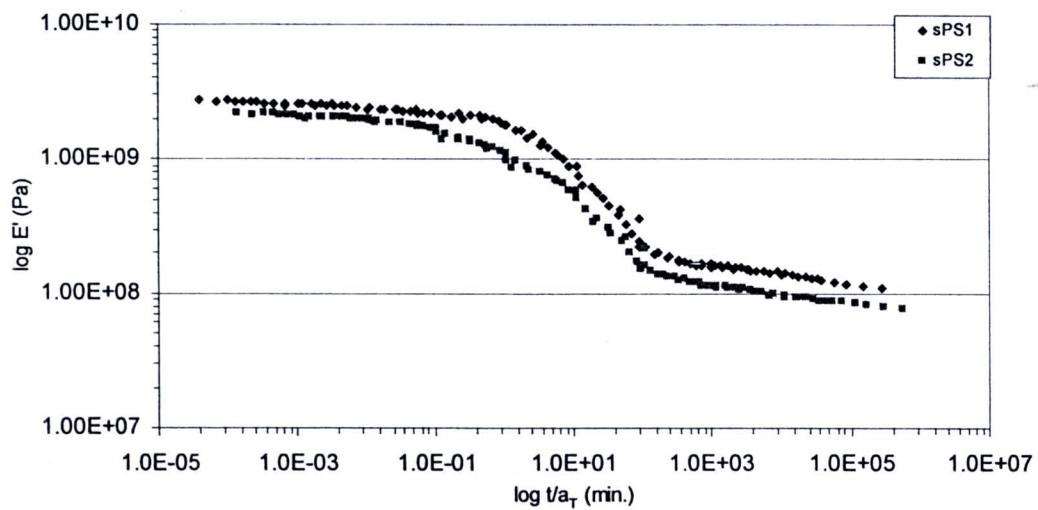
รูปที่ 3.52 Master curve for sPS1 and sPS2 blended with PBMA



รูปที่ 3.53 Master curve for sPS1 and sPS2 blended with PEMA



รูปที่ 3.54 Master curve for sPS1 and sPS2 blended with PHMA



รูปที่ 3.55 Master curve for sPS1 and sPS2 blended with PaMS

3.8 ค่าคงที่ของ Williams Landel and Ferry (WLF)

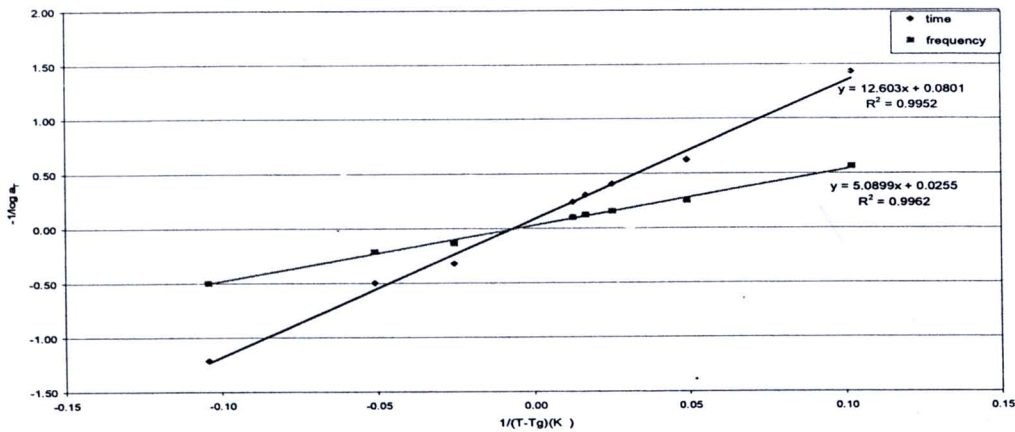
สมการของ WLF แสดงถึงความสัมพันธ์ระหว่าง T_g และค่าตัวเลื่อนกราฟการรับแรงร่วม a_T โดยจะสามารถแสดงได้ดังสมการ

$$\log a_T = \frac{C_1(T - T_g)}{C_2 + T - T_g} \quad (3.1)$$

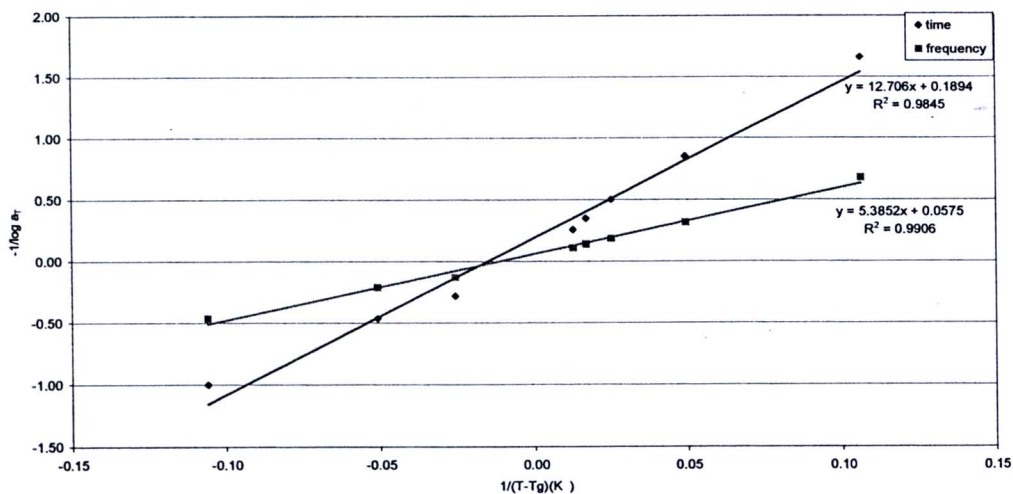
ซึ่งค่า C_1 และ C_2 จะเป็นค่าคงที่ของ WLF เนื่องจากในการทดลองนี้ค่า T_g และ ค่า a_T จะสามารถหาได้จากการทดลองจริง ค่า C_1 และ C_2 จะสามารถกำหนดได้โดยการแทนค่าส่วนกลับของสมการ WLF ได้ดังต่อไปนี้

$$\frac{-1}{\log a_T} = \frac{C_2}{C_1} \frac{1}{(T - T_g)} + \frac{1}{C_1} \quad (3.2)$$

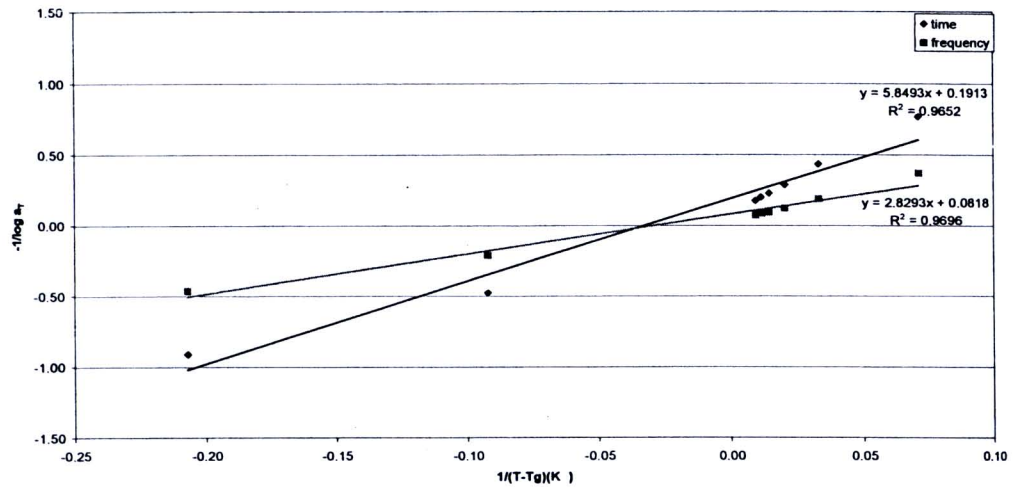
ซึ่งถ้าสมการของ WLF สามารถใช้ได้กับผลการทดลองนี้ ค่าส่วนกลับนี้จะเป็นสมการเส้นตรงซึ่งจะสามารถหาค่า C_1 และ C_2 ได้จากค่าความชัน และจุดตัดแกนของกราฟดังกล่าว
ในการทดลองนี้พบว่าสมการ WLF สามารถประยุกติใช้ได้กับข้อมูลดังกล่าวโดยจะสามารถเขียนสมการเส้นตรงได้ดังแสดง



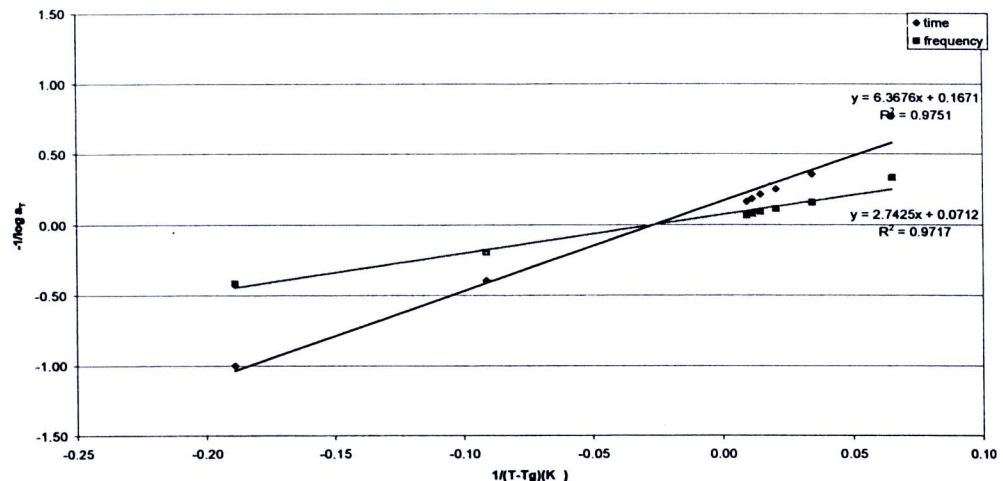
รูปที่ 3.56 Relationship between $-1/\log a_T$ versus $1/(T-T_g)$ for sPS1



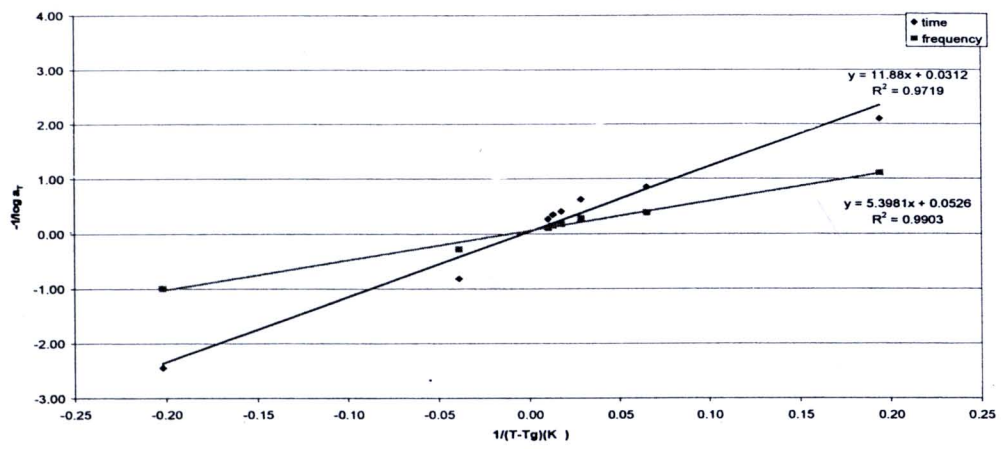
รูปที่ 3.57 Relationship between $-1/\log a_T$ versus $1/(T-T_g)$ for sPS2



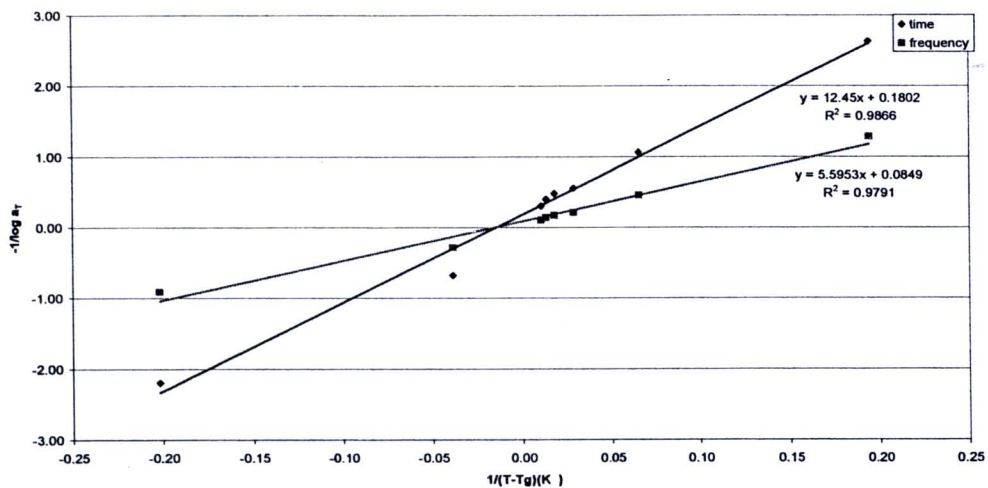
รูปที่ 3.58 Relationship between $-1/\log a_T$ versus $1/(T-T_g)$ for sPS1/PIP



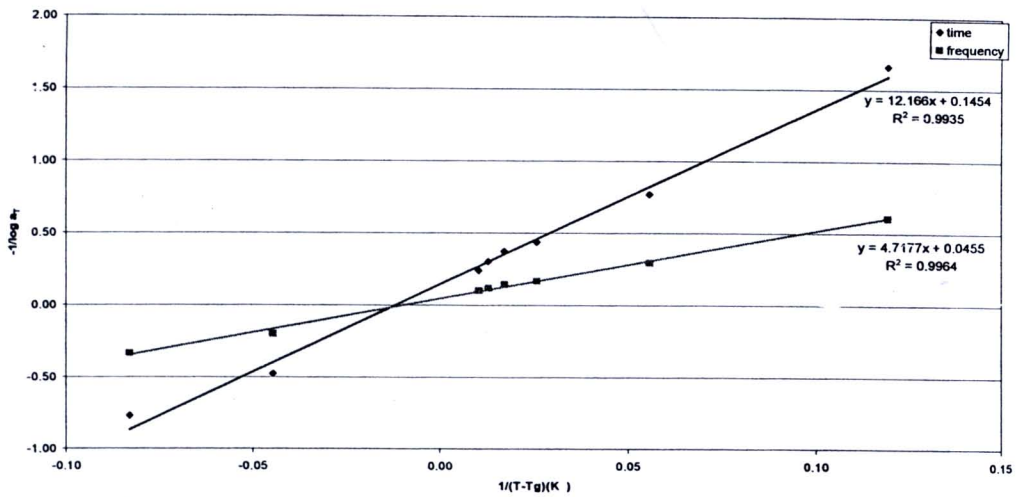
รูปที่ 3.59 Relationship between $-1/\log a_T$ versus $1/(T-T_g)$ for sPS2/PIP



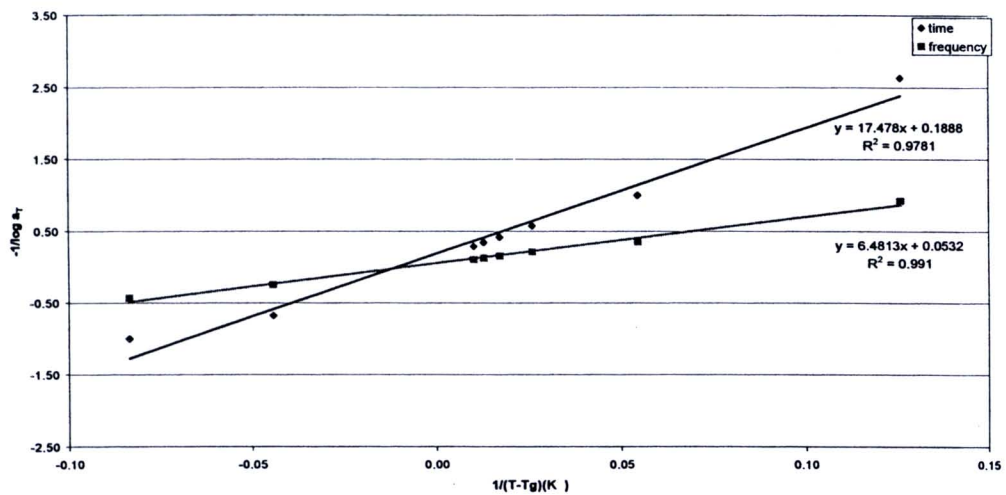
รูปที่ 3.60 Relationship between $-1/\log a_T$ versus $1/(T-T_g)$ for sPS1/PBMA



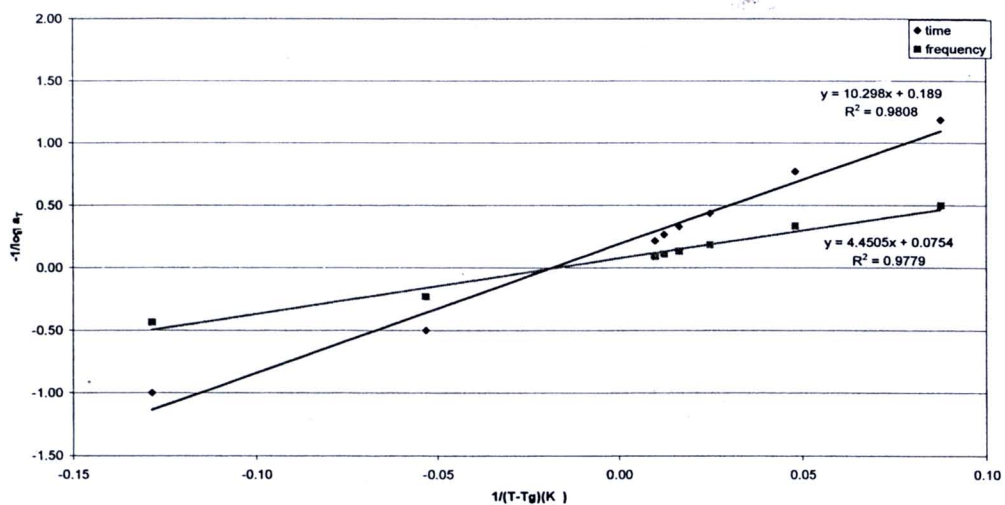
รูปที่ 3.61 Relationship between $-1/\log a_T$ versus $1/(T-T_g)$ for sPS2/PBMA



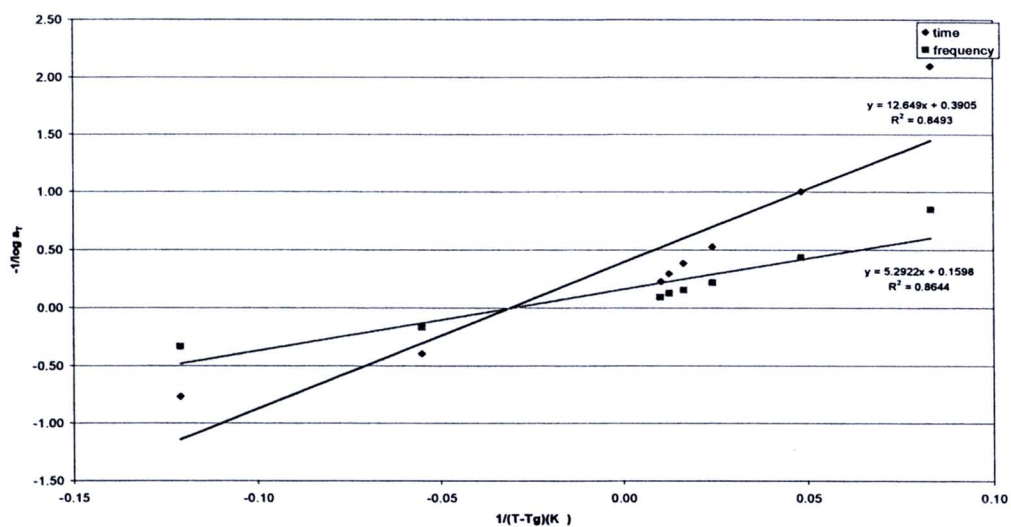
รูปที่ 3.62 Relationship between $-1/\log a_T$ versus $1/(T-T_g)$ for sPS1/PEMA



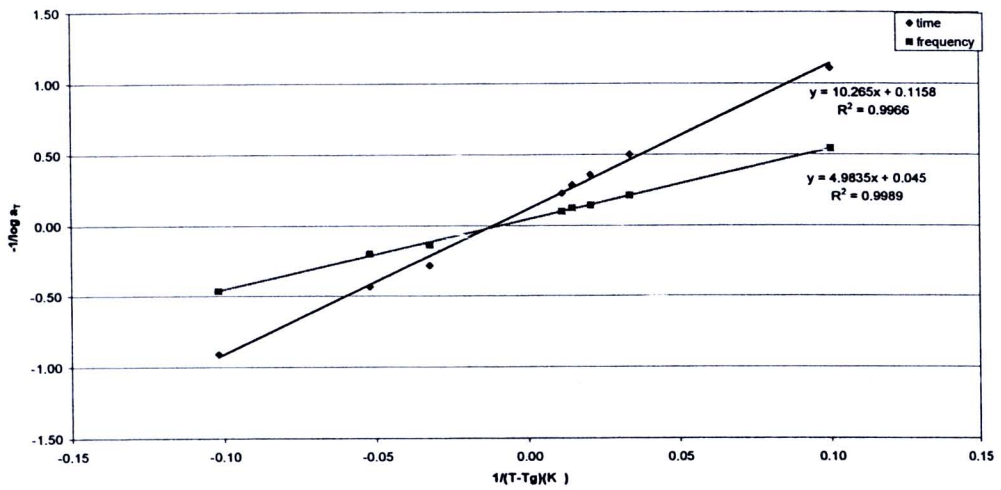
รูปที่ 3.63 Relationship between $-1/\log a_T$ versus $1/(T-T_g)$ for sPS2/PEMA



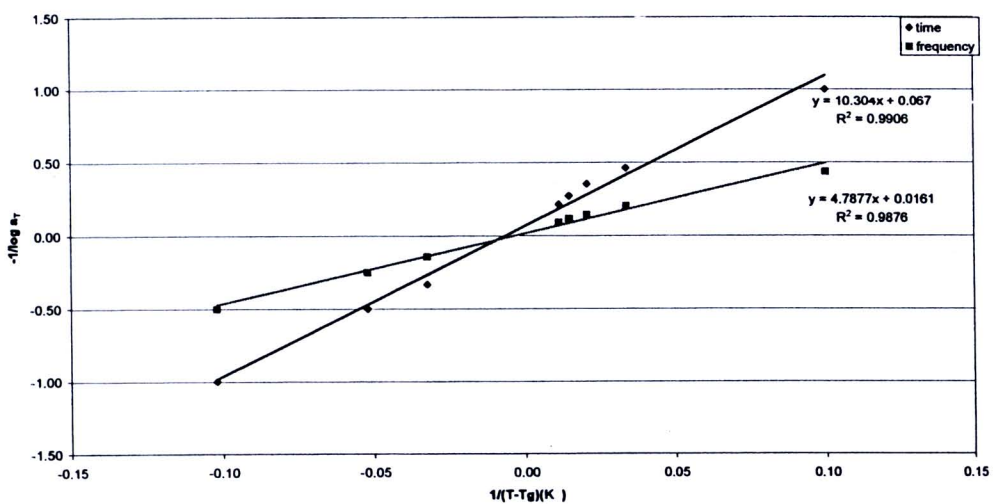
รูปที่ 3.64 Relationship between $-1/\log a_T$ versus $1/(T-T_g)$ for sPS1/PHMA



รูปที่ 3.65 Relationship between $-1/\log a_T$ versus $1/(T-T_g)$ for sPS2/PHMA



รูปที่ 3.66 Relationship between $-1/\log a_T$ versus $1/(T-T_g)$ for sPS1/PaMS



รูปที่ 3.67 Relationship between $-1/\log a_T$ versus $1/(T-T_g)$ for sPS2/PaMS

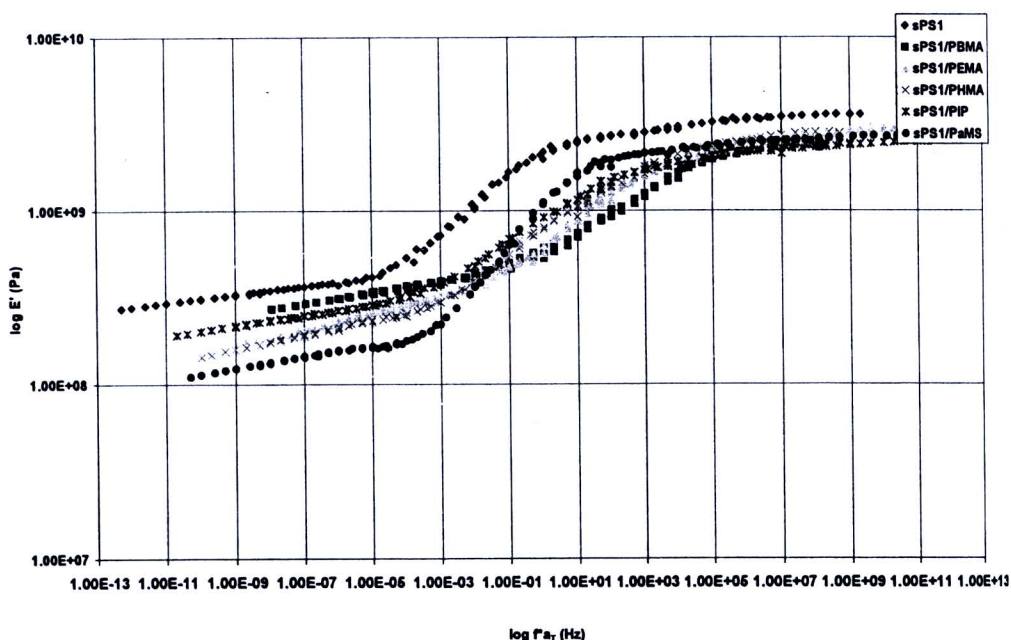
ค่า C_1 และ C_2 ที่สามารถหาได้จากเส้นตรงดังกล่าวจะสามารถสูปีได้ดังตารางด้านล่าง

ตารางที่ 3.5 C_1 and C_2 for pure sPS and all blend systems

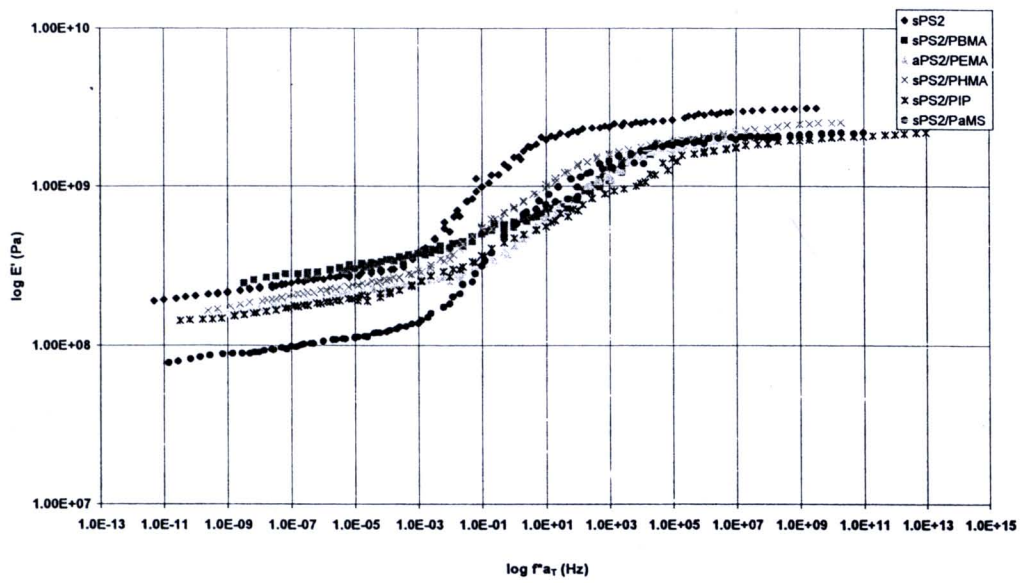
System	Time dependence		Frequency dependence	
	C_1	C_2	C_1	C_2
sPS1	12.48	157.34	39.22	199.60
sPS1/PIP	5.23	30.58	12.22	34.59
sPS1/PBMA	32.05	380.77	19.01	102.63
sPS1/PEMA	6.88	83.67	21.98	103.69
sPS1/PHMA	5.29	54.49	13.26	59.03
sPS1/PaMS	8.64	88.64	22.22	110.74
sPS2	5.28	67.09	10.39	93.66
sPS2/PIP	5.98	38.11	14.04	36.16
sPS2/PBMA	5.55	69.09	11.78	65.90
sPS2/PEMA	5.30	92.57	18.80	121.83
sPS2/PHMA	2.56	32.39	6.26	33.12
sPS2/PaMS	14.93	153.79	62.11	297.37

3.9 ผลกระทบอันเนื่องมาจากการผสมพอลิเมอร์

พอลิเมอร์ผสมจะทำให้อุณหภูมิคล้ายแก้ว (T_g) ของระบบมีค่าลดลง อันจะทำให้สามารถรับแรงในช่วงอุณหภูมิที่กว้างขึ้น แต่อย่างไรก็ตามการเพิ่มอุณหภูมิใช้งานของ sPS จะทำให้สมบัติทางกลมีค่าด้อยลงบ้างอันเป็นผลกระทบต่อเนื่องของการลดค่า T_g แต่อย่างไรก็ตามปริมาณเม็ด sPS ในพอลิเมอร์ผสมจะมีปริมาณน้อยลงซึ่งเป็นการประหยัดต้นทุนในการนำพอลิเมอร์ผสมไปใช้กีฬาหนึ่งด้วย ในการทดลองในตอนนี้สามารถสรุประบบที่สามารถผสมเป็นเนื้อเดียวกันกับ sPS ได้ทั้งหมดห้าระบบคือ sPS/PIP, sPS/PBMA, sPS/PEMA, sPS/PHMA และ sPS/PaMS ซึ่งเมื่อให้อุณหภูมิเบรย์เทียบเป็น 100.25°C แล้วจะสามารถเขียนกราฟการรับแรงรวมที่เป็นพังชั่นของความถี่ได้ดังนี้



รูปที่ 3.68 E' master curve for all sPS1 blend systems



รูปที่ 3.69 E' master curve for all sPS2 blend systems

จากราฟดังกล่าวจะเห็นได้ว่าค่าความคงด้า (Storage Modulus, E') ของระบบพอลิเมอร์ผสมจะมีค่าลดลงโดยตลอดที่น้อยกว่าค่า E' ของ sPS บริสุทธิ์อันเป็นผลมาจากการลดปริมาณ sPS ในพอลิเมอร์ผสมลง และจะสามารถแบ่งกราฟดังกล่าวได้เป็นสามช่วงโดยการพิจารณาความถี่ ช่วงทั้งสามในการแบ่งพิจารณาค่าความถี่คือ ช่วงที่น้อยกว่า 1×10^{-3} , ช่วง $1 \times 10^{-3} - 1 \times 10^5$ และช่วงที่มากกว่า 1×10^5

เมื่อพิจารณาระบบที่ sPS1 นอกจากค่า E' จะลดลงในทุกช่วงแล้ว ช่วงที่มีความถี่สูง (มากกว่า 1×10^5) จะสามารถเทียบได้กับการรับแรงกระแทก เนื่องจากพลังงานที่ให้ในเวลาที่สั้นมาก (เวลาเป็นส่วนกลับของความถี่) ค่าการลดลงของ E' เป็นในทำนองเดียวกันในทุกรอบ คือจะมีค่าน้อยลงจนเท่ากับค่าของพอลิเมอร์ผสม sPS/PaMS และในช่วงที่ความถี่ต่ำ (น้อยกว่า 1×10^{-3}) เป็นการรับแรงที่ให้เวลารับแรงเป็นเวลานาน (เวลาคือส่วนกลับของความถี่) จะเห็นได้ว่าพอลิเมอร์ผสมมีการลดลงของ E' ที่ไม่เท่ากัน โดยจะสามารถเรียงลำดับได้จาก PBMA>PIP>PEMA>PHMA>PaMS ซึ่งการลดลงนี้มีการลดลงน้อยแสดงถึงการรับแรงที่ให้เวลานานได้ดีกว่า ช่วงกลางของความถี่ ($1 \times 10^{-3} - 1 \times 10^5$) กราฟจะมีการเปลี่ยนที่แตกต่างกันออกไปเมื่อความถี่ลากผ่านค่า Tg ของแต่ละพอลิเมอร์ผสมที่มีค่าไม่เท่ากัน อย่างไรก็ได้การเปรียบเทียบนี้ทำที่อุณหภูมิ 100.25°C ซึ่งอุณหภูมินี้ในการใช้งานที่อุณหภูมิห้องก็จะมีค่า E' ที่แตกต่างไปจากนี้ ซึ่งในระบบของ sPS2 ก็จะสามารถสรุปได้ในทำนองเดียวกัน

อย่างไรก็ตามกราฟที่แสดงเป็นกราฟ log เพื่อเปรียบเทียบช่วงความถี่ที่ใกล้เคียงกัน จึงเป็นที่น่าสนใจที่จะสรุปค่าความแตกต่างของ E' ณ ช่วงต่างๆได้ดังนี้

$$\Delta E'_{\text{avg}} = E'_{\text{sPS}} - E'_{\text{blended polymer}} \quad (3.3)$$

ตารางที่ 3.6 Average storage modulus difference of all blend systems for sPS1

Range (Hz)	$\Delta E'_{\text{avg}}$ of sPS1 blend system				
	PIP	PBMA	PEMA	PHMA	PaMS
Over 1×10^5	1.23E+09	1.18E+09	9.68E+08	7.88E+08	8.76E+08
Under 1×10^{-3}	1.70E+08	1.35E+08	2.13E+08	2.36E+08	2.92E+08

ตารางที่ 3.7 Average storage modulus difference of all blend systems for sPS2

Range (Hz)	$\Delta E'_{\text{avg}}$ of sPS2 blend system (Pa)				
	PIP	PBMA	PEMA	PHMA	PaMS
Over 1×10^5	1.16E+09	8.81E+08	1.97E+09	7.59E+08	9.17E+08
Under 1×10^{-3}	8.51E+07	-2.74E+07	7.61E+07	6.89E+07	1.74E+08

จากตารางดังกล่าว จะเห็นได้ว่าการลดลงของ E' ในช่วงความถี่สูงจะลดลงมากกว่าในช่วงความถี่ต่ำ ซึ่งจะสรุปได้ว่าการลดลงของ E' มีผลมากกว่าในการรับแรงกระแทกและ พอลิเมอร์ที่มีค่าสมบัติลดลงน้อยที่สุดคือ PBMA ซึ่งน่าจะเป็นทางออกในการเลือกพอลิเมอร์ผสมเพื่อการใช้งานทดสอบพอลิเมอร์ sPS บริสุทธิ์ในทางหนึ่งด้วย

สรุปผลการทดลองตอนที่หนึ่ง

1. อัตราส่วนผลได้ (yield) ของปฏิกิริยาการสังเคราะห์ชินดิโอเทคติกพอลิสไดรีนมีค่ามากขึ้น เมื่อเพิ่มอุณหภูมิของปฏิกิริยาขึ้น
2. ความกว้างไวของตัวเร่งปฏิกิริยา (Catalyst Activity) มีค่าเพิ่มขึ้นเมื่อเพิ่มอุณหภูมิของการทำปฏิกิริยา แต่จะมีค่าลดลงเมื่อเวลาในการทำปฏิกิริยา มีค่ามากขึ้น
3. การเพิ่มอุณหภูมิในการทำปฏิกิริยาจะทำให้ความเป็นชินดิโอเทคติกมีค่าสูงขึ้น
4. อุณหภูมิคล้ายแก้ว (Tg) และอุณหภูมิหลอมเหลวพลีก (Tm) จะมีค่าสูงขึ้นเมื่อเพิ่มมวลไมเลกูลของชินดิโอเทคติกพอลิสไดรีนบริสุทธิ์ขึ้น
5. ในพอลิเมอร์ผสมทุกตัว(PBMA, PEMA, PCHA, Poly(α -methyl-Styrene), Polyisoprene) ยกเว้น PVME จะสามารถเข้าเป็นเนื้อเดียวกันได้กับชินดิโอเทคติกพอลิสไดรีนและ มีค่าอุณหภูมิคล้ายแก้วเพียงค่าเดียวซึ่งอยู่ระหว่างอุณหภูมิคล้ายแก้วของสารบริสุทธิ์ทั้งสอง และ มีค่าเพิ่มขึ้นเมื่อเพิ่มอัตราส่วนของ ชินดิโอเทคติกพอลิสไดรีนในพอลิเมอร์ผสมขึ้น
6. ส่วน PVME จะแสดงถึงความเข้ากันได้เป็นบางส่วน (partial miscibility) ซึ่งจะตรวจวัด อุณหภูมิคล้ายแก้วได้สองค่าและมีค่าอยู่ระหว่างอุณหภูมิคล้ายแก้วของพอลิเมอร์บริสุทธิ์ทั้งสอง ซึ่งแสดงถึงการแยกเฟสในพอลิเมอร์ผสม
7. อุณหภูมิหลอมเหลวพลีก (Tm) ของพอลิเมอร์ผสมจะมีค่าต่ำกว่าอุณหภูมิหลอมเหลวพลีก ของชินดิโอเทคติกพอลิสไดรีนบริสุทธิ์ และจะมีค่าลดลงเรื่อยๆ เมื่อเพิ่มปริมาณพอลิเมอร์ที่มาผล มากยิ่งขึ้น
8. ความเป็นผลลัพธ์ของชินดิโอเทคติกพอลิสไดรีนจะมีค่าลดลงเมื่อเพิ่มปริมาณของพอลิเมอร์ ที่มาผสม และสอดคล้องกับค่า Tm ซึ่งแสดงถึงคุณภาพของผลลัพธ์เมื่อมีค่าลดลงเรื่อยๆ ตามปริมาณ ของพอลิเมอร์ที่มาผสมในทุกพอลิเมอร์ผสมที่เข้าเป็นเนื้อเดียวกันได้กับชินดิโอเทคติกพอลิสไดรีน
9. เปอร์เซ็นต์ความเป็นผลลัพธ์ (Percent Crystallinity) ของชินดิโอเทคติกพอลิสไดรีนมีค่า ลดลงเมื่อเพิ่มปริมาณพอลิเมอร์ที่มาผสมเป็นเนื้อเดียวกัน โดยเฉพาะอย่างยิ่งใน rPS1 ซึ่ง สอดคล้องกับการลดลงของอุณหภูมิคล้ายแก้วของพอลิเมอร์ผสมเมื่อเพิ่มปริมาณของพอลิเมอร์ ที่มาผสม ยกเว้นในกรณีของพอลิเมอร์ผสมของ Poly(α -methyl-Styrene)
10. การคำนวณเปอร์เซ็นต์โดยน้ำหนักของส่วนที่เป็นอัญญาณในพอลิเมอร์ผสมจากสมการ ของ Flory-Fox มีค่าสอดคล้องกับการคำนวณเปอร์เซ็นต์ส่วนที่เป็นอัญญาณของชินดิโอเทคติกพอ ลิสไดรีนที่คำนวณมาจากเปอร์เซ็นต์ความเป็นผลลัพธ์ที่ตรวจวัดโดย XRD
11. ค่าอุณหภูมิคล้ายแก้วและปริมาณความเป็นผลลัพธ์ของ rPS2 และ rPS3 มีค่าใกล้เคียงกัน โดยจะแตกต่างกันไม่เกิน 5% ทั้งนี้เนื่องจากพอลิเมอร์ทั้งสองมีมวลไมเลกูลใกล้เคียงกัน

สรุปผลการทดลองตอนที่สอง

1. จากผลการทดลองโดย DSC พบว่า sPS สามารถเข้าเป็นเนื้อเดียวกันได้กับ poly(α -methyl styrene), poly(ethyl methacrylate), poly(*n*-butyl methacrylate), poly(cyclohexyl acrylate), poly(*cis*-isoprene) และจะแยกเฟสเมื่อผสมกับ poly(vinyl methyl ether) ทั้งนี้เป็นการเตรียมตัวอย่างโดยวิธีหลอมละลายผสมกัน
2. การเติม LCC หรือ GMS ไม่มีผลทำให้ค่า T_g ของพอลิเมอร์ผสมมีค่าเปลี่ยนแปลงไป เมื่อเทียบกับพอลิเมอร์ผสมที่ไม่ได้ใส่สารเติมแต่ง ทั้งนี้เป็นการตรวจสอบค่า T_g โดยใช้วิธีเตรียมตัวอย่างโดยการหลอมละลายผสมกัน
3. การเติม LCC หรือ GMS มีผลทำให้ค่า T_m ของพอลิเมอร์ผสมลดลงเล็กน้อยจากพอลิเมอร์ผสมที่ไม่ได้เติมสารเติมแต่ง การหลอมละลายที่เกิดเร็วขึ้นนี้ จะสามารถพิจารณาได้จากการลดความหนืดหลอมละลายของพอลิเมอร์ผสมโดยสารเติมแต่ง ไม่เลกุลของ sPS จะเคลื่อนที่ได้เร็วขึ้นในสภาวะที่เป็นสัญญาณที่หลอมละลายซึ่งจะสามารถลด Gibbs' Free Energy ของระบบลงได้อีกอย่างเร็วขึ้น จึงเป็นที่สังเกตได้ว่าการใส่สารเติมแต่งลงในพอลิเมอร์ผสมจะทำให้ระบบมีค่าอุณหภูมิหลอมเหลวผลลัพธ์ที่ต่ำลงเป็นพิเศษเพิ่มเติมจากการลดค่า T_m โดยเป็นผลมาจากการพอลิเมอร์อสัณฐานที่เติมเข้าไป
4. การเติม LCC หรือ GMS มีผลทำให้ค่า T_c ของพอลิเมอร์ผสมลดลงเล็กน้อยจากพอลิเมอร์ผสมที่ไม่ได้เติมสารเติมแต่ง ทั้งนี้โดยปกติแล้วพอลิเมอร์ที่สามารถหลอมละลายเป็นเนื้อเดียวกันได้จะมีแนวโน้มที่จะคงสภาพการผสมเพราะการผสมจะทำให้ Gibbs Free Energy มีค่าต่ำที่สุด การลดความหนืดของการหลอมละลายโดย LCC หรือ GMS จะทำให้พอลิเมอร์ผสมนี้แยกออกจากกันได้ยากยิ่งขึ้น ซึ่งเป็นเหตุให้อุณหภูมิก่อตัวของผลลัพธ์มีค่าลดลงเพราะไม่เลกุลของ sPS จะต้องแพร่ออกจากการผสมไปจัดเรียงตัวเป็นผลลัพธ์ อันจะทำให้ต้านต่อการผสมตัวในสภาพอสัณฐานของพอลิเมอร์ที่หลอมละลาย อุณหภูมิการก่อตัวของผลลัพธ์ในระบบพอลิเมอร์ผสมดังกล่าวจะมีค่าลดลงไปอีกเพิ่มเติมจากการกีดขวางกันของไมเลกุลธรรมชาติ
5. วิธีการผสมพอลิเมอร์มีผลต่อคุณสมบัติของพอลิเมอร์ที่ได้ การผสมโดยการละลายในตัวทำละลายเดียวกันจะให้พอลิเมอร์ผสมที่เป็นเนื้อเดียวกันมากกว่าวิธีการผสมแบบหลอมละลาย เมื่อตัวอย่างมีปริมาณที่น้อย และพอลิเมอร์ที่ผสมด้วยวิธีการหลอมละลายจะให้ค่า T_g ที่สูงกว่าพอลิเมอร์ที่ผสมโดยตัวทำละลายเดียวกัน เมื่อมีปริมาณความเข้มข้นของ sPS ในสารเริ่มน้ำมากัน

6. จากผลการทดลองด้วย XRD สามารถสรุปได้ว่า เปอร์เซ็นต์การเป็นผลึกจะลดลงเมื่อลดปริมาณ SPS ในตัวอย่างลง ทั้งนี้เกิดเนื่องจากในโครงสร้างอสัญฐานต้องการปริมาณ SPS เพื่อมาผสมมีปริมาณมากขึ้นเมื่อลดปริมาณ SPS ลง และการใส่ LCC หรือ GMS มีแนวโน้มที่จะทำให้ปริมาณผลึกมีค่าลดลงเพิ่มเติมจากการลดลงดังที่ได้กล่าวมาของพอลิเมอร์ผสมดังกล่าวเพื่อวิเคราะห์ทั้งนี้อาจเนื่องมาจากความเสถียรยิ่งขึ้นในสภาพอสัญฐานเมื่อผสม LCC หรือ GMS ทำให้ง่ายยิ่งขึ้นที่จะหลอมละลายผลึก SPS ในพอลิเมอร์ผสม และทำให้เนื้อที่เป็นอสัญฐานต้องการปริมาณ SPS เพิ่มเติมเป็นพิเศษ

สรุปผลการทดลองตอนที่สาม

1. จากผลการทดลองโดย DSC ยืนยันการเข้าเป็นเนื้อเดียวกันได้ของพอลิเมอร์ผสมระหว่าง sPS และ poly(α -methyl styrene), poly(ethyl methacrylate), poly(*n*-butyl methacrylate), poly(cyclohexyl methacrylate) และ poly(cis-isoprene) โดยที่พอลิเมอร์ผสมดังกล่าวมี T_g เพียงค่าเดียวและ T_g อยู่ต่ำกว่าค่า T_g ของ sPS บริสุทธิ์
2. จากผลการทดลองโดย TGA พบร่วมกับความร้อนที่อุณหภูมิต่ำที่สุด และ Poly(α -methyl styrene) มีการสูญเสียน้ำหนักปริมาณ 5% และ 10% เมื่อพบร่วมกับความร้อนที่อุณหภูมิสูงที่สุด และ Poly(cyclohexyl methacrylate) มีการสูญเสียน้ำหนักปริมาณ 5% ที่อุณหภูมิสูงที่สุด และ poly(cis-isoprene) มีการสูญเสียน้ำหนักปริมาณ 10% ที่อุณหภูมิสูงที่สุด
3. ค่า E' (storage modulus) ของทุกพอลิเมอร์ผสมและของ sPS จะมีค่าลดลงเมื่อเพิ่มอุณหภูมิหรือเวลาในการรับแรง ทั้งนี้เนื่องจากไม่เกิดข้อผิดพลาดของพอลิเมอร์สามารถยับตัวได้ง่ายขึ้นเมื่อมี Mobility สูงขึ้นเมื่ออุณหภูมิสูงขึ้นและเวลาในการรับแรงนานขึ้น สามารถเลื่อนหลุดออกจากกันได้เร็วขึ้น
4. ค่า E' (storage modulus) ของทุกพอลิเมอร์ผสมและของ sPS จะมีค่าเพิ่มขึ้นเมื่อเพิ่มความถี่ในการรับแรง ทั้งนี้เนื่องจากเมื่อให้แรงที่ความถี่สูงพอลิเมอร์จะไม่มีเวลาพอที่จะขยายออกจากกัน ดังนั้นจึงสามารถรับแรงได้สูงกว่าเมื่อให้แรงที่ความถี่ต่ำ
5. สามารถสร้างกราฟการรับแรงรวม (storage modulus master curves) ได้โดยอาศัยหลักการของการซ้อนทับของอุณหภูมิและเวลา (Time-Temperature Superposition (TTS) principle) ซึ่งสร้างขึ้นเพื่อประมาณการรับแรงที่อุณหภูมิอ้างอิงที่ความถี่หรือเวลาในการรับแรงต่างๆ ในช่วงที่กว้างกว่าการทดลองจริง ทั้งนี้โดยการประมาณให้ค่าการรับแรงที่อุณหภูมิสูงขึ้นแทนค่าความถี่ที่ลดลง และการประมาณให้ค่าการรับแรงที่อุณหภูมิต่ำลงแทนค่าความถี่ที่มากขึ้นกว่าที่ทำการทดลอง ดังนั้นจะสามารถเขียน E' ที่ความถี่ต่างๆ ได้ในช่วงที่กว้างขึ้นกว่าการทดลองจริง
6. เมื่อพิจารณาลักษณะการรับแรงโดยกราฟการรับแรงรวม จะพบว่า sPS ที่ต่างมวลไม่เกิดประพฤติตัวในทำนองเดียวกัน โดยที่ sPS1 ที่มีมวลไม่เกิดที่สูงกว่าจะมีค่า E' ที่มากกว่าโดยตลอด และยังคงคุณสมบัตินี้ไว้แม้ว่าจะเป็นพอลิเมอร์ผสม เนื่องจากแรงดึงดูดระหว่างไม่เกิดมีค่ามากกว่าและทำให้พอลิเมอร์สามารถยับตัวได้มากกว่าพอลิเมอร์ที่มีมวลไม่เกิดที่ต่ำกว่า
7. William Landel Ferry (WLF) สามารถใช้ได้กับข้อมูลที่ทดลองมา โดยสามารถแสดงความสัมพันธ์ที่เป็นเส้นตรงระหว่าง $1/\log a_T$ และ $1/(T-T_g)$ ซึ่งจะสามารถหาค่าคงที่ของ WLF ได้จากกราฟดังกล่าว

8. พอลิเมอร์พสมจะมีค่า E' ที่ต่ำลงมากกว่า sPS บริสุทธิ์ โดย PBMA จะมีการลดลงของ E' น้อยที่สุดซึ่งจะหมายความในการทำพอลิเมอร์พสมของ sPS มากที่สุด